

# El Operador $\Omega_{\text{PCF}}$ y La Estructura Primitiva del Plano Complejo:

De Mersenne a Riemann mediante acoplamiento geométrico  $\varphi$ - $i$ - $S_3$

Jorge Armando González García<sup>1</sup>✉, Víctor Manuel González García<sup>①</sup>, Itzel Marion Dressler Pérez<sup>2</sup>, Luz María García Ordóñez<sup>1</sup>, Mario Moreno<sup>2</sup>

<sup>1</sup>TTAMAYO PUNTO COM, S.A.P.I. de C.V., Mexico; <sup>2</sup>Independent Researcher

✉ For correspondence:

<https://github.com/omega-pcf/01-primitive-complex-field/issues>  
(JAGG)

DOI: [10.5281/zenodo.17619486](https://doi.org/10.5281/zenodo.17619486)

**Data availability:** Computational verifications available in supplementary material. Source code at [GitHub repository](#).

**Competing interests:** The author declares no competing interests.

<sup>1</sup> Mediante lattice  $\Lambda_{\text{PCF}}$  y módulo  $M_{\text{PCF}} = \mathbb{C}/\Lambda_{\text{PCF}} \cong T^2$ , a diferencia de extensiones algebraicas clásicas que añaden nuevos elementos y pueden perder propiedades fundamentales (e.g., octoniones  $\mathbb{O}$  pierden asociatividad). Nuestra modularización reorganiza sin añadir, preservando todas las propiedades de  $\mathbb{C}$  mediante acoplamiento geométrico  $\varphi$ - $i$ - $S_3$ .

<sup>2</sup> La matriz  $\hat{\Omega}$  opera en espacio de componentes  $\mathbb{C}^3$  codificando direccionalidad de la estructura tripartita  $(P, C, F)$  mediante simetría  $S_3$  del triángulo equilátero; su no-hermiticidad refleja geometría del sistema, no defecto algebraico.

<sup>3</sup> El kernel se construye mediante términos  $\delta(x - y) + \epsilon(x, y)$  que introducen simetrización, permitiendo que hermiticidad emerja aunque  $\hat{\Omega}$  no sea hermítica. Ver §3.8.3.

<sup>4</sup> El módulo constante  $|\Omega| = 1/2$  actúa como punto fijo funcional que ancla toda la construcción mediante auto-referencia distribuida en estructura tripartita  $P \leftrightarrow C \leftrightarrow F$  que evita ciclos prohibidos  $D_1 \rightarrow D_2 \rightarrow D_1$  identificados por Lawvere y Yanofsky. Esta estrategia evita autorreferencia mediante coherencia multi-dominio con invariantes preservados, formalizada en bootstrap conforme por Guillarmou et al. y en bootstrap modular por Benjamin-Chang. Ver §1.4 y §1.2.

## Resumen

Mediante principios *bootstrap* de coherencia multi-dominio, trascendemos problemas de autorreferencia tipo Lawvere-Yanofsky que han limitado varios intentos previos de construcción del operador Hilbert-Pólya. En lugar de extender  $\mathbb{C}$  mediante álgebra (que enfrenta restricciones del teorema de Frobenius), desarrollamos modularización geométrica que preserva todas las propiedades algebraicas de  $\mathbb{C}$  mientras revela estructura toroidal subyacente<sup>1</sup>. La construcción parte de estructura tripartita  $(P, C, F)$  tipo Eisenstein en  $\mathbb{C}^3$  mediante simetría  $S_3$ , genera lattice rectangular tipo Gauss mediante acoplamiento  $\varphi$ , y produce operador hermítico con espectro real mediante kernel modular sobre el toro. La matriz generadora  $\hat{\Omega}$  en  $\mathbb{C}^3$  es normal pero no hermítica<sup>2</sup>, mientras que la hermiticidad del operador integral en  $L^2(\mathbb{R})$  emerge del mecanismo de construcción mediante kernel simetrizado<sup>3</sup>, no de propiedades algebraicas de  $\hat{\Omega}$ . El acoplamiento  $\varphi$ - $i$ - $S_3$  genera esta hermiticidad emergente con magnitud constante  $|\Omega| = 1/2$ , estableciendo correspondencia entre escalas autosimilares del plano complejo<sup>4</sup>.

El análisis del operador revela dos correspondencias estructurales fundamentales. Primero, isomorfismo logarítmico entre torre áurea continua  $R_\sigma = 3\varphi^\sigma$  y torre Mersenne discreta  $M_p = 2^p - 1$  mediante factor de conversión  $\lambda = \ln(2)/\ln(\varphi) \approx 1.440$ , donde ambas torres son rectas en espacio logarítmico con pendientes relacionadas—correspondencia topológica (preserva estructura exponencial) no métrica, verificada sobre más de 25 millones de órdenes de magnitud desde  $M_2$  hasta  $M_{82589933}$ , mediada por módulo crítico  $|\Omega| = 1/2 = 2^{-1}$  que establece el único puente posible entre escalamiento áureo y binario. Segundo, predicción espectral de ceros de  $\zeta(s)$  mediante fórmula  $\lambda_n = K_\sigma \sqrt{t_n}$  donde  $K_\sigma = M_{\text{PCF}}/\varphi^\sigma$ , con precisión que mejora asintóticamente conforme aumenta altura  $t$  (discrepancias  $< 10^{-14}$  en primeros 100 ceros, verificada hasta  $n \sim 10^{10}$  con altura  $t \sim 8.3 \times 10^{23}$ ). El operador se construye independientemente de  $\zeta(s)$ ; su espectro exhibe correlación estructural con ceros *a posteriori*.

La verificación numérica confirma robustez estructural del operador: discrepancias observadas reflejan límites de precisión computacional (véase 8.1.7), no deficiencia matemática. El operador mantiene integridad incluso al manipular números enteros de magnitud extrema (primos de Mersenne con millones de dígitos), preservando invariantes bajo la acción del acoplamiento  $\varphi$ - $i$ - $S_3$  a través de todas las escalas autosimilares. Esta robustez—donde discreto y continuo coexisten coherentemente en el espectro—demuestra que el operador captura invariantes matemáticos fundamentales de  $\mathbb{C}$ .

**Keywords:** Riemann hypothesis, Hilbert-Pólya conjecture, L-functions, Self-adjoint operators, Random matrix theory, Zeta function zeros, Mersenne primes, Modular spaces.

# 1 Introducción

## 1.1 La Conjetura de Hilbert-Pólya y el Isomorfismo de Montgomery-Dyson-Odlyzko

<sup>5</sup> Pólya, 1926

Las conjeturas atribuidas a Hilbert y Pólya<sup>5</sup> postularon a principios del siglo XX que la Hipótesis de Riemann podría abordarse mediante traducción entre dominios, utilizando los autovalores de un operador hermítico para atacar un problema de teoría de números. Esta conjetura permaneció como especulación teórica hasta que Montgomery identificó que las correlaciones de pares entre ceros consecutivos seguían una distribución específica<sup>6</sup>. Dyson reconoció esta función como idéntica a la del Gaussian Unitary Ensemble (GUE) de matrices hermíticas aleatorias<sup>7</sup>, estableciendo una conexión inesperada entre teoría analítica de números y física estadística. Odlyzko verificó computacionalmente esta correspondencia mediante el cálculo de más de  $10^{13}$  ceros con precisión sin precedentes<sup>8</sup>, mientras que trabajos posteriores extendieron estas verificaciones y exploraron sus implicaciones teóricas<sup>9</sup>.

<sup>6</sup> Montgomery, 1973

<sup>7</sup> Dyson, 1962

<sup>8</sup> Odlyzko, 1987

<sup>9</sup> Odlyzko, 1989

El isomorfismo estadístico establece que las funciones de correlación de pares de ceros sucesivos  $\{t_n\}$  en la línea crítica  $\text{Re}(s) = 1/2$  satisfacen:

$$R_2(s) = 1 - \left[ \frac{\sin(\pi s)}{\pi s} \right]^2$$

idéntica a la distribución de eigenvalores en GUE. Sin embargo, este resultado, aunque proporciona información estadística sobre el conjunto de ceros, no establece correspondencias determinísticas para ceros individuales.

## 1.2 Obstáculos Históricos y Limitaciones Estructurales

Pese a la validación empírica del isomorfismo Montgomery-Dyson-Odlyzko, consideramos que la construcción explícita del operador Hilbert-Pólya ha enfrentado dos obstáculos fundamentales que han persistido a través de décadas de intentos.

### Obstáculo I: Autorreferencia

Diversos intentos exhiben una estructura circular característica. Se parte del conocimiento del espectro deseado:

$$\text{spec}(H) = \{t_n : \zeta(1/2 + it_n) = 0\}$$

se utiliza esta información para construir el operador  $H$ , luego se diagonaliza  $H$  para obtener sus eigenvalores, y finalmente se verifica que estos eigenvalores coinciden con  $\text{spec}(H)$  original. Este ciclo presupone conocimiento *a priori* de aquello que pretende descubrir.

<sup>10</sup> Connes, 2000

<sup>11</sup> Berry y Keating, 1999

<sup>12</sup> Bender, Brody y Müller, 2002

<sup>13</sup> Yakaboylu, 2022; Yakaboylu, 2024

La geometría no comutativa de Connes<sup>10</sup> requiere información *a priori* sobre los ceros para definir el espacio de fases donde el operador actuaría. El operador  $H = xp$  de Berry-Keating<sup>11</sup> necesita regularización espectro-dependiente. Las simetrías PT de Bender-Brody-Müller<sup>12</sup> requieren ajustar parámetros mediante conocimiento previo del espectro buscado. Los trabajos recientes de Yakaboylu<sup>13</sup> continúan limitados por condiciones de confinamiento o de frontera que presuponen información sobre los ceros.

### Obstáculo II: Degradación Asintótica

Aun cuando se evite la autorreferencia directa, otros operadores propuestos exhiben limitaciones predictivas sistemáticas. Los métodos basados en aproximaciones locales predicen con precisión decreciente conforme la altura  $t$  aumenta, teniendo como efecto que lo que funciona para los primeros ceros, falla para  $n > 10^6$ . Las periodicidades artificiales emergen en construcciones que

no capturan la estructura quasi-periódica genuina de  $\zeta(s)$ . Esta degradación asintótica sugiere que las aproximaciones no acceden a la geometría fundamental subyacente.

Entre las aproximaciones más significativas que implican períodos se encuentran las de Vinogradov<sup>14</sup> en 1958 que, paralela y simultáneamente que Korobov<sup>15</sup> (bajo ideas previas de Vinogradov), estableció regiones libres de ceros que restringen dónde pueden estar los ceros no triviales:

$$\zeta(\sigma + it) \neq 0 \quad \text{para} \quad \sigma \geq 1 - \frac{C}{(\log |t|)^{2/3} (\log \log |t|)^{1/3}}$$

Esta restricción implica que cualquier operador propuesto debe predecir ceros sólo en la región permitida. Los métodos que predicen con precisión decreciente para  $t$ , violan implícitamente estas cotas.

### 1.3 Traducción entre Dominios: Perspectiva Histórica

<sup>14</sup> Vinogradov, 1958

Pese a los obstáculos del programa Hilbert-Pólya, la traducción entre dominios ha persistido como aproximación fértil. Manin<sup>16</sup>, en su artículo *Numbers as Functions*, compila las principales líneas convergentes, revelando una arquitectura común: estructuras locales ( $p$ -ádico,  $\mathbb{F}_p$ , ciclos) que ascienden a propiedades globales mediante invariantes preservadas:

<sup>15</sup> Korobov, 1958

Buium<sup>17</sup> construyó ecuaciones diferenciales  $p$ -ádicas mediante el cociente de Fermat  $\delta_p(a) = (a^p - a)/p$ , extendiendo la analogía clásica entre números y funciones a espacios jet aritméticos. Los representantes de Teichmüller (raíces  $p$ -ésimas de unidad) juegan el rol de constantes que, en ausencia de uniformización, complican la teoría más allá del caso clásico.

<sup>16</sup> Manin, 2013

Borger<sup>18</sup> estableció que las lambda-estructuras—codificando sistemas coherentes de levantamientos de Frobenius—son datos de descenso sobre el campo con un elemento  $\mathbb{F}_p$ . Tanto la construcción  $p$ -ádica de Buium como el enfoque de Borger enfrentan un obstáculo estructural común: la asimetría del primo arquimediano impide traducción completa entre la geometría finita y la infinita.

<sup>17</sup> Kontsevich y Zagier, 2001

Kontsevich-Zagier<sup>19</sup> definieron el anillo de períodos  $P \subset \mathbb{C}$  como valores de integrales  $\int_{\gamma} \omega$  con datos algebraicos sobre  $\mathbb{Q}$ , estableciendo cómo estructuras topológicas (ciclos geométricos) se traducen a objetos analíticos (integrales) que a su vez satisfacen ecuaciones algebraicas (ecuaciones de Picard-Fuchs). Esta traducción tripartita permite que propiedades geométricas se expresen analíticamente y luego se codifiquen algebraicamente. Aunque incluye  $\pi, \log(2)$  y valores zeta múltiples, permanece abierto—contra intuición inicial—si  $1/\pi, e$  o la constante de Euler  $\gamma$  son períodos, ni siquiera períodos exponenciales.

Complementando la compilación de Manin, la correspondencia estadística establecida por Montgomery y Dyson—espaciamientos entre ceros de  $\zeta(s)$  siguen distribución GUE de matrices aleatorias—y verificada computacionalmente por Odlyzko hasta  $10^{13}$  ceros (véase §1.2), establece una traducción entre teoría de números y física cuántica mediante operadores hermíticos. El obstáculo central permanecía irresoluto: ningún operador hermítico explícito había sido construido, dejando la conjectura de Hilbert-Pólya como principio heurístico más que construcción matemática.

### 1.4 Simetrías y Dualidades como Diccionarios Universales

El análisis de estas aproximaciones revela, más allá de un tipo de matemática específica, simetrías y dualidades como fundamento común. Este principio ha demostrado éxito en múltiples contextos matemáticos y físicos, más allá de la Hipótesis de Riemann.

Múltiples construcciones matemáticas y físicas ejemplifican este principio. La transformada de Fourier establece correspondencia entre espacio de posición y espacio de momento, preservando

<sup>20</sup> Maldacena, 1998

la norma  $L^2(\mathbb{R})$ :  $\|f\|_2 = \|\hat{f}\|_2$ . La dualidad AdS/CFT<sup>20</sup> constituye una equivalencia completa entre teoría de gravedad en  $d + 1$  dimensiones y teoría de campos conformes en  $d$  dimensiones, preservando funciones de partición  $Z_{\text{CFT}}[J] = Z_{\text{gravity}}[\varphi_0 = J]$ . Esta dualidad fuerte-débil permite traducir problemas intratables en un dominio a problemas tratables en el otro.

<sup>21</sup> Benjamin y Chang, 2022

En el contexto del *bootstrap* modular escalar, Benjamin y Chang<sup>21</sup> demostraron que ecuaciones de cruce en CFT 2D contienen información sobre todos los ceros de  $\zeta(s)$ , reformulando la Hipótesis de Riemann como afirmación sobre densidad de operadores. Desde una perspectiva unificadora, Baez y Stay<sup>22</sup> mostraron que física cuántica, topología, lógica y computación comparten estructura de categorías monoidales simétricas cerradas, permitiendo traducción entre dominios mediante funtores naturales.

### Evitando Auto-Referencia

<sup>23</sup> Yanofsky, 2003

<sup>24</sup> Lawvere, 1969

Yanofsky<sup>23</sup>, siguiendo a Lawvere<sup>24</sup>, formalizó que paradojas auto-referenciales emergen de argumentos diagonales donde sistemas intentan describir sus propias propiedades. Las traducciones exitosas evitan esto mediante distribución de información entre múltiples dominios con invariantes preservados. La estructura circular  $D_1 \rightarrow D_2 \rightarrow D_1$  genera auto-referencia, mientras que coherencia multi-dominio  $D_1 \leftrightarrow D_2 \leftrightarrow D_3 \leftrightarrow D_4$  establece determinación mutua sin ciclos directos. En síntesis, §1.4 establece que traducciones exitosas entre dominios evitan autorreferencia mediante distribución de información entre múltiples dominios con invariantes preservados.

## 1.5 El Dilema Fundamental: La Consecuencia Algebraica de la Dimensionalidad

El punto de partida del programa espectral para la Hipótesis de Riemann reside en una tensión irresoluble entre la necesidad lógica y la restricción algebraica.

<sup>25</sup> Yanofsky, 2003

La necesidad de evitar la circularidad funcional impone un requisito de dimensionalidad mínima. La teoría de puntos fijos para sistemas recursivos establece que para romper la tautología de la Paradoja de la Autorreferencia se requiere un marco con estructura tripartita mínima que no puede resolverse en un espacio binario o bidimensional sin auto-contradicción<sup>25</sup>. Esta estructura tripartita, denotada P-C-F, implica que la construcción del operador debe operar en un espacio con dimensionalidad efectiva de tres o más.

<sup>26</sup> Frobenius, 1877

<sup>27</sup> Hurwitz, 1923; Zorn, 1933

<sup>28</sup> Dixmier, 1981; Arveson, 2002

Sin embargo, al intentar construir esta dimensionalidad mediante extensiones algebraicas del plano complejo  $\mathbb{C}$ , se entra en conflicto con el Teorema de Frobenius<sup>26</sup>. Este teorema establece que las únicas álgebras de división reales, asociativas y de dimensión finita son los números reales  $\mathbb{R}$ , los complejos  $\mathbb{C}$  y los cuaterniones  $\mathbb{H}$ . La extensión a  $\mathbb{H}$  sacrifica la comutatividad, mientras que la extensión a los Octoniones  $\mathbb{O}$  conforme al teorema de Hurwitz-Zorn<sup>27</sup> sacrifica adicionalmente la asociatividad.

La teoría espectral clásica requiere tanto comutatividad como asociatividad para garantizar la diagonalización de los operadores y, por ende, que el espectro sea puramente real y discreto. La extensión de la teoría de operadores a álgebras no comutativas o no asociativas, en el contexto de las Álgebras de Von Neumann o  $C^*$ -álgebras<sup>28</sup>, es sustancialmente más compleja y no proporciona el resultado de espectro real que requiere la solución espectral a la Hipótesis de Riemann. Por lo tanto, cualquier extensión algebraica para ganar dimensionalidad implica un sacrificio de las propiedades esenciales para la coherencia espectral.

### 1.5.1 El Hamiltoniano como Mecanismo de Conversión $\mathbb{C} \rightarrow \mathbb{R}$

<sup>29</sup> Shankar, 1994

El Hamiltoniano es el Generador Infinitesimal de la Evolución Temporal<sup>29</sup>. Formalmente,  $H$  es el elemento del Álgebra de Lie que genera el grupo unitario de la evolución  $U(t)$ :

$$U(t) = e^{-iHt/\hbar}$$

<sup>30</sup> Neumann, 1932

La acción de  $H$  sobre el vector de estado  $\psi \in \mathcal{H}$  induce una rotación de fase constante en el plano complejo, donde la energía  $E$  se interpreta como la frecuencia o velocidad angular de dicha rotación. El espacio de Hilbert  $\mathcal{H}$  es un espacio vectorial complejo  $\mathbb{C}^n$ , y la intención de  $H$  es unificar la Geometría mediante el flujo del sistema, el Álgebra mediante la estructura de conmutación de los operadores, y la Aritmética mediante el espectro discreto.

El propósito de  $H$  es garantizar que las cantidades físicas medibles sean reales. La conversión de la naturaleza compleja del espacio de Hilbert a un espectro puramente real se logra mediante una imposición algebraica: el operador  $H$  debe ser Hermítico o auto-adjunto,  $H = H^\dagger$ . Esta propiedad, postulada como axioma en la mecánica cuántica<sup>30</sup>, garantiza que la solución de la ecuación de autovalores  $H\psi = E\psi$  produzca autovalores  $E$  necesariamente reales. Esta coherencia algebraica solo está garantizada dentro de  $\mathbb{C}$ ; cualquier extensión dimensional que viole Frobenius destruye precisamente el mecanismo que convierte espectro complejo en espectro real.

## 1.6 Solución Propuesta: Modularización Geométrica

En lugar de extender  $\mathbb{C}$  mediante álgebra, lo extendemos mediante modularización geométrica y simetría.

### 1.6.1 Extensión Algebraica

Una extensión algebraica de un cuerpo  $K$  construye un cuerpo mayor  $L \supset K$  añadiendo raíces de polinomios. El ejemplo canónico es  $\mathbb{C} = \mathbb{R}[x]/(x^2 + 1)$ , donde se añade un elemento nuevo  $i$  que satisface  $i^2 = -1$ . La extensión de  $\mathbb{R}$  a  $\mathbb{C}$  añade elementos; la extensión de  $\mathbb{C}$  a  $\mathbb{H}$  añade  $j$  y  $k$  con relaciones  $j^2 = k^2 = -1$  y  $ij = k = -ji$ . Cada extensión algebraica introduce nuevos generadores con nuevas relaciones algebraicas, y son estas relaciones las que destruyen conmutatividad o asociatividad.

### 1.6.2 Modularización Geométrica

Una modularización geométrica no añade elementos. Dado un lattice  $\Lambda \subset \mathbb{C}$ , el espacio modular se define como el cociente:

$$M_\Lambda = \mathbb{C}/\Lambda = \{[z] : z \sim z + \lambda, \lambda \in \Lambda\}$$

La modularización identifica puntos equivalentes bajo traslación por el lattice. Topológicamente,  $\mathbb{C}/\Lambda$  es isomorfo al toro  $T^2$ . Algebraicamente, las operaciones de  $\mathbb{C}$  se heredan a funciones  $\Lambda$ -periódicas: si  $f(z) = f(z + \lambda)$  para todo  $\lambda \in \Lambda$ , entonces  $f$  vive naturalmente sobre el toro. La modularización reorganiza sin añadir y preserva todas las propiedades algebraicas de  $\mathbb{C}$  en el espacio de funciones periódicas.

### 1.6.3 Acoplamiento por Simetría: Estructura Tripartita y Dualidad Lattice

La construcción utiliza simetría  $S_3$ , el grupo simétrico de orden 3, codificada mediante las raíces cúbicas de la unidad  $\omega = e^{2\pi i/3}$ . Los tres componentes  $P$ ,  $C$  y  $F$  se disponen con separación angular de  $2\pi/3$ , formando un triángulo equilátero en el plano complejo, estructura tipo Eisenstein.

Sin embargo, el lattice que el operador genera no es hexagonal sino rectangular:

$$\Lambda_{PCF} = \mathbb{Z}M_{PCF} \oplus \mathbb{Z}(M_{PCF} \cdot i)$$

con base  $\{M, Mi\}$  y ángulo  $90^\circ$ , estructura tipo Gauss.

La razón áurea  $\varphi$  media entre ambas estructuras: entrada tripartita con  $\omega^3 = 1$ , salida rectangular con  $i^2 = -1$ , mediador  $\varphi^2 = \varphi + 1$ . El operador no elige entre Eisenstein o Gauss, sino que mantiene coherencia entre ambos mediante el invariante  $|\Omega| = 1/2$ .

#### 1.6.4 Acoplamiento Fibonacci

A la simetría geométrica se une un acoplamiento aritmético mediante la razón áurea:

$$z = \varphi y \quad \text{donde} \quad \varphi = \frac{1 + \sqrt{5}}{2}$$

Este acoplamiento reduce los tres grados de libertad nominales de la estructura  $S_3$  a dos grados de libertad efectivos, estableciendo una dependencia funcional que elimina un grado de libertad sin destruir la información tripartita. La razón áurea  $\varphi$  satisface  $\varphi^2 = \varphi + 1$ , lo que genera autosimilaridad bajo escalamiento, propiedad esencial para la coherencia multi-escala del operador.

#### 1.6.5 Matriz Normal

Con esta estructura, construimos la matriz generadora:

$$\hat{\Omega} = [\omega_1, \omega_2, \omega_3]^T \quad \text{donde} \quad \omega_j = e^{2\pi i(j-1)/3}$$

Esta matriz es normal pero no hermítica:

$$\hat{\Omega}\hat{\Omega}^\dagger = \hat{\Omega}^\dagger\hat{\Omega} \quad \text{pero} \quad \hat{\Omega} \neq \hat{\Omega}^\dagger$$

<sup>31</sup> Halmos, 1958

La normalidad garantiza que  $\hat{\Omega}$  es diagonalizable con base ortonormal de eigenvectores<sup>31</sup>. La no-hermiticidad refleja la asimetría geométrica inherente a la estructura tripartita  $S_3$ : los tres componentes ( $P, C, F$ ) están relacionados cíclicamente, no simétricamente.

#### 1.6.6 Kernel Hermítico

La matriz normal  $\hat{\Omega}$  se acopla a un kernel integral  $K_{PCF}$  mediante integración sobre el dominio fundamental del toro:

$$K_{PCF}(x, y) = \int_F \hat{\Omega}(x, t) \overline{\hat{\Omega}(y, t)} dt$$

Este kernel es hermítico por construcción:

$$K_{PCF}(x, y) = \overline{K_{PCF}(y, x)}$$

La hermiticidad emerge del proceso de integración—la simetrización ocurre en el espacio de funciones  $L^2$ , no en la matriz  $\hat{\Omega}$ . El operador integral  $T_K f(x) = \int K_{PCF}(x, y) f(y) dy$  hereda la hermiticidad del kernel.

#### 1.6.7 Espectro Real

<sup>32</sup> Riesz y Sz.-Nagy, 1955

Por el teorema espectral para operadores integrales hermíticos compactos<sup>32</sup>, el operador  $T_K$  tiene

espectro puramente real y discreto:

$$\text{Spec}(T_K) \subset \mathbb{R}, \quad \text{Spec}(T_K) = \{\lambda_n\}_{n=1}^{\infty}$$

Este es el resultado buscado: partiendo de una estructura tripartita en  $\mathbb{C}^3$  que evita autorreferencia, mediante modularización geométrica y acoplamiento  $\varphi$ -*i*- $S_3$  que preserva propiedades de  $\mathbb{C}$ , llegamos a un operador hermítico con espectro real que satisface los requisitos espetrales para la Hipótesis de Riemann.

La cadena completa se expresa como:

$$\mathbb{C}^3 \xrightarrow{\text{simetría } S_3} \hat{\Omega} \text{ (normal)} \xrightarrow{\text{acoplamiento } \varphi} \mathbb{C}_{\text{eff}}^2 \xrightarrow{\text{modularización}} T^2 \xrightarrow{\text{kernel}} K_{\text{PCF}} \text{ (hermítico)} \xrightarrow{\text{espectral}} \lambda_n \in \mathbb{R}$$

## 1.7 Fundamento y Alcance del Presente Trabajo

En lugar de construir un operador especificando el espectro de ceros de zeta—ciclo  $H \mapsto \text{spec}(H) \mapsto H$ —reinterpretamos el plano complejo como espacio modular  $M_{\text{PCF}} = \mathbb{C}/\Lambda_{\text{PCF}} \cong T^2$  con lattice  $\Lambda_{\text{PCF}}$  determinado por periodicidades geométricas. Esta reinterpretación reduce información infinita a datos finitos aglutinados mediante coherencia estructural<sup>33</sup>, evitando el problema de auto-referencia descrito en §1.2 donde  $H$  requiere conocer  $\text{spec}(H)$  *a priori*.

Integramos los axiomas de  $\mathbb{C}$  con principios de autoconsistencia formalizados en *bootstrap* conforme por Guillarmou *et al.*<sup>34</sup> y en *bootstrap* modular por Benjamin-Chang<sup>35</sup>, mediante coherencia multi-dominio donde la información se distribuye entre múltiples dominios que se determinan mutuamente sin autoobservación directa. Siguiendo el análisis de Yanofsky sobre ciclos prohibidos (véase §1.4), el operador emerge de propiedades geométricas determinadas por la estructura de  $\mathbb{C}$  mismo mediante kernel modular  $K(z, w)$ , no de especificación de un Hamiltoniano microscópico. La emergencia hermítica en espacios adjuntos es consecuencia de esta construcción fundamental, no su punto de partida.

<sup>33</sup> La identificación  $z \sim z + \lambda$  para  $\lambda \in \Lambda_{\text{PCF}}$  forma clases  $[z] \in \mathbb{C}/\Lambda_{\text{PCF}}$ . La coherencia estructural preserva invariantes (módulo  $|z|$ , fase  $\arg(z)$ , estructura algebraica) que reconstruyen propiedades globales desde datos locales finitos, siguiendo el principio donde representaciones equivalentes privilegian aspectos particulares (Manin, 2013)—principio formalizado en §2.3.2.

<sup>34</sup> Guillarmou et al., 2020

<sup>35</sup> Benjamin y Chang, 2022

## 1.8 Verificación Computacional

Esta construcción exhibe dos observables clave. Una correspondencia aritmética mediante isomorfismo logarítmico vincula  $\sigma \rightarrow p_{\sigma} \rightarrow M_p = 2^{p_{\sigma}} - 1$ , verificada en 51 primos de Mersenne desde  $M_2 = 3$  hasta  $M_{82589933}$  con 24.9 millones de dígitos. Por otra parte, se proporciona predicción analítica de ceros de  $\zeta(s)$  y análogamente de otras L-funciones. La verificación alcanza precisión de máquina (véase 8.1.7) para  $n \sim 10^{10}$  (altura  $t \sim 10^{23}$ ).

El operador no requiere conocer estos ceros para su construcción y su espectro exhibe correlación con ellos *a posteriori*.

## 1.9 Estructura del Presente Trabajo

Este documento desarrolla la construcción completa del operador  $\Omega_{\text{PCF}}$  y verifica sus propiedades estructurales y numéricas. **Sección 2** introduce el plano complejo como espacio de módulos, incluyendo espacios paramétricos adjuntos (**Subsección 2.7**). **Sección 3** desarrolla el operador  $\Omega_{\text{PCF}}$  mediante construcción axiomática (**Subsección 3.1**), construcción desde el módulo con ecuaciones de acoplamiento (**Subsección 3.2**), y geometría asociada incluyendo estructura 3D (**Subsección 3.3**), torre de escalas (**Subsección 3.6**), espacio-tiempo pentadimensional (**Subsección 3.7**) y funcionalización en espacio de Hilbert (**Subsección 3.8**). La necesidad del toro complejo y estructura tensorial se justifica en **Subsección 3.4**.

Las secciones subsecuentes establecen propiedades espectrales y geométricas. **Sección 4** analiza convergencia espectral en espacio de Hilbert. **Sección 5** demuestra invariancia modular exacta y su relación con el principio de certidumbre. **Sección 6** estudia la dimensión de Hausdorff de la estructura fractal. **Sección 7** establece coherencia triple en espacios inequivalentes. **Sección 9** expone correspondencias aritméticas: números de Mersenne, espiral áurea y estructura logarítmica. Apéndice 1 contiene la tabla completa de verificaciones computacionales.

## 2 El Plano Complejo como Espacio de Módulos

### 2.1 El Módulo: Magnitud Primitiva

El plano complejo  $\mathbb{C}$  ocupa una posición singular en matemáticas: une simultáneamente aritmética (cuerpo algebraico), geometría (espacio euclíadiano  $\mathbb{R}^2$ ), analítica (dominio de funciones holomorfas), y topología (variedad compleja). Esta multiplicidad de interpretaciones no es un accidente histórico. Gauss<sup>36</sup> la reconoció pero no la formalizó completamente hasta 1831; Riemann la explotó para crear geometría compleja (véase más abajo); Weierstrass<sup>37</sup> la sistematizó mediante teoría de funciones y series de potencias. La unificación es posible porque  $\mathbb{C}$  posee una magnitud primitiva, el módulo  $|z| := \sqrt{x^2 + y^2}$ , que determina simultáneamente distancia geométrica, norma algebraica, valor absoluto analítico, y métrica topológica.

<sup>36</sup> Gauss, 1831

<sup>37</sup> Weierstrass, 1876

<sup>38</sup> Riemann, 1857

Riemann introdujo "Modul" en 1857 en *Theorie der Abel'schen Functionen*<sup>38</sup> (Teoría de las funciones abelianas) para designar parámetros caracterizadores de clases de equivalencia de objetos geométricos. Define el espacio de módulos (*Modulraum*) como el espacio cociente que parametriza todas las clases de equivalencia de superficies de Riemann compactas de un género fijado  $g$ , donde dos superficies son equivalentes si existe entre ellas un isomorfismo conforme (biholomorfismo).

**Definición 2.1.1** (Módulo geométrico). Para  $z = x + iy \in \mathbb{C}$  con  $x, y \in \mathbb{R}$ :

$$|z| := \sqrt{x^2 + y^2}$$

Geométricamente, dado  $z = x + iy$ , el módulo  $|z|$  es la longitud de la diagonal del paralelogramo formado por los segmentos  $(|x|, 0)$  y  $(0, |y|)$ , obtenida mediante el teorema de Pitágoras.

**Proposición 2.1.2** (Invariancia rotacional).  $|e^{i\theta}z| = |z|$  para todo  $\theta \in \mathbb{R}$ .

### 2.2 Rotación como Generador del Plano

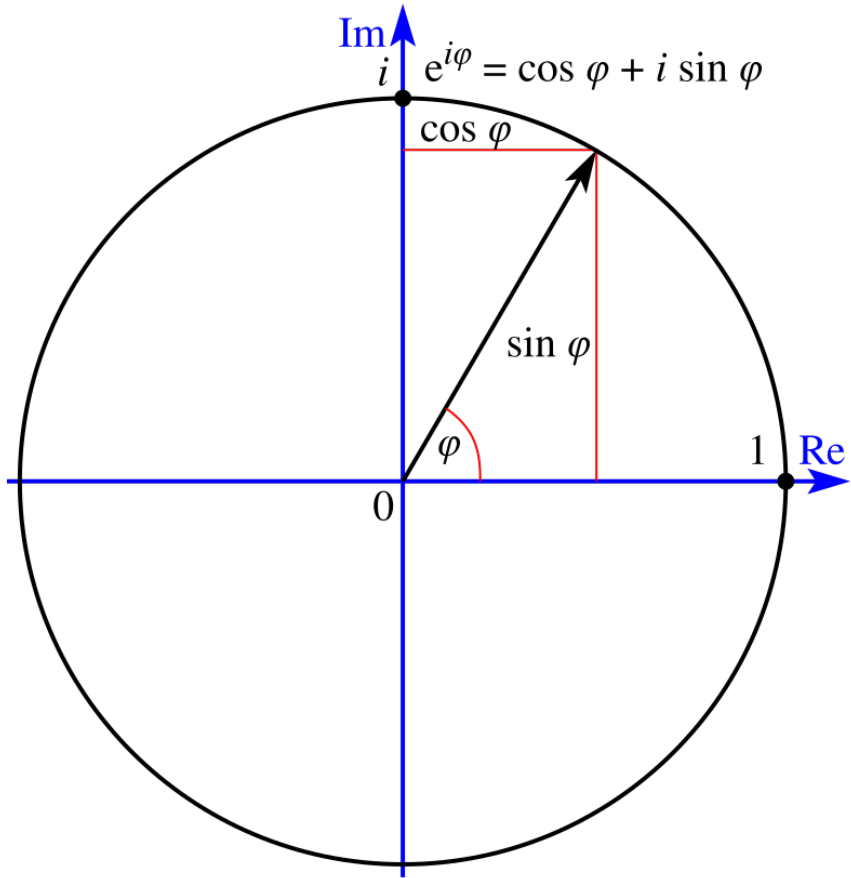
La unidad imaginaria  $i$  es un operador geométrico rotacional que extiende  $\mathbb{R}$  a  $\mathbb{C}$  mediante:

$$\mathbb{R} \xrightarrow{\times i} i\mathbb{R} \quad (\text{rotación } 90^\circ)$$

**Periodicidad.**  $i^1 = i, i^2 = -1, i^3 = -i, i^4 = 1$  genera:

$$\mathbb{C} = \mathbb{R} \oplus i\mathbb{R} = \{x + iy : x, y \in \mathbb{R}\}$$

con base  $\{1, i\}$  y relación  $i^2 = -1$ .



**Figura 1.** Representación geométrica del módulo  $|z| = \sqrt{x^2 + y^2}$  como hipotenusa de un triángulo rectángulo.

---

**Proposición 2.2.1** (Dualidad geométrica-algebraica). *El módulo satisface:  $|z|^2 = z \cdot \bar{z} = x^2 + y^2$ .*

Los números imaginarios emergen de  $\mathbb{R}$  gracias a  $i$ . En términos de estructura de espacio vectorial,  $\mathbb{C}$  como extensión de  $\mathbb{R}$  tiene dimensión 2 sobre  $\mathbb{R}$  (con base  $\{1, i\}$ ), mientras que  $\mathbb{R}$  como espacio vectorial sobre sí mismo tiene dimensión 1. Geométricamente, esto corresponde a la transición de línea (“1D”) a plano (“2D”).

## 2.3 Módulo Algebraico y Estructura de Cuerpo

<sup>39</sup> Argand, 1806

<sup>40</sup> Gauss, 1831

<sup>41</sup> Dedekind, 1871

<sup>42</sup> Del griego *protos* (primero) + *typos* (modelo), conectando con "primitiva" (*primitivus*, latín: primero/original) en el título.

<sup>43</sup> Noether, 1921

El término "modulus" (latín, "medida pequeña" o "unidad estándar") designa el módulo de un número complejo  $|z|$ , que tiene raíces geométricas: representa la distancia al origen. Dicha concepción geométrica fue formalizada por Argand<sup>39</sup> y Gauss<sup>40</sup>, estableciendo  $\mathbb{C}$  como plano con estructura métrica. La formulación algebraica moderna  $|z|^2 = z \cdot \bar{z}$  mediante el producto hermítico emergió posteriormente, unificando las perspectivas geométrica y algebraica bajo dicha noción de medida. La dualidad geométrico-algebraica en  $\mathbb{C}$  influyó el desarrollo conceptual del álgebra abstracta del siglo XIX.

La raíz etimológica de "medida" conecta desarrollos históricos aparentemente distintos. Riemann (véase arriba) usaba "moduli" para parámetros clasificadores de objetos geométricos (superficies de Riemann), mientras que Dedekind<sup>41</sup> desarrollaba "módulos" como estructuras algebraicas sobre anillos. Ambos conceptos comparten dicha base semántica, manifestándose de forma prototípica<sup>42</sup> en el módulo  $|z|$  de números complejos. La formalización moderna del módulo algebraico como conjunto con estructura de grupo abeliano y acción escalar de un anillo fue desarrollada posteriormente, particularmente por Noether<sup>43</sup>, unificando estos conceptos dentro del álgebra abstracta.

**Definición 2.3.1** (Módulo algebraico). El módulo se caracteriza algebraicamente mediante el producto hermítico en  $\mathbb{C}$ . Para  $z = x + iy \in \mathbb{C}$  con  $x, y \in \mathbb{R}$ , el producto hermítico  $z \cdot \bar{z}$  define el cuadrado del módulo:

$$|z|^2 = z \cdot \bar{z} = (x + iy)(x - iy) = x^2 + y^2$$

donde  $\bar{z} = x - iy$  denota la conjugación compleja. Esta caracterización algebraica establece el módulo como la raíz cuadrada del producto de un número complejo por su conjugado, revelando la estructura multiplicativa del plano complejo donde la conjugación actúa como involución que preserva la estructura de cuerpo mientras determina la norma.

<sup>44</sup> El término "privilegio" denota que cada caracterización hace más accesibles ciertas propiedades, no superioridad absoluta. La equivalencia matemática garantiza intercambiabilidad, mientras que la accesibilidad—facilidad con que ciertas propiedades son derivables directamente—varía según la representación. Esta dualidad refleja que  $\mathbb{C}$  admite múltiples representaciones (euclíadiana, algebraica, polar), principio que conecta perspectiva renacentista con espacios modulares modernos; se discute en detalle en §10 y en 2.7.2.

<sup>45</sup> La multiplicación compleja  $(a + bi)(c + di) = (ac - bd) + (ad + bc)i$  sintetiza esta multiplicidad: emerge de  $i^2 = -1$  y realiza simultáneamente operaciones en cuatro dominios estructurales (aritmética, geometría, análisis, topología), distinguiendo  $\mathbb{C}$  como síntesis única donde cada operación admite interpretaciones equivalentes en los cuatro dominios.

**Proposición 2.3.2** (Equivalencia y privilegio de perspectiva). <sup>44</sup> *El módulo admite dos caracterizaciones equivalentes y complementarias:*

$$|z| = \sqrt{x^2 + y^2} = \sqrt{z \cdot \bar{z}}, \quad \forall z = x + iy \in \mathbb{C}.$$

*La primera caracteriza la distancia euclíadiana; la segunda, el producto hermítico.*

*Las propiedades del módulo—multiplicatividad  $|z_1 z_2| = |z_1| |z_2|$ , desigualdad triangular  $|z_1 + z_2| \leq |z_1| + |z_2|$ , e invariancia rotacional  $|e^{i\theta} z| = |z|$ —tienen accesibilidad diferencial según la representación.*

Esta accesibilidad diferencial se ilustra mediante ejemplos concretos. La multiplicatividad<sup>45</sup> es derivable directamente desde la perspectiva algebraica mediante

$$|z_1 z_2|^2 = (z_1 z_2)(\bar{z}_1 \bar{z}_2) = z_1 \bar{z}_1 \cdot z_2 \bar{z}_2 = |z_1|^2 |z_2|^2.$$

Análogamente, la invariancia rotacional (2.1.2) es manifiesta en la representación geométrica como preservación de distancia bajo rotación.

## 2.4 Lattices: Estructura Discreta

Hasta ahora hemos considerado el módulo  $|z|$  como función continua sobre  $\mathbb{C}$ . Sin embargo, el plano complejo también admite estructuras discretas fundamentales mediante *lattices*—subgrupos

discretos que generan periodicidades. Los lattices conectan la métrica continua del módulo con la topología discreta del toro, estableciendo el puente entre geometría local (módulo como distancia) y topología global (espacio cociente como toro).

**Definición 2.4.1** (Lattice: periodicidad bidimensional). Un lattice  $\Lambda \subset \mathbb{C}$  es un subgrupo discreto:

$$\Lambda = \mathbb{Z}\omega_1 \oplus \mathbb{Z}\omega_2 = \{n_1\omega_1 + n_2\omega_2 : n_1, n_2 \in \mathbb{Z}\}$$

donde  $\omega_1, \omega_2 \in \mathbb{C}$  son linealmente independientes sobre  $\mathbb{R}$  (es decir,  $\omega_2/\omega_1 \notin \mathbb{R}$ ). La discreción implica que cada punto de  $\Lambda$  está aislado (existe un entorno que no contiene otros puntos del lattice) y que el espacio cociente  $\mathbb{C}/\Lambda$  es compacto, generando estructura toroidal  $T^2 \cong S^1 \times S^1$ .

Ejemplos canónicos ilustran la estructura latticial: el *lattice cuadrado*  $\Lambda_{\square} = \mathbb{Z}[i]$  y el *lattice hexagonal*  $\Lambda_{\Delta} = \mathbb{Z}[\omega]$  (donde  $\omega = e^{2\pi i/3}$ ), revelando cómo la estructura continua  $\mathbb{C}$  admite subestructuras periódicas discretas mientras preserva simetrías rotacionales.

**Observación 2.4.2** (Lattices de Gauss y Eisenstein). La diferencia geométrica entre ambos lattices canónicos: mientras el lattice de Gauss  $\mathbb{Z}[i]$  rota en 4 pasos de  $90^\circ$  ( $i^4 = 1$ ) con generadores  $\{1, i\}$  separados  $90^\circ$ , el lattice de Eisenstein  $\mathbb{Z}[\omega]$  rota en 6 pasos de  $60^\circ$  ( $\omega^6 = 1$ ), aunque el ángulo entre sus generadores es  $120^\circ$  ( $\omega^3 = 1$ ). Esta distinción entre simetría rotacional discreta y ángulo generador refleja cómo diferentes estructuras algebraicas ( $i^2 = -1$  vs  $\omega^3 = 1$ ) generan geometrías distintas en el mismo plano complejo.

**Definición 2.4.3** (Toro complejo). Para un lattice  $\Lambda \subset \mathbb{C}$ , el toro complejo es el espacio cociente:

$$T_\Lambda := \mathbb{C}/\Lambda \cong S^1 \times S^1$$

donde la identificación  $z \sim z + \lambda$  para todo  $\lambda \in \Lambda$  colapsa las dos direcciones periódicas del lattice en dos círculos independientes. El invariante modular  $\tau = \omega_2/\omega_1 \in \mathbb{H}$  (semiplano superior  $\mathbb{H} = \{z \in \mathbb{C} : \text{Im}(z) > 0\}$ ) clasifica la forma del toro: diferentes valores de  $\tau$  corresponden a toros no isomorfos, aunque todos tienen topología  $T^2$ .

## 2.5 Espacio de Módulos

Un espacio de módulos parametriza clases de equivalencia de objetos geométricos: diferentes lattices que difieren solo por transformaciones modulares se identifican como el mismo punto. El espacio de módulos de lattices clasifica toros complejos según su forma, donde el invariante modular  $\tau$  determina la geometría del toro  $T_\tau = \mathbb{C}/\Lambda$ .

**Definición 2.5.1** (Espacio de módulos de lattices). El espacio de módulos de lattices es:

$$\mathcal{M}_{\text{lat}} = \mathbb{H}/\text{PSL}(2, \mathbb{Z})$$

donde  $\text{PSL}(2, \mathbb{Z})$  (el grupo modular) es el grupo de matrices  $2 \times 2$  con coeficientes enteros y determinante 1, módulo el signo ( $\pm 1$ ). Este grupo actúa sobre  $\mathbb{H}$  mediante transformaciones de Möbius:

para cada matriz  $\begin{pmatrix} a & b \\ c & d \end{pmatrix} \in \text{PSL}(2, \mathbb{Z})$ , la transformación corresponde a  $\tau \mapsto \frac{a\tau + b}{c\tau + d}$ .

**Cuadro 1.** Herencia estructural del espacio  $\mathcal{M}_{lat}$  desde  $\mathbb{C}$

Dominio	Estructura	Operación clave
Aritmético	Lattice $\Lambda$ es $\mathbb{Z}$ -módulo libre rango 2	Suma de puntos
Geométrico	Coordenadas polares $\mathbb{C} \cong \mathbb{R}_+ \times S^1$	Rotación + escalamiento
Analítico	Funciones holomorfas $f : \mathbb{C} \rightarrow \mathbb{C}$	Diferenciación compleja
Topológico	Toro $T_\tau = \mathbb{C}/\Lambda \cong S^1 \times S^1$	Identificación modular

**Proposición 2.5.2** (Herencia estructural). *El espacio  $\mathcal{M}_{lat}$  hereda cuatro estructuras de  $\mathbb{C}$ :*

*Esta herencia simultánea en cuatro dominios caracteriza al plano complejo; su unicidad se establece formalmente en el Teorema 2.6.8.*

La idea fundamental de parametrizar familias de objetos geométricos mediante relaciones de equivalencia—donde objetos distintos que comparten propiedades estructurales se organizan en clases paramétricas—tiene antecedentes conceptuales que preceden la formalización moderna. Estos precedentes históricos abarcan desde la clasificación de cónicas por Apolonio (~200 a.C.), pasando por la caracterización foco-directriz con parámetros de excentricidad de Pappus (~320 d.C.), hasta las transformaciones proyectivas de perspectiva de Alberti<sup>46</sup>, la sistematización de proyecciones ortogonales de Monge<sup>47</sup> y la formalización de la proyección isométrica de Farish<sup>48</sup>. Una genealogía detallada de estos precedentes históricos se discute en §10. Todos estos desarrollos—clasificaciones por transformaciones geométricas o proyecciones—anticipan la base conceptual de los espacios de módulos modernos.

<sup>46</sup> Alberti, 1435

<sup>47</sup> Monge, 1799

<sup>48</sup> Farish, 1822

## 2.6 Axiomas del Plano Complejo

Formalizamos los axiomas que definen  $\mathbb{C}$ .

### 2.6.1 Axiomas Algebraicos

**Axioma 2.6.1** (Axioma C1: Grupo aditivo).  $(\mathbb{C}, +)$  es grupo abeliano: para todo  $z_1, z_2, z_3 \in \mathbb{C}$ ,

- Asociatividad:  $(z_1 + z_2) + z_3 = z_1 + (z_2 + z_3)$
- Comutatividad:  $z_1 + z_2 = z_2 + z_1$
- Neutro: existe  $0 \in \mathbb{C}$  tal que  $z + 0 = z$  para todo  $z \in \mathbb{C}$
- Inverso: para todo  $z \in \mathbb{C}$  existe  $-z \in \mathbb{C}$  tal que  $z + (-z) = 0$

La operación suma se define como  $(a + bi) + (c + di) = (a + c) + (b + d)i$  para  $a, b, c, d \in \mathbb{R}$ .

**Axioma 2.6.2** (Axioma C2: Grupo multiplicativo).  $(\mathbb{C}^*, \cdot)$  es grupo abeliano, donde  $\mathbb{C}^* = \mathbb{C} \setminus \{0\}$ : para todo  $z_1, z_2, z_3 \in \mathbb{C}^*$ ,

- Asociatividad:  $(z_1 \cdot z_2) \cdot z_3 = z_1 \cdot (z_2 \cdot z_3)$
- Comutatividad:  $z_1 \cdot z_2 = z_2 \cdot z_1$
- Neutro: existe  $1 \in \mathbb{C}^*$  tal que  $z \cdot 1 = z$  para todo  $z \in \mathbb{C}^*$
- Inverso: para todo  $z \in \mathbb{C}^*$  existe  $z^{-1} \in \mathbb{C}^*$  tal que  $z \cdot z^{-1} = 1$

La operación producto se define como  $(a + bi)(c + di) = (ac - bd) + (ad + bc)i$  para  $a, b, c, d \in \mathbb{R}$ .

**Axioma 2.6.3** (Axioma C3: Distributividad). Para todo  $z_1, z_2, z_3 \in \mathbb{C}$ :

$$z_1(z_2 + z_3) = z_1z_2 + z_1z_3$$

**Axioma 2.6.4** (Axioma C4: Generación). El plano complejo se genera desde  $\mathbb{R}$  mediante:

$$\mathbb{C} = \mathbb{R}[i] = \{a + bi : a, b \in \mathbb{R}\}$$

donde  $i^2 = -1$ .

## 2.6.2 Axiomas Geométricos

**Axioma 2.6.5** (Axioma C5: Métrica inducida por el módulo). Para  $z = x + iy \in \mathbb{C}$  con  $x, y \in \mathbb{R}$ , el módulo geométrico se define como:

$$|z| := \sqrt{x^2 + y^2}$$

Esta definición induce la métrica  $d(z, w) = |z - w|$  para  $z, w \in \mathbb{C}$ .

**Axioma 2.6.6** (Axioma C6: Completitud métrica).  $(\mathbb{C}, d)$  es un espacio métrico completo: toda sucesión de Cauchy en  $\mathbb{C}$  converge.

## 2.6.3 Axioma Topológico

**Axioma 2.6.7** (Axioma C7: Cierre algebraico). Todo polinomio  $p(z) = a_n z^n + a_{n-1} z^{n-1} + \dots + a_1 z + a_0$  con coeficientes  $a_i \in \mathbb{C}$  y  $n \geq 1$  tiene al menos una raíz en  $\mathbb{C}$ .

**Teorema 2.6.8** (Caracterización única de  $\mathbb{C}$ ). *El plano complejo  $\mathbb{C}$  es el único cuerpo algebraicamente cerrado que satisface los axiomas C1-C7 simultáneamente, salvo isomorfismo.*

## 2.7 Espacios Adjuntos: Re-parametrizaciones de $\mathbb{C}$

El plano complejo  $\mathbb{C}$  admite múltiples re-parametrizaciones que preservan su estructura pero modifican la interpretación física. Esta riqueza de representaciones es clave para la universalidad del operador  $\Omega_{\text{PCF}}$ .

### 2.7.1 Equivalencia Métrica

**Definición 2.7.1** (Equivalencia métrica por escalamiento). Espacios métricos  $(X_1, d_1)$ ,  $(X_2, d_2)$  son equivalentes si existe homeomorfismo  $\varphi : X_1 \rightarrow X_2$  tal que:

$$d_2(\varphi(x), \varphi(y)) = \lambda \cdot d_1(x, y), \quad \lambda > 0$$

El homeomorfismo  $\varphi$  preserva la estructura topológica y las propiedades métricas esenciales (completitud, compacidad relativa, convergencia de sucesiones). Esta equivalencia permite diferentes representaciones del mismo espacio subyacente.

**Teorema 2.7.2** (Tres representaciones de  $\mathbb{C}$ ). *El plano complejo  $\mathbb{C}$  admite tres representaciones equivalentes, cada una enfatizando aspectos estructuralmente distintos y privilegiando propiedades específicas:*

1. La representación euclíadiana identifica  $\mathbb{C}$  con  $(\mathbb{R}^2, d_{euc})$  donde la métrica es la distancia  $d(z_1, z_2) = |z_1 - z_2|$ , haciendo transparente la estructura métrica y las propiedades geométricas.
2. La representación algebraica se escribe como  $\mathbb{C} = \{z = x + iy : x, y \in \mathbb{R}\}$  con operaciones  $(+, \cdot)$ , enfatizando la estructura de cuerpo y las propiedades algebraicas.
3. La representación polar descompone  $\mathbb{C} \cong \mathbb{R}_+ \times S^1$  con  $z = re^{i\theta}$ , separando magnitud  $r$  y fase  $\theta$ , revelando simetrías rotacionales y propiedades multiplicativas.

Esta multiplicidad de representaciones ilustra el principio de equivalencia métrica (Definición 2.7.1), donde cada representación privilegia ciertas propiedades mientras preserva la estructura esencial del plano complejo.

### 2.7.2 Espacio Adjunto I: Espacio-tiempo de Minkowski

**Construcción 2.7.3** (Rotación de Wick). La transformación  $t \rightarrow it$  convierte la métrica euclíadiana en pseudo-Riemanniana:

$$ds_{\mathbb{C}}^2 = dx^2 + dy^2 \xrightarrow{\Phi_M} ds_{\mathcal{M}}^2 = -c^2 dt^2 + dx^2$$

El eje real  $\mathbb{R}$  corresponde a la coordenada espacial  $x$ ; el eje imaginario  $i\mathbb{R}$  se identifica con tiempo imaginario  $it$ ; y el módulo euclíadiano  $|z|^2 = x^2 + y^2$  se transforma en el intervalo espaciotemporal  $-c^2 t^2 + x^2$ .

**Proposición 2.7.4** (Preservación de estructura por Wick). *El mapa  $\Phi_M : \mathbb{C} \rightarrow \mathcal{M}^{1+1}$  definido en la Construcción 2.7.3 preserva tres aspectos estructurales esenciales:*

1. **Estructura algebraica:** establece isomorfismo entre el grupo de Lorentz y las transformaciones conformes de  $\mathbb{C}$ .
2. **Causalidad:** induce correspondencia entre los conos de luz en  $\mathcal{M}^{1+1}$  y los sectores hiperbólicos en  $\mathbb{C}$ .
3. **Simetrías:** realiza dualidad donde las rotaciones espaciales corresponden a rotaciones  $e^{i\theta}$  en  $\mathbb{C}$ , mientras que los boosts de Lorentz corresponden a escalamiento real en  $\mathbb{C}$ .

La transformación de Lorentz estándar  $x' = \gamma(x - vt)$ ,  $t' = \gamma(t - vx/c^2)$  corresponde, bajo esta perspectiva, a rotación hiperbólica en  $\mathbb{C}$  con parámetros  $\gamma = \cosh \varphi$  y  $v/c = \tanh \varphi$ , donde  $\varphi$  es el ángulo hiperbólico. Esta correspondencia ilustra cómo la equivalencia métrica (Definición 2.7.1) se extiende a espacios pseudo-Riemannianos mediante la rotación de Wick.

### 2.7.3 Espacio Adjunto II: Espacio de Hilbert

**Construcción 2.7.5** (Incrustación mediante distribuciones delta). El mapa:

$$F : \mathbb{C} \rightarrow L^2(\mathbb{C}), \quad z \mapsto \delta_z$$

incrasta cada punto del plano complejo como una distribución delta de Dirac en  $L^2(\mathbb{C})$ . Esta construcción establece el espacio adjunto genérico; la construcción específica mediante kernel integral se desarrolla en 3.8.

El espacio de Hilbert asociado es:

$$\mathcal{H}_{\mathbb{C}} = L^2(\mathbb{C}) = \left\{ f : \mathbb{C} \rightarrow \mathbb{C} : \int_{\mathbb{C}} |f(z)|^2 d^2z < \infty \right\}$$

con producto interno:

$$\langle f, g \rangle = \int_{\mathbb{C}} \overline{f(z)} g(z) d^2z$$

**Proposición 2.7.6** (Preservación de estructura por funcionalización). *La funcionalización  $F : \mathbb{C} \rightarrow L^2(\mathbb{C})$  preserva:*

1. *Estructura lineal: la suma de puntos en  $\mathbb{C}$  corresponde a la suma de funciones en  $L^2(\mathbb{C})$ .*
2. *Métrica: un isomorfismo entre la distancia  $|z_1 - z_2|$  en  $\mathbb{C}$  y la norma  $\|f - g\|_{L^2}$  en el espacio de Hilbert.*
3. *Simetrías rotacionales: las rotaciones  $e^{i\theta}$  en  $\mathbb{C}$  corresponden a operadores unitarios  $U_\theta$  en  $\mathcal{H}_{\mathbb{C}}$ .*

Los estados coherentes en mecánica cuántica se definen como:

$$|\alpha\rangle = e^{-|\alpha|^2/2} \sum_{n=0}^{\infty} \frac{\alpha^n}{\sqrt{n!}} |n\rangle$$

donde  $\alpha \in \mathbb{C}$  parametriza los estados cuánticos del oscilador armónico.

#### 2.7.4 Espacio Adjunto III: Esfera de Riemann

**Construcción 2.7.7** (Curvatura). El plano complejo  $\mathbb{C}$  se compactifica formando la esfera de Riemann:

$$\hat{\mathbb{C}} = \mathbb{C} \cup \{\infty\} \cong S^2$$

mediante la proyección estereográfica:

$$\pi : S^2 \setminus \{N\} \rightarrow \mathbb{C}, \quad (x, y, z) \mapsto \frac{x + iy}{1 - z}$$

La métrica de Fubini-Study inducida en  $\hat{\mathbb{C}}$  es:

$$ds^2 = \frac{4|dz|^2}{(1 + |z|^2)^2}$$

**Proposición 2.7.8** (Esfera de Riemann como espacio de móduli). *La esfera de Riemann  $\hat{\mathbb{C}}$  es el espacio de móduli de las curvas elípticas con  $j$ -invariante:*

$$j(\tau) = 1728 \frac{g_2^3(\tau)}{g_2^3(\tau) - 27g_3^2(\tau)}$$

## 2.7.5 Espacio Adjunto IV: Espacio de Teichmüller

**Construcción 2.7.9** (Espacio de Teichmüller del toro). El espacio de Teichmüller del toro es:

$$\mathcal{T}(T^2) = \{(X, f) : X \text{ es una superficie de Riemann},$$

$$f : T^2 \rightarrow X \text{ es un difeomorfismo}\} / \sim$$

donde  $\sim$  denota la relación de equivalencia que identifica pares  $(X, f)$  y  $(X', f')$  cuando existe un isomorfismo conforme entre  $X$  y  $X'$ .

Para el toro,  $\mathcal{T}(T^2) \cong \mathbb{H}$  (semiplano superior) mediante la identificación

$$\tau \mapsto T_\tau = \mathbb{C}/(\mathbb{Z} \oplus \mathbb{Z}\tau)$$

**Proposición 2.7.10** (Conexión con §2.5). *El espacio de módulos es:*

$$\mathcal{M}(T^2) = \mathcal{T}(T^2)/MCG(T^2) = \mathbb{H}/SL(2, \mathbb{Z})$$

donde  $MCG$  denota el grupo de clases de aplicaciones (mapping class group).

## 2.7.6 Coherencia Categórica

Los espacios adjuntos definidos anteriormente (Minkowski, Hilbert, Riemann, Teichmüller) no son representaciones independientes, sino que están relacionados mediante funtores que preservan la estructura fundamental de  $\mathbb{C}$ . Esta coherencia categórica garantiza que las propiedades del plano complejo se transfieren consistentemente a través de todas las re-parametrizaciones.

**Teorema 2.7.11** (Commutatividad de funtores). *Los mapas entre espacios adjuntos comutan. Específicamente, el functor de funcionalización  $F : \mathbb{C} \rightarrow L^2(\mathbb{C})$  (definido en Construcción 2.7.5) y el mapa de rotación de Wick  $\Phi_M : \mathbb{C} \rightarrow S^{1+1}$  (definido en Construcción 2.7.3) satisfacen:*

$$\begin{array}{ccc} \mathbb{C} & \xrightarrow{F} & L^2(\mathbb{C}) \\ \downarrow \Phi_M & & \downarrow \Phi_{M*} \\ S^{1+1} & \xrightarrow{F'} & L^2(S^{1+1}) \end{array}$$

donde  $\Phi_{M*}$  es el pushforward de  $\Phi_M$  al espacio de funciones, y  $F'$  es la funcionalización en el espacio de Minkowski. La commutatividad se expresa como  $F \circ \Phi_M = \Phi_{M*} \circ F$ .

Esta commutatividad implica que aplicar primero la rotación de Wick y luego la funcionalización produce el mismo resultado que aplicar primero la funcionalización y luego el pushforward de la rotación de Wick. Esta propiedad garantiza que la estructura del plano complejo se preserva coherentemente al traducir entre representaciones geométricas y funcionales.

**Corolario 2.7.12** (Coherencia de cuatro estructuras). *Las cuatro estructuras fundamentales de  $\mathbb{C}$  (aritmética, geométrica, analítica, topológica) se preservan simultáneamente en todos los espacios adjuntos. La commutatividad de funtores asegura que las propiedades algebraicas, métricas, analíticas y topológicas del plano complejo se transfieren de manera consistente, sin contradicciones, a través de las transformaciones que definen los espacios adjuntos.*

**Cuadro 2.** Correspondencias entre dominios estructurales del plano complejo

Operación	Aritmético	Geométrico	Analítico	Topológico
Suma	$z_1 + z_2$	Traslación	$f + g$ holomorfa	Grupo abeliano
Producto	$z_1 \cdot z_2$	Rotar + escalar	$f \cdot g$ holomorfa	Acción $\mathbb{C}^*$
Módulo	Norma $\  \cdot \ $	Distancia radial	$\ f\ _\infty$	Métrica
Conjugación	$\bar{z}$	Reflexión eje real	Involución	Automorfismo
Exponencial	$e^z$	Espiral logarítmica	Mapa conforme	Covering

### 2.7.7 Resumen de correspondencias entre dominios

La universalidad del plano complejo se manifiesta en que cada operación algebraica admite interpretaciones equivalentes en los cuatro dominios estructurales. La siguiente tabla resume estas correspondencias, mostrando cómo las operaciones fundamentales de  $\mathbb{C}$  se realizan de manera coherente en cada dominio:

Esta correspondencia unificada no es meramente notacional: cada operación preserva propiedades estructurales que se manifiestan de manera equivalente en los cuatro dominios. Por ejemplo, la multiplicación compleja realiza simultáneamente una operación algebraica (producto de números), una transformación geométrica (rotación y escalamiento), una operación analítica (producto de funciones holomorfas), y una acción topológica (acción del grupo multiplicativo  $\mathbb{C}^*$ ).

**Proposición 2.7.13** (Herencia del operador  $\Omega_{PCF}$ ). *El operador  $\Omega_{PCF}$  hereda la estructura cuádruple de  $\mathbb{C}$  en los cuatro dominios simultáneamente. Esta herencia se manifiesta de manera específica en cada dominio:*

**Aritmético:** *El operador posee un lattice  $\Lambda_{PCF} = \mathbb{Z}M_{PCF} \oplus \mathbb{Z}(M_{PCF} \cdot i)$  con generador  $M_{PCF} = \pi/\varepsilon_0$  que establece la periodicidad discreta fundamental del sistema.*

**Geométrico:** *El operador mantiene módulo constante  $|\Omega(z, \sigma)| = 1/2$  para todo  $z \in \mathbb{C}$  y  $\sigma \in \mathbb{R}$ , propiedad que lo distingue de construcciones que no preservan esta invariancia geométrica.*

**Analítico:** *El operador actúa como operador hermítico en  $L^2(\mathbb{C})$  con propiedades espectrales bien definidas, conectando la estructura algebraica con el análisis funcional.*

**Topológico:** *El operador induce una acción sobre el toro  $T^2 = \mathbb{C}/\Lambda_{PCF}$  que preserva la periodicidad y la estructura topológica del espacio de módulos.*

*Esta cuádruple herencia simultánea es lo que permite al operador evitar paradojas de auto-referencia: en lugar de depender de especificar su espectro a priori, el operador emerge de la estructura distribuida heredada de  $\mathbb{C}$ , donde cada dominio proporciona restricciones que se satisfacen coherentemente.*

### 2.7.8 Cierre de Fundamentos

Hemos establecido que el plano complejo  $\mathbb{C}$  posee una riqueza estructural única que se manifiesta en múltiples niveles simultáneamente. La base geométrica emerge del módulo  $|z|$ , que actúa como longitud invariante bajo rotación, estableciendo la métrica fundamental del plano. La base algebraica surge de  $i^2 = -1$ , definiendo la estructura de cuerpo que caracteriza  $\mathbb{C}$  como extensión de  $\mathbb{R}$ . Esta estructura algebraica genera, a su vez, una estructura discreta mediante lattices formados por periodicidades rotacionales, conectando lo continuo con lo discreto.

Los espacios de módulos clasifican estructuras equivalentes bajo transformaciones, revelando cómo diferentes representaciones del mismo objeto geométrico se relacionan mediante clases

de equivalencia. Los espacios adjuntos (Minkowski, Hilbert, Riemann, Teichmüller) proporcionan re-parametrizaciones coherentes que preservan invariantes clave mientras modifican la interpretación física o matemática. Esta universalidad se completa mediante la herencia simultánea de estructura en cuatro dominios: aritmético, geométrico, analítico y topológico, donde cada operación fundamental de  $\mathbb{C}$  admite interpretaciones equivalentes en todos los dominios.

En la siguiente parte, construiremos un operador que hereda esta universalidad mediante cinco propiedades interconectadas que emanan naturalmente de la estructura de  $\mathbb{C}$  misma. El operador extiende  $\mathbb{C}$  mediante modularización tridimensional acoplada a la razón áurea  $\varphi$ , unificando los análogos rotacionales  $i$  (rotación 90°) y  $\varphi$  (escalamiento dorado) como simetrías del mismo tipo mediante el acoplamiento  $\varphi$ - $i$ - $S_3$ . Esta extensión conecta los dominios aritmético, espacial y funcional sin perder coherencia, evitando paradojas de auto-referencia mediante estructura distribuida en múltiples dominios, estrategia identificada por Yanofsky<sup>49</sup>. La matriz generadora  $\hat{\Omega}$  en  $\mathbb{C}^3$  es normal pero no hermítica; la hermiticidad del operador integral en  $L^2(\mathbb{R})$  emerge del mecanismo de construcción mediante kernel simetrizado, no de propiedades algebraicas de  $\hat{\Omega}$ . El módulo constante  $|\Omega| = 1/2$  actúa como punto fijo funcional que ancla toda la construcción, garantizando que el operador mantenga las propiedades fundamentales de  $\mathbb{C}$  mientras revela estructura toroidal subyacente mediante lattice  $\Lambda_{\text{PCF}}$  y módulo  $M_{\text{PCF}} = \mathbb{C}/\Lambda_{\text{PCF}} \cong T^2$ .

<sup>49</sup> Yanofsky, 2003

### 3 El Operador $\Omega_{\text{PCF}}$

#### 3.1 Construcción Axiomática

**Definición 3.1.1** (Axioma 1: Herencia de axiomas del plano complejo). El operador hereda los axiomas de  $\mathbb{C}$  previamente establecidos en §2.

<sup>50</sup> La locución *a logos* (del griego λόγος, "razón", "principio ordenador") distingue extensiones que emergen de principios generativos inherentes a la estructura—como  $i$  y  $\varphi$  que generan secuencias recursivas y cierran estructuralmente sus campos—de extensiones meramente algebraicas formales. Esta distinción conecta con la genealogía del módulo desde los harpedonaptas egipcios hasta Weil (véase §10): operadores *a logos* no solo extienden formalmente, sino que revelan principios racionales subyacentes que organizan la estructura matemática, análogos al λόγος de Heráclito como ley universal que ordena el cosmos.

**Definición 3.1.2** (Axioma 2: Extensión mediante operadores *a logos*).<sup>50</sup>

Existen dos generadores algebraicos que extienden  $\mathbb{R}$ :

$$i^2 = -1, \quad \varphi^2 = \varphi + 1$$

El generador  $i$  produce la extensión  $\mathbb{R} \rightarrow \mathbb{C}$ , generando el plano  $(x, y)$  con  $x, y \in \mathbb{R}$ .

Entre todos los generadores algebraicos de grado 2, únicamente  $i$  y  $\varphi$  poseen propiedades generativas que cierran estructuralmente sus campos:

1.  $i$  con polinomio mínimo  $x^2 + 1$  genera el grupo cíclico  $\langle i \rangle = \{1, i, -1, -i\}$  de orden 4, estableciendo periodicidad rotacional completa en  $\mathbb{C} = \mathbb{R}[i]$ .
2.  $\varphi$  con polinomio mínimo  $x^2 - x - 1$  genera la recurrencia lineal  $F_{n+1} = F_n + F_{n-1}$  con  $F_n = (\varphi^n - (-\varphi)^{-n})/\sqrt{5}$ , estableciendo escalamiento autosimilar en  $\mathbb{Q}(\sqrt{5}) = \mathbb{Q}[\varphi]$ .

Otros generadores algebraicos de grado 2 (e.g.,  $\sqrt{2}$  con  $x^2 - 2$ ,  $\sqrt{3}$  con  $x^2 - 3$ ) extienden campos pero no generan estructuras recursivas cerradas. Las ecuaciones  $i^2 + 1 = 0$  y  $\varphi^2 - \varphi - 1 = 0$  son únicas en poseer clausura generativa: ambos generan sucesiones infinitas (rotaciones periódicas y Fibonacci) que preservan invariantes estructurales bajo iteración.

**Definición 3.1.3** (Axioma 3: Extensión ortogonal). La singularidad entre  $\varphi$  e  $i$  implica que existe coordenada  $z \in \mathbb{R}$  ortogonal a  $(x, y) \cong \mathbb{C}$  acoplada mediante:

$$z = \varphi y, \quad \varphi = \frac{1 + \sqrt{5}}{2}$$

El espacio resultante es:

$$E^3 = \{(x, y, \varphi y) \in \mathbb{R}^3\}$$

con base  $\{1, i, \varphi\}$ .

Los generadores  $i$  y  $\varphi$  satisfacen ecuaciones cuadráticas:

$$i^2 = -1, \quad \varphi^2 = \varphi + 1$$

y generan extensiones algebraicas:

$$\mathbb{R}[i] = \mathbb{C}, \quad \mathbb{Q}[\varphi] = \mathbb{Q}(\sqrt{5})$$

La estructura dimensional exhibe una jerarquía anidada que refleja la relación entre los tres generadores algebraicos. La dimensión real (eje  $x$ , generada por 1) se extiende a dimensión imaginaria (eje  $y$ , generada por  $i$ ) mediante rotación de  $90^\circ$ :  $y = ix$  en el plano complejo. A su vez, la dimensión áurea (eje  $z$ , generada por  $\varphi$ ) se acopla a la dimensión imaginaria mediante escalamiento áureo:  $z = \varphi y$ . Esta estructura anidada establece la relación jerárquica:

$$\text{Real } (x) \xrightarrow{i} \text{Imaginaria } (y) \xrightarrow{\varphi} \text{Áurea } (z)$$

donde cada transición preserva la estructura algebraica subyacente:  $i$  extiende  $\mathbb{R}$  a  $\mathbb{C}$ , mientras que  $\varphi$  acopla  $\mathbb{C}$  a su extensión tridimensional mediante el isomorfismo  $z = \varphi y$ .

*Nota 3.1.4* (Convención notacional). La letra “ $z$ ” aparece en dos contextos distintos pero relacionados:

- Como *número complejo*:  $z = x + iy \in \mathbb{C}$  (punto en el plano complejo)
- Como *coordenada vertical*:  $z \in \mathbb{R}$  (altura en espacio 3D, satisfaciendo  $z = \varphi y$ )

Esta sobrecarga es intencional y refleja el isomorfismo biunívoco  $\mathbb{C} \leftrightarrow \{(x, y, \varphi y) \in \mathbb{R}^3\}$  establecido por el acoplamiento  $z = \varphi y$  (demostrado en el Teorema 3.3.27), donde ambos usos de “ $z$ ” son aspectos complementarios de la misma geometría. En coordenadas cartesianas  $(x, y, z)$  para  $\mathbb{R}^3$ , la coordenada  $z$  denota la altura vertical, mientras que en notación compleja  $z = x + iy$  denota puntos del plano  $\mathbb{C}$ . El contexto siempre aclara cuál convención se emplea; véase también la convención específica para visualización 3D en §3.3.

Esta dualidad notacional enfatiza que el operador  $\Omega_{\text{PCF}}$  habita simultáneamente el plano complejo y su extensión tridimensional, unificados por el acoplamiento áureo.

**Definición 3.1.5** (Axioma 4: Estructura distribuida). El operador se factoriza:

$$\Omega(z, \sigma) = P(z, \sigma) \cdot C(z) \cdot F(z)$$

donde  $P, C, F$  son fasores complejos.

*Justificación (Lawvere-Yanofsky):* El teorema de Lawvere establece que auto-referencia directa  $f(f)$  implica paradoja. Yanofsky formaliza que paradojas auto-referenciales emergen de ciclos  $X \rightarrow f(f)$

$Y \rightarrow X$  (véase §1.4). En oposición, la estructura tripartita implementa referencia distribuida en lugar de autorreferencia. El ciclo prohibido  $D_1 \rightarrow D_2 \rightarrow D_1$  genera paradoja, mientras que la referencia distribuida  $P \leftrightarrow C \leftrightarrow F$  establece coherencia. En esta estructura, ningún componente se observa a sí mismo directamente:  $P$  observa  $(C, F)$ ,  $C$  observa  $(P, F)$ , y  $F$  observa  $(P, C)$ . La auto-referencia está distribuida entre los tres componentes, no concentrada en un solo punto, evitando así el ciclo prohibido que genera paradojas.

Ciclo prohibido:  $D_1 \rightarrow D_2 \rightarrow D_1$  [paradoja]

Referencia distribuida:  $P \leftrightarrow C \leftrightarrow F$  [coherencia]

**Definición 3.1.6** (Axioma 5: Punto fijo funcional). El módulo del operador es constante e igual a  $1/2$  para todo  $z \in \mathbb{C}$  y  $\sigma \in \mathbb{R}$ :

$$|\Omega(z, \sigma)| = \frac{1}{2}$$

Esta constante emerge del producto de las magnitudes de los tres componentes con estructura tripartita balanceada:

$$|P| \cdot |C| \cdot |F| = \frac{1}{\sqrt{3}} \cdot 1 \cdot \frac{\sqrt{3}}{2} = \frac{1}{2}$$

donde  $|P| = 1/\sqrt{3}$ ,  $|C| = 1$ , y  $|F| = \sqrt{3}/2$  son las magnitudes de los componentes  $P(z, \sigma)$ ,  $C(z)$ , y  $F(z)$  respectivamente.

**Corolario 3.1.7** (Círculo crítico y propiedades del módulo constante). *El operador vive en el círculo crítico  $C_{1/2} = \{w \in \mathbb{C} : |w| = 1/2\}$ , estableciendo una triple conexión estructural.*

**Conexión geométrica:** *El radio  $1/2$  balancea las magnitudes  $|P|$ ,  $|C|$ ,  $|F|$  mediante el producto  $|P| \cdot |C| \cdot |F| = 1/2$ , emergiendo directamente de la estructura tripartita.*

**Conexión algebraica:** *El valor  $1/2$  es universalmente representable en todas las estructuras numéricas fundamentales:  $1/2 \in \mathbb{Q} \subset \mathbb{R} \subset \mathbb{C}$ , siendo simultáneamente racional, real y complejo. Esta universalidad permite que el módulo constante actúe como solución del sistema de ecuaciones que determina el operador.*

**Conexión analítica:** *Coincide exactamente con la línea crítica  $\Re(s) = 1/2$  de la función zeta de Riemann<sup>51</sup>. Esta correspondencia establece  $1/2$  como valor único que ancla la construcción del operador y conecta su estructura geométrica con el análisis complejo.*

<sup>51</sup> Línea crítica donde la Hipótesis de Riemann conjectura que residen todos los ceros no triviales de  $\zeta(s)$ .

### 3.1.1 Coherencia de Axiomas

**Proposición 3.1.8** (Independencia de axiomas). *Los cinco axiomas PCF son independientes: ninguno se deriva de los otros cuatro.*

**Teorema 3.1.9** (Consistencia de axiomas). *Los cinco axiomas son consistentes: existe construcción explícita que los satisface simultáneamente.*

*Por construcción.* La construcción de §3.2 proporciona realización explícita. □

**Proposición 3.1.10** (Minimalidad de axiomas). *Los cinco axiomas son minimales: eliminar cualquiera destruye propiedades esenciales.*

1. Sin Ax1, no hay extensión 3D y el operador vive solo en  $\mathbb{C}$ .
2. Sin Ax2, no hay conexión  $i \leftrightarrow \varphi$  y se pierde la unificación rotacional.
3. Sin Ax3, el operador no actúa coherentemente en múltiples dominios.
4. Sin Ax4, aparece paradoja de auto-referencia tipo Lawvere (ciclo prohibido).
5. Sin Ax5, el módulo es variable y no hay punto fijo funcional que ancle la construcción.

## 3.2 Construcción desde el Módulo

La construcción del operador  $\Omega_{\text{PCF}}$  emerge de una estructura algebraica fundamental: una matriz diagonal en el espacio complejo tridimensional  $\mathbb{C}^3$  que presentaremos en la Definición 3.2.1.

Parámetros que se repetirán regularmente durante el desarrollo:

Notación	Nombre	Fórmula	Valor
$\varphi$	razón áurea	$\frac{1 + \sqrt{5}}{2}$	1.618033988749895 ...
$r_0$	radio base	—	3
$\varepsilon_0$	parámetro angular (constante de acoplamiento, parámetro <i>bootstrap</i> )	$\frac{\ln \varphi}{6\sqrt{3}}$	0.046304629455899 ...
$\omega_0$	frecuencia angular	$2\varepsilon_0$	0.092609258911798
$\tau_0$	período fundamental	$\frac{\pi}{\varepsilon_0} = \frac{6\sqrt{3}\pi}{\ln \varphi}$	67.846189258071644 ...

Una referencia completa con explicaciones detalladas y justificaciones geométricas se encuentra en el *Apéndice 2*.

**Definición 3.2.1** (Matriz generadora PCF). La estructura tripartita del operador  $\Omega_{\text{PCF}}$  se codifica mediante la matriz diagonal:

$$\hat{\Omega} = \frac{1}{2} \begin{pmatrix} 1 & 0 & 0 \\ 0 & \omega & 0 \\ 0 & 0 & \omega^2 \end{pmatrix} \in \mathbb{C}^{3 \times 3}$$

donde  $\omega = \exp(2\pi i/3)$  es la raíz cúbica primitiva de la unidad. La notación compacta  $\frac{1}{2}\text{diag}(1, \omega, \omega^2)$  denota esta misma matriz diagonal.

Representación explícita en forma matricial:

$$\hat{\Omega} = \begin{pmatrix} 1/2 & 0 & 0 \\ 0 & (1/2)\omega & 0 \\ 0 & 0 & (1/2)\omega^2 \end{pmatrix}$$

Valores numéricos aproximados:

$$\hat{\Omega} \approx \begin{pmatrix} 0.5 & 0 & 0 \\ 0 & -0.25 + 0.433i & 0 \\ 0 & 0 & -0.25 - 0.433i \end{pmatrix}$$

**Proposición 3.2.2** (Propiedades algebraicas). *La matriz  $\hat{\Omega}$  satisface las siguientes propiedades:*

1. *No es hermítica:  $\hat{\Omega}^\dagger \neq \hat{\Omega}$*

*Por cálculo directo.*

$$\hat{\Omega}^\dagger = \frac{1}{2} \text{diag}(1, \bar{\omega}, \bar{\omega^2}) = \frac{1}{2} \text{diag}(1, \omega^2, \omega)$$

Como  $\bar{\omega} = \omega^2 \neq \omega$ , se tiene  $\hat{\Omega}^\dagger \neq \hat{\Omega}$ . □

2. *Sí es normal:  $\hat{\Omega}^\dagger \hat{\Omega} = \hat{\Omega} \hat{\Omega}^\dagger$*

*Por cálculo directo.* Calculando ambos productos:

$$\hat{\Omega}^\dagger \hat{\Omega} = \frac{1}{4} \begin{pmatrix} 1 & 0 & 0 \\ 0 & \omega^2\omega & 0 \\ 0 & 0 & \omega\omega^2 \end{pmatrix} = \frac{1}{4} I_3$$

pues  $|\omega| = 1$  implica  $\omega^2\omega = \omega\omega^2 = 1$ . De manera similar,  $\hat{\Omega} \hat{\Omega}^\dagger = (1/4)I_3$ , por tanto la matriz es normal. □

3. *Eigenvalores con módulo constante:*

$$\lambda_1 = \frac{1}{2} \quad (\text{real, argumento } 0^\circ)$$

$$\lambda_2 = \frac{1}{2}\omega = \frac{1}{2}e^{i2\pi/3} \quad (\text{complejo, argumento } 120^\circ)$$

$$\lambda_3 = \frac{1}{2}\omega^2 = \frac{1}{2}e^{i4\pi/3} \quad (\text{complejo, argumento } 240^\circ)$$

Todos los eigenvalores satisfacen  $|\lambda_k| = 1/2$ .

*Por construcción.* Los eigenvalores de una matriz diagonal son los elementos de la diagonal. Como  $\hat{\Omega} = \frac{1}{2} \text{diag}(1, \omega, \omega^2)$ , los eigenvalores son:

$$\lambda_k = \frac{1}{2}\omega^k, \quad k \in \{0, 1, 2\}$$

Dado que  $|\omega| = |\omega^2| = 1$  (raíces cúbicas primitivas de la unidad tienen módulo unitario), se tiene:

$$|\lambda_k| = \left| \frac{1}{2}\omega^k \right| = \frac{1}{2}|\omega^k| = \frac{1}{2}$$

para  $k \in \{0, 1, 2\}$ . □

*Interpretación geométrica:* Los tres eigenvalores forman un triángulo equilátero en el plano complejo, inscrito en el círculo crítico  $|z| = 1/2$ :

- $\lambda_1 = 1/2$ : Componente Patrón (eje real positivo)
- $\lambda_2 = (1/2)\omega$ : Componente Coherencia (rotación 120°)
- $\lambda_3 = (1/2)\omega^2$ : Componente Flujo (rotación 240°)

Esta disposición geométrica codifica la simetría tripartita  $S_3$  del sistema.

*Conexión con las magnitudes de componentes:* Los módulos de los eigenvalores se relacionarán con las magnitudes  $|P|, |C|, |F|$  que definiremos a continuación. Estas magnitudes satisfacen:

$$|P| \cdot |C| \cdot |F| = \frac{1}{2} = |\lambda_k| \quad \forall k$$

Esta igualdad conecta la estructura algebraica de  $\hat{\Omega}$  con la geometría del triángulo equilátero.

**Observación 3.2.3** (No-hermiticidad como característica estructural). La matriz  $\hat{\Omega}$  no es hermitica ( $\hat{\Omega}^\dagger \neq \hat{\Omega}$ ), pero esta propiedad no constituye un defecto sino una característica esencial de la construcción.

La no-hermiticidad codifica la direccionalidad inherente de la estructura tripartita. La matriz  $\hat{\Omega}$  opera en el espacio de componentes  $\mathbb{C}^3$ , donde cada componente (P, C, F) tiene un rol distinto y una orientación específica en el plano complejo.

Cuando construyamos el kernel integral  $K_{PCF}(x, y)$  en §3.8.3, la hermiticidad emergirá del mecanismo de construcción mediante simetrización con  $\delta(x - y) + \varepsilon(x, y)$ , no de las propiedades algebraicas de  $\hat{\Omega}$  misma.

Esta distinción es fundamental: la hermiticidad del operador en espacio de Hilbert  $L^2(\mathbb{R})$  es una propiedad emergente de la construcción integral, mientras que la no-hermiticidad de  $\hat{\Omega}$  refleja la estructura geométrica tripartita del sistema.

### 3.2.1 Magnitudes de Componentes

**Definición 3.2.4** (Magnitudes tripartitas). Las magnitudes de los tres componentes  $P(z, \sigma), C(z)$  y  $F(z)$  son:

$$|P| = \frac{1}{\sqrt{3}}, \quad |C| = 1, \quad |F| = \frac{\sqrt{3}}{2}$$

Estas magnitudes determinan la contribución de cada componente al módulo total del operador  $\Omega_{PCF}$ .

**Proposición 3.2.5** (Origen geométrico). *Las magnitudes  $|P|, |C|, |F|$  se derivan de la geometría de un triángulo equilátero de lado unitario inscrito en el círculo crítico  $|z| = 1/2$ .*

*Cada magnitud corresponde a una medida geométrica específica del triángulo:*

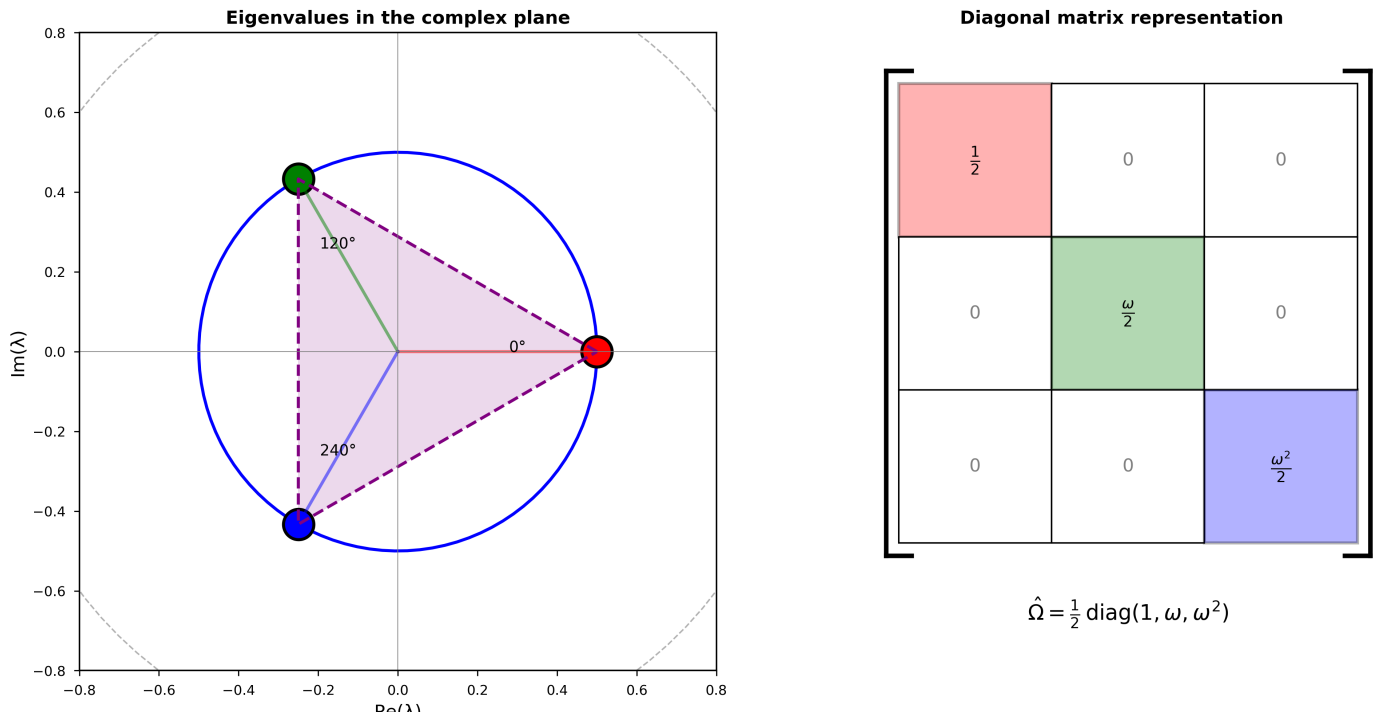
1. *La magnitud  $|F| = \sqrt{3}/2$  corresponde a la altura del triángulo desde cualquier vértice hasta el lado opuesto:  $h = \sqrt{1 - (1/2)^2} = \sqrt{3}/2$ .*
2. *La magnitud  $|P| = 1/\sqrt{3}$  corresponde a la inversa normalizada de la altura total desde el centro hasta un vértice:  $H = \sqrt{3}$ .*

3. La magnitud  $|C| = 1$  actúa como referencia unitaria que balancea los otros dos componentes.

Esta correspondencia geométrica codifica la simetría tripartita  $S_3$  del operador mediante la disposición de los tres componentes en los vértices del triángulo, separados por ángulos de  $2\pi/3$  radianes.

**Lema 3.2.6** (Verificación del módulo). *La estructura tripartita requiere que el producto de las tres magnitudes satisfaga  $|P| \cdot |C| \cdot |F| = 1/2$  para cumplir el Axioma 5 (módulo constante). Este producto se verifica mediante:*

$$|P| \cdot |C| \cdot |F| = \frac{1}{\sqrt{3}} \cdot 1 \cdot \frac{\sqrt{3}}{2} = \frac{\sqrt{3}}{2\sqrt{3}} = \frac{1}{2}$$



**Figura 2.** Eigenvalues of  $\hat{\Omega}$  and diagonal structure: (left) the three eigenvalues  $\lambda_k = \frac{1}{2}\omega^k$  for  $k \in \{0, 1, 2\}$  form an equilateral triangle inscribed in the critical circle  $|z| = 1/2$ , with phases separated by  $120^\circ$  ( $2\pi/3$  radians), encoding the  $S_3$  symmetry of the fundamental triangle (Proposición 3.2.5); (right) representation of the diagonal matrix  $\hat{\Omega} = \frac{1}{2} \text{diag}(1, \omega, \omega^2)$  where  $\omega = e^{2\pi i/3}$  is the primitive cube root of unity. The constant magnitude  $|\lambda_k| = 1/2$  for all  $k$  (phases:  $0^\circ$ ,  $120^\circ$ ,  $240^\circ$ ) verifies the product modulus  $|P| \cdot |C| \cdot |F| = 1/2$  required by Axiom 5 (3.1.6), as verified in Lema 3.2.6.

### 3.2.2 Fases de Componentes

**Definición 3.2.7** (Parámetro de escala). El parámetro de escala estructura la torre exponencial mediante escalamiento áureo:

$$\epsilon(\sigma) := \epsilon_0 \varphi^\sigma$$

donde  $\sigma \in \mathbb{R}$  es el nivel de escala y la constante de acoplamiento áureo es:

$$\epsilon_0 := \frac{\ln \varphi}{6\sqrt{3}} = 0.04630462945589891 \dots$$

<sup>52</sup> La propiedad  $\ln(ab) = \ln(a) + \ln(b)$  permite esta transformación, como se manifiesta en el isomorfismo logarítmico entre torres áurea y Mersenne (Teorema 9.4.1).

El factor  $6\sqrt{3}$  emerge del acoplamiento  $\varphi$ -*i*- $S_3$  (Definición 3.1.3, Definición 3.1.5): el orden del grupo de simetría  $S_3$  del triángulo equilátero es  $|S_3| = 6$ , y la altura del triángulo equilátero de lado unitario es  $h = \sqrt{3}/2$ , donde  $\sqrt{3}$  aparece como factor geométrico fundamental. El logaritmo  $\ln(\varphi)$  establece el isomorfismo entre estructura multiplicativa y aditiva<sup>52</sup>, permitiendo correspondencias estructurales entre dominios que operan bajo leyes diferentes.

**Definición 3.2.8** (Fases de componentes PCF). Para  $z \in \mathbb{C}, \sigma \in \mathbb{R}$ :

$$\phi_P(z, \sigma) := \arg(z) + \pi\varepsilon(\sigma)$$

$$\phi_C(z) := \arg(z) + \frac{2\pi}{3}$$

$$\phi_F(z) := \arg(z) + \frac{4\pi}{3}$$

**Proposición 3.2.9** (Separación angular de fases). *Las fases de C y F (ver Definición 3.2.8) están separadas por:*

$$\phi_F(z) - \phi_C(z) = \frac{4\pi}{3} - \frac{2\pi}{3} = \frac{2\pi}{3}$$

**Proposición 3.2.10** (Torre exponencial). *La función  $\varepsilon(\sigma)$  definida en Definición 3.2.7 satisface las siguientes propiedades para  $\sigma \in \mathbb{R}$ :*

1. Relación de recurrencia:  $\varepsilon(\sigma + 1) = \varphi \cdot \varepsilon(\sigma)$
2. Crecimiento exponencial:  $\lim_{\sigma \rightarrow \infty} \varepsilon(\sigma + 1)/\varepsilon(\sigma) = \varphi$

### 3.2.3 Componentes Completas y Fórmula de Fase

**Definición 3.2.11** (Componentes PCF).

$$P(z, \sigma) := \frac{1}{\sqrt{3}} e^{i[\arg(z) + \pi\varepsilon(\sigma)]} \quad (1)$$

$$C(z) := 1 \cdot e^{i[\arg(z) + 2\pi/3]} \quad (2)$$

$$F(z) := \frac{\sqrt{3}}{2} e^{i[\arg(z) + 4\pi/3]} \quad (3)$$

Los componentes  $P(z, \sigma), C(z), F(z)$  extienden funcionalmente sobre todo  $\mathbb{C}$  la estructura tripartita codificada algebraicamente en la matriz  $\hat{\Omega}$  (3.2.1). Esta realización funcional completa la coherencia multi-nivel formal establecida entre la codificación algebraica (matriz en  $\mathbb{C}^3$ ), la realización funcional (componentes sobre  $\mathbb{C}$ ), y la verificación geométrica (magnitudes que satisfacen

$|P| \cdot |C| \cdot |F| = 1/2$ , ver 3.2.6). Esta coherencia multi-nivel refleja la referencia distribuida (Axioma 4, 3.1.5): cada nivel provee restricciones independientes que se determinan mutuamente, permitiendo que el operador actúe coherentemente en múltiples dominios sin colapsar en contradicción.

**Definición 3.2.12** (Operador  $\Omega_{\text{PCF}}$ ). El operador  $\Omega_{\text{PCF}}$  se factoriza como producto de los tres componentes (Axioma 4, 3.1.5):

$$\Omega(z, \sigma) := P(z, \sigma) \cdot C(z) \cdot F(z)$$

**Proposición 3.2.13** (Aditividad de fase). *La multiplicación compleja del operador  $\Omega_{\text{PCF}} = P \cdot C \cdot F$  se traduce en aditividad de fases, manifestando el principio de transformación multiplicativo-aditiva (Definición 3.2.7):*

$$\begin{aligned} \arg(\Omega(z, \sigma)) &= \arg(P) + \arg(C) + \arg(F) \\ &= [\arg(z) + \pi\varepsilon(\sigma)] + [\arg(z) + 2\pi/3] + [\arg(z) + 4\pi/3] \\ &= 3\arg(z) + \pi\varepsilon(\sigma) + 2\pi \end{aligned}$$

donde las fases de los componentes están definidas en Definición 3.2.11.

Usando  $e^{2\pi i} = 1$ , la fase efectiva módulo  $2\pi$  es:

$$\arg(\Omega(z, \sigma)) \equiv 3\arg(z) + \pi\varepsilon(\sigma) \pmod{2\pi}$$

**Convención de notación:** En ecuaciones posteriores (especialmente Teorema 3.5.12 y Teorema 3.5.13, y secciones de acoplamiento), cuando escribimos  $\arg(\Omega)$  sin especificar, nos referimos a la fase efectiva  $3\arg(z) + \pi \cdot \varepsilon(\sigma)$ , o equivalentemente  $[\arg(\Omega) - 2\pi]$ . Cuando sea necesaria la fase total completa, lo indicaremos explícitamente.

**Corolario 3.2.14** (Módulo constante). *Por construcción,  $|\Omega(z, \sigma)| = 1/2$  para todo  $z \in \mathbb{C}$  y  $\sigma \in \mathbb{R}$ .*

Esta propiedad emerge directamente del producto de magnitudes tripartitas  $|P| \cdot |C| \cdot |F| = 1/2$  (ver 3.2.6) y establece el módulo constante como punto fijo funcional que ancla toda la construcción (Axioma 5, 3.1.6). El valor  $1/2$  actúa como invariante fundamental que conecta la estructura tripartita con propiedades globales del operador, incluyendo el lattice  $\Lambda_{\text{PCF}}$  y las correspondencias estructurales que desarrollaremos en secciones posteriores.

### 3.3 Geometría del Círculo en Espacio 3D

#### 3.3.1 Parametrización de la Curva Espacial

**Proposición 3.3.1** (Curva PCF). *Cuando un punto rota en el plano complejo  $z(t) = re^{it}$ , la coordenada ortogonal  $z = \varphi$  (Axioma 3, 3.1.3) genera la curva espacial:*

$$\vec{r}(t) = r \begin{pmatrix} \cos t \\ \sin t \\ \varphi \sin t \end{pmatrix}$$

**Corolario 3.3.2** (Naturaleza de la curva). *Esta curva se encuentra contenida en el plano  $z = \varphi y$  (no es un círculo plano en 3D), y sus proyecciones satisfacen:*

- *Proyección en  $(x, y)$ : círculo perfecto  $x^2 + y^2 = r^2$*
- *Proyección en  $(y, z)$ : elipse  $y^2 + z^2/\varphi^2 = r^2$*

**Proposición 3.3.3** (Módulo en espacio extendido 3D). *El módulo en el espacio extendido satisface:*

$$|\vec{r}| = \sqrt{x^2 + y^2(\varphi + 2)}$$

*Por cálculo directo.* Por definición del módulo y usando el acoplamiento  $z = \varphi y$  (Axioma 3, 3.1.3):

$$|\vec{r}|^2 = x^2 + y^2 + z^2 = x^2 + y^2 + \varphi^2 y^2 = x^2 + y^2(1 + \varphi^2)$$

Usando la identidad  $\varphi^2 = \varphi + 1$ :

$$|\vec{r}|^2 = x^2 + y^2(\varphi + 2)$$

Tomando la raíz cuadrada se obtiene el resultado. □

**Corolario 3.3.4** (Factor de amplificación áureo en dirección imaginaria). *En dirección puramente imaginaria ( $x = 0$ ), la razón entre módulo 3D y módulo 2D es:*

$$\frac{|\vec{r}|_{3D}}{|z|_{2D}} = \sqrt{1 + \varphi^2} = \sqrt{\varphi + 2} \approx 1.902$$

*Por cálculo directo.* Para  $x = 0$ , la proposición anterior establece  $|\vec{r}|_{3D} = |y| \sqrt{\varphi + 2}$  y  $|z|_{2D} = |y|$ , por tanto la razón es  $\sqrt{\varphi + 2} > 1$ , estableciendo amplificación del módulo por este factor áureo. □

### 3.3.2 Proyección Isométrica Natural

**Observación 3.3.5** (Ángulo óptimo de observación). Existe un ángulo desde el cual la curva espacial proyecta los tres fasores  $P, C, F$  con separación angular de  $120^\circ$ .

*Por preservación de separación angular.* Las fases de  $C$  y  $F$  (Definición 3.2.8) difieren por  $2\pi/3$ . La rotación acoplada de  $z = \varphi y$  preserva esta separación angular al proyectarse sobre cierto plano, revelando la geometría isométrica del triángulo equilátero (Definición 3.2.4). □

**Observación 3.3.6** (Origen de  $\sqrt{3}$ ). Las magnitudes  $|P| = 1/\sqrt{3}$  y  $|F| = \sqrt{3}/2$  emergen de esta geometría triangular proyectada.

### 3.3.3 Subvariedad en 3D

**Definición 3.3.7** (Subvariedad PCF). La restricción  $z = \varphi y$  con módulo constante  $|\Omega| = 1/2$  (Axioma 5, 3.1.6) define:

$$S_{\text{PCF}}^{3D} = \{(x, y, z) \in \mathbb{R}^3 : x^2 + y^2 + z^2 = 1/4, z = \varphi y\}$$

**Proposición 3.3.8** (Lattice 3D). *La periodicidad en  $(x, y)$  más el acoplamiento  $z = \varphi y$  genera:*

$$\Lambda_{3D} = \{(n_1, n_2, \varphi n_2) : n_1, n_2 \in \mathbb{Z}\} \subset \mathbb{R}^3$$

### 3.3.4 Visualización del Cilindro Base ( $\sigma = 0$ )

En esta sección usamos coordenadas cartesianas  $(x, y, z)$  para  $\mathbb{R}^3$ , donde  $z$  denota la coordenada vertical (altura). Esta convención no debe confundirse con la notación  $z = x + iy$  para puntos de  $\mathbb{C}$ ; véase la convención completa en la nota 3.1.4.

La extensión tridimensional del plano complejo mediante el acoplamiento  $z = \varphi y$  (Axioma 3, 3.1.3) introduce grados de libertad rotacionales en la representación geométrica. El sistema admite múltiples orientaciones espaciales equivalentes bajo transformaciones ortogonales (rotaciones y reflexiones) que preservan módulos  $\sqrt{x^2 + y^2} = 3$  para todos los vértices, separación angular de  $120^\circ$  entre vértices, el acoplamiento áureo  $z = \varphi y$  (o su equivalente bajo rotación), y la simetría  $S_3$  de estructura tripartita equiláteral.

En esta sección elegimos orientación con cilindro vertical (eje  $z$  hacia arriba, círculo en plano  $xy$ ) por conveniencia de notación estándar donde  $z$  denota altura. Sin embargo, para visualización isométrica y comprensión topológica del toro, orientaciones alternativas pueden ser más ilustrativas: el cilindro vertical es estándar y fácil de escribir, pero dificulta ver el círculo de frente; el cilindro horizontal muestra el círculo visible frontalmente y revela la topología toroidal con hueco central.

Todas estas orientaciones son transformaciones del mismo objeto geométrico—la elección es puramente pedagógica. Los diagramas que siguen usan orientación vertical para las coordenadas; véase la discusión sobre orientaciones alternativas arriba.

Para visualizar la estructura tripartita del operador  $\Omega_{\text{PCF}}$ , consideramos tres vértices de referencia dispuestos sobre un cilindro vertical de radio  $R_0 = 3$ . Esta construcción geométrica ilustrativa permite entender geométricamente las relaciones entre los tres componentes  $P, C, F$  definidos algebraicamente en Definición 3.2.11.

### 3.3.5 El Cilindro Vertical

**Definición 3.3.9** (Cilindro base). El cilindro base es el conjunto de puntos en  $\mathbb{R}^3$  que satisfacen:

$$C_0 = \{(x, y, z) \in \mathbb{R}^3 : x^2 + y^2 = 9, z \in \mathbb{R}\}$$

con radio horizontal fijo  $R_0 = 3$  y extensión infinita en la dirección vertical  $\pm z$  (altura).

### 3.3.6 Los Tres Vértices de Referencia

Colocamos tres vértices sobre la superficie del cilindro, separados angularmente por  $120^\circ$  ( $2\pi/3$  radianes):

1. **Vértice P (Past/Patrón):** Posición angular  $\theta_P = 0^\circ$

$$P_{\text{vert}} = (x_P, y_P, z_P) = (3, 0, 0)$$

donde la coordenada horizontal es  $x_P = 3$ ,  $y_P = 0$ , y la altura vertical es  $z_P = 0$ .

2. **Vértice C (Coherence):** Posición angular  $\theta_C = 120^\circ$

$$C_{\text{vert}} = (x_C, y_C, z_C) = (-1.5, 2.598, 4.204)$$

donde las coordenadas horizontales son  $x_C = 3 \cos(120^\circ) = -1.5$ ,  $y_C = 3 \sin(120^\circ) \approx 2.598$ , y la altura vertical es  $z_C = \varphi \cdot y_C \approx 4.204$ .

3. **Vértice F (Future/Flujo):** Posición angular  $\theta_F = 240^\circ$

$$F_{\text{vert}} = (x_F, y_F, z_F) = (-1.5, -2.598, -4.204)$$

donde las coordenadas horizontales son  $x_F = 3 \cos(240^\circ) = -1.5$ ,  $y_F = 3 \sin(240^\circ) \approx -2.598$ , y la altura vertical es  $z_F = \varphi \cdot y_F \approx -4.204$ .

**Proposición 3.3.10** (Verificación del cilindro). *Los tres vértices satisfacen la ecuación del cilindro en el plano horizontal:*

$$\sqrt{x^2 + y^2} = 3 \quad \text{para } P, C, F$$

Por cálculo directo.

$$\sqrt{x_P^2 + y_P^2} = \sqrt{3^2 + 0^2} = 3$$

$$\sqrt{x_C^2 + y_C^2} = \sqrt{(-1.5)^2 + (2.598)^2} = \sqrt{2.25 + 6.75} = 3$$

$$\sqrt{x_F^2 + y_F^2} = \sqrt{(-1.5)^2 + (-2.598)^2} = \sqrt{2.25 + 6.75} = 3$$

□

### 3.3.7 La Regla de Acoplamiento: Altura $z = \varphi y$

**Observación 3.3.11** (Acoplamiento altura-coordenada). Las alturas de los vértices no son producto del azar—obedecen la regla de acoplamiento establecida en el Axioma 3 (3.1.3):

$$z = \varphi y$$

donde “ $z$ ” denota la coordenada vertical (altura), mientras que “ $y$ ” denota la coordenada horizontal imaginaria.

Esta regla significa que la altura está acoplada a la dirección  $y$  mediante la razón áurea:

1. Si  $y > 0$  (dirección  $+y$ ): el vértice sube con pendiente  $\varphi \approx 1.618$

2. Si  $y < 0$  (dirección  $-y$ ): el vértice baja con pendiente  $\varphi$
3. Si  $y = 0$ : el vértice permanece en altura  $z = 0$  (plano  $xy$ )

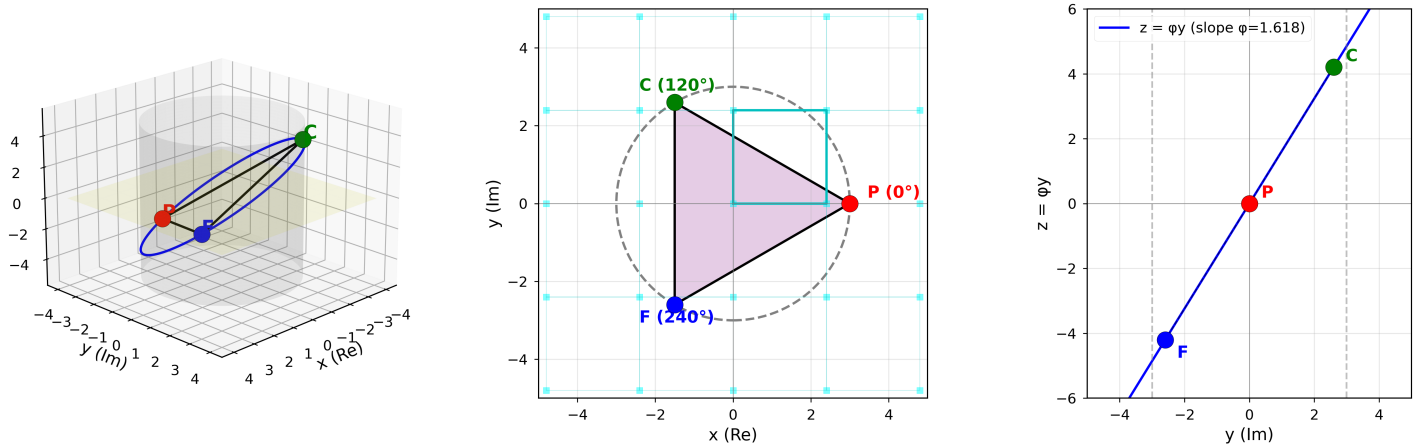
La verificación numérica confirma esta regla:

$$z_P = \varphi \cdot y_P = \varphi \cdot 0 = 0$$

$$z_C = \varphi \cdot y_C = 1.618 \times 2.598 = 4.204$$

$$z_F = \varphi \cdot y_F = 1.618 \times (-2.598) = -4.204$$

La consecuencia geométrica inmediata es que el triángulo formado por  $P, C, F$  no está plano en el plano  $xy$ . Solo el vértice  $P$  (donde  $y = 0$ ) toca el plano horizontal en altura  $z = 0$ . Los vértices  $C$  y  $F$  están elevados o hundidos según su coordenada  $y$ , formando una estructura tridimensional genuina.



**Figura 3.** Three orthogonal views of the PCF operator (see §3.3): (left) complete 3D view showing vertices  $P = (3, 0, 0)$ ,  $C = (-1.5, 2.598, 4.204)$ ,  $F = (-1.5, -2.598, -4.204)$  on the cylinder  $x^2 + y^2 = 9$  with helical curve  $z = \varphi y$  connecting the vertices; (center) top view ( $xy$  plane) with projection  $\pi(x, y, z) = x + iy$  showing perfect circle of radius  $R_0 = 3$  containing equilateral triangle  $P-C-F$  with vertices separated by  $120^\circ$  ( $2\pi/3$  radians) and square lattice  $\Lambda_{PCF} = \mathbb{Z} \cdot M_{PCF} \oplus \mathbb{Z} \cdot M_{PCF} \cdot i$  (Gauss type) appearing as rhombi; (right) lateral view ( $yz$  plane) with projection  $(y, z)$  showing golden coupling  $z = \varphi y$  as a line where  $P$  lies at origin ( $y = 0, z = 0$ ),  $C$  is elevated ( $y > 0 \rightarrow z > 0$ ), and  $F$  is depressed ( $y < 0 \rightarrow z < 0$ ). The lattice forms a square that appears as a rhombus in isometric perspective, while the operator's internal structure exhibits Eisenstein-type triangular symmetry with  $120^\circ$  separation, demonstrating the Gauss-Eisenstein duality unified by the golden ratio  $\varphi$  through the coupling  $z = \varphi y$  (3.1.3).

**Proposición 3.3.12** (Separación angular). *En proyección horizontal (vista cenital), los tres vértices están separados por ángulos de  $120^\circ$ :*

$$\angle(P \rightarrow C) = \angle(C \rightarrow F) = \angle(F \rightarrow P) = 120^\circ = \frac{2\pi}{3}$$

*Esta simetría triangular refleja la estructura del grupo  $S_3$  (Axioma PCF 2).*

### 3.3.8 Nota Crítica: Vértices vs. Componentes

Los vértices  $P_{\text{vert}}$ ,  $C_{\text{vert}}$ ,  $F_{\text{vert}}$  descritos en esta subsección son puntos de referencia geométrica en el espacio  $\mathbb{R}^3$  que ilustran la estructura tripartita del operador. No deben confundirse con los compo-

nentes del operador  $P(z, \sigma), C(z), F(z)$  definidos en 3.2.11, que son funciones complejas definidas para todo número complejo  $z \in \mathbb{C}$ :

$$P(z, \sigma) = \frac{1}{\sqrt{3}} e^{i[\arg(z) + \pi\epsilon(\sigma)]} \quad (\text{función sobre } \mathbb{C})$$

$$\text{vs. } P_{\text{vert}} = (3, 0, 0) \quad (\text{punto fijo en } \mathbb{R}^3)$$

Los vértices geométricos tienen radio horizontal  $\sqrt{x^2 + y^2} = 3$ , mientras que los componentes del operador tienen magnitudes  $|P| = 1/\sqrt{3}, |C| = 1, |F| = \sqrt{3}/2$  cuyo producto es exactamente  $1/2$ .

Esta construcción geométrica sirve para visualizar la disposición espacial tripartita, pero el operador  $\Omega_{\text{PCF}}$  opera funcionalmente sobre todo el plano complejo, no está confinado a estos tres puntos específicos.

### 3.3.9 Cierre Topológico: Del Cilindro al Toro

Los vértices geométricos establecidos anteriormente viven sobre el cilindro infinito  $C_0$ , pero esta estructura no captura completamente la topología natural del sistema. El acoplamiento  $z = \varphi y$  induce una estructura modular que requiere cierre topológico para revelar la geometría completa.

**Observación 3.3.13** (Separación vertical de vértices). Los vértices establecidos en §3.3.6 satisfacen:

$$P_{\text{vert}} = (3, 0, 0), \quad C_{\text{vert}} = (-1.5, 2.598, 4.204), \quad F_{\text{vert}} = (-1.5, -2.598, -4.204)$$

con coordenadas verticales:

$$z_P = 0, \quad z_C = \varphi \cdot 2.598 \approx 4.204, \quad z_F = \varphi \cdot (-2.598) \approx -4.204$$

La separación vertical entre vértices refleja el acoplamiento  $z = \varphi y$  del Axioma 3 (3.1.3), donde cada vértice ocupa una altura determinada por su coordenada imaginaria  $y$ .

El conjunto de puntos del cilindro base  $C_0$  (véase 3.3.9) que satisfacen el acoplamiento  $z = \varphi y$  forma el subconjunto  $\mathfrak{C}_0 = \{(x, y, z) \in C_0 : z = \varphi y\}$ .

**Proposición 3.3.14** (Ausencia de cierre topológico en el cilindro). *En el cilindro infinito  $\mathfrak{C}_0 \subset \mathbb{R}^3$ , los tres vértices:*

1. *Posan sobre la superficie cilíndrica  $x^2 + y^2 = R_0^2$*
2. *Forman un triángulo equilátero al proyectarse en el plano XY*
3. *No cierran topológicamente en la dirección vertical z*

*Por contradicción.* Supongamos que los tres vértices cierran topológicamente en la dirección vertical  $z$ . Entonces existiría un ciclo cerrado en  $\mathbb{R}^3$  que conecta  $P, C, F$  de manera continua.

El cilindro  $\mathfrak{C}_0$  tiene topología  $\mathfrak{C}_0 \cong S^1$  (círculo) parametrizado por  $\theta \in [0, 2\pi]$ . Sin embargo, la regla  $z = \varphi y$  (Axioma 3, 3.1.3) introduce dependencia funcional que separa los vértices:

$$|z_C - z_P| = 4.204, \quad |z_F - z_C| = 8.408, \quad |z_P - z_F| = 4.204$$

Al completar  $\theta = 2\pi$  regresamos a  $\theta = 0$ , pero los puntos  $P, C, F$  permanecen en alturas distintas ( $z_P = 0, z_C = 4.204, z_F = -4.204$ ), lo cual contradice la existencia de un ciclo cerrado continuo en  $\mathbb{R}^3$ . Por tanto, los vértices no cierran topológicamente en el cilindro.  $\square$

**Observación 3.3.15** (El toro como cierre topológico). Para que los tres vértices formen una estructura cerrada en  $\mathbb{R}^3$  (no solo en proyección al plano  $xy$ ), se requiere una superficie que:

- Contenga el cilindro  $C_0$  como subvariedad
- Permita cierre de la coordenada vertical  $z$  mediante identificación periódica
- Tenga topología compatible con las periodicidades del operador

El toro  $T_{PCF}$  satisface estas condiciones, proporcionando el cierre topológico natural donde los vértices forman un círculo cerrado en la sección transversal.

**Definición 3.3.16** (Parametrización del Toro PCF). El toro estándar con radio mayor  $R$  y radio menor  $r$  es:

$$T(R, r) := \left\{ (x, y, z) \in \mathbb{R}^3 : \left( \sqrt{x^2 + y^2} - R \right)^2 + z^2 = r^2 \right\}$$

El toro PCF se define con parámetros:

$$T_{PCF} := T(\alpha R_0, R_0) = T(7.5, 3)$$

donde  $\alpha = 2.5$  (factor de escala para visualización). La parametrización toroidal está dada por:

$$\Psi(u, v) = \begin{pmatrix} (R + r \cos v) \cos u \\ (R + r \cos v) \sin u \\ r \sin v \end{pmatrix}, \quad u, v \in [0, 2\pi)$$

donde  $u$  parametriza el círculo mayor (poloidal) y  $v$  parametriza la sección transversal (toroidal).

**Teorema 3.3.17** (Inmersión del cilindro). *Existe inmersión natural:*

$$\iota : C_0 \hookrightarrow T_{PCF}$$

definida por:

$$\iota(x_c, y_c, z_c) = \Psi(u_0, v), \quad \text{donde } v := \arctan 2(z_c, y_c), \quad u_0 := 0$$

donde  $(x_c, y_c, z_c)$  son coordenadas cartesianas en  $\mathbb{R}^3$  y  $z_c$  denota la coordenada vertical (altura), siguiendo la convención establecida en la Nota 3.1.4.

Por construcción. Para  $(x_c, y_c, z_c) \in C_0$ :

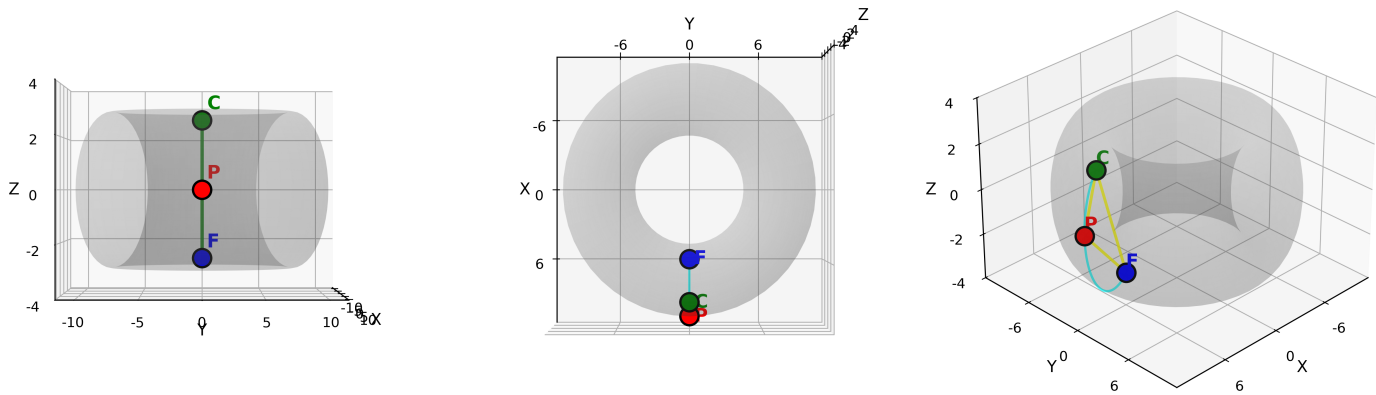
1. *Determinación única de  $v$ :* La condición  $z_c = \varphi y_c$  determina únicamente  $v = \arctan 2(z_c, y_c)$ .
2. *Aplicación al toro:* Fijando  $u_0 = 0$ , la aplicación  $\Psi(0, v)$  produce un punto en  $T_{PCF}$ .
3. *Continuidad:* La función  $\arctan 2$  es continua excepto en el origen, que no afecta a los vértices  $P, C, F$  con  $y_c \neq 0$  o  $z_c = 0$ .

Por tanto,  $\iota$  está bien definida y es continua. □

**Proposición 3.3.18** (Conjunto imagen de la inmersión). *El conjunto imagen de la inmersión  $\iota$  es:*

$$\iota(C_0) = \{\Psi(0, v) : v \in [0, 2\pi]\}$$

*que corresponde a la sección transversal frontal del toro—un círculo  $S^1$  de radio  $r_{menor} = R_0 = 3$  en el tubo toroidal, como se ilustra en la Figura 4.*



**Figura 4.** Three perspectives of the PCF torus  $T_{PCF}$  showing vertices  $P_t, C_t, F_t$  obtained via immersion  $\iota : \mathbb{G}_0 \hookrightarrow T_{PCF}$  (Teorema 3.3.17): (left) front view where vertices appear colinear vertically; (center) top view showing the circular section  $S^1$  of radius  $R_0 = 3$  (Proposición 3.3.18); (right) isometric view with curved paths along the torus surface. The vertices form an equilateral triangle in the XY projection (distances  $d(P, C) = d(C, F) = d(F, P) = 5.196$ ), but not in the 3D torus where the golden coupling  $z = \varphi y$  introduces metric distortion. Equilaterality emerges from the circle  $S^1$  in projection, while the torus preserves topology  $T^2 \cong S^1 \times S^1$  but distorts Euclidean distances, connecting to the lattice structure  $\mathbb{C}/\Lambda_{PCF} \cong T^2$  (Teorema 3.3.22).

**Teorema 3.3.19** (Cierre topológico de los vértices en el toro). *Mediante la aplicación  $\iota$ , los vértices  $P_{vert}, C_{vert}, F_{vert}$  se transforman en puntos:*

$$P_t := \iota(P_{vert}), \quad C_t := \iota(C_{vert}), \quad F_t := \iota(F_{vert})$$

*que satisfacen las siguientes propiedades:*

1. **Misma sección transversal:** Los tres puntos comparten la coordenada  $u = 0$  en la parametrización toroidal.
2. **Círculo cerrado:** Los tres puntos forman un círculo  $S^1$  de radio  $r_{menor} = 3$  centrado en  $(R_{mayor}, 0, 0) = (7.5, 0, 0)$ .
3. **Conexión topológica:** Los puntos están conectados como subvariedad cerrada en  $T_{PCF} \cong T^2$ .

*Por cálculo directo.* 1. La aplicación  $\iota$  se define con  $u_0 = 0$  fijo para todos los vértices, por lo que los tres puntos transformados comparten la misma coordenada  $u = 0$  en la parametrización toroidal.

2. Las coordenadas toroidales se calculan mediante:

$$v_P = \arctan 2(0, 0) = 0$$

$$v_C = \arctan 2(4.204, 2.598) \approx 1.0172 \text{ rad}$$

$$v_F = \arctan 2(-4.204, -2.598) \approx -2.1244 \text{ rad}$$

Los puntos resultantes son:

$$P_t = (10.5, 0, 0)$$

$$C_t = ((7.5 + 3 \cos v_C) \cos 0, 0, 3 \sin v_C) \approx (9.077, 0, 2.552)$$

$$F_t = ((7.5 + 3 \cos v_F) \cos 0, 0, 3 \sin v_F) \approx (5.923, 0, -2.552)$$

Verificando distancias al centro ( $R_{\text{mayor}}, 0, 0$ ) = (7.5, 0, 0):

$$|P_t - (7.5, 0, 0)| = |(3, 0, 0)| = 3$$

$$|C_t - (7.5, 0, 0)| = |(1.577, 0, 2.552)| = \sqrt{1.577^2 + 2.552^2} = 3$$

$$|F_t - (7.5, 0, 0)| = |(-1.577, 0, -2.552)| = 3$$

Por tanto, los tres puntos están exactamente sobre el círculo de radio 3.

3. Como  $v_P, v_C, v_F \in (-\pi, \pi]$ , los tres ángulos parametrizan posiciones distintas sobre el mismo círculo  $S^1$ . El círculo es cerrado por naturaleza, con  $v = -\pi$  identificado con  $v = \pi$ , estableciendo la conexión topológica como subvariedad cerrada en  $\mathcal{T}_{\text{PCF}} \cong T^2$ .

□

**Corolario 3.3.20** (Separación vertical cilíndrica versus igualdad radial toroidal). *En el cilindro infinito  $\mathfrak{G}_0$ :*

$$|z_C - z_P| = 4.204 \neq 0$$

indicando separación vertical. En el toro:

$$|P_t - \text{centro}| = |C_t - \text{centro}| = |F_t - \text{centro}| = 3$$

indicando que los tres vértices comparten la misma subvariedad circular  $S^1 \subset T^2$ .

**Proposición 3.3.21** (Topología natural). *El toro  $\mathcal{T}_{\text{PCF}}$  tiene topología:*

$$\mathcal{T}_{\text{PCF}} \cong T^2 = S^1 \times S^1$$

donde el primer  $S^1$  es el círculo mayor (coordenada  $u$ ) y el segundo  $S^1$  es el círculo menor—sección transversal (coordenada  $v$ ). Los vértices  $P_t, C_t, F_t$  habitan el segundo  $S^1$  en  $u = 0$ .

Esta topología emerge como cierre natural del cilindro, proporcionando el contexto estructural donde los vértices forman una subvariedad cerrada y conectando la geometría del cilindro con la topología del toro mediante la inmersión  $\iota$ .

**Teorema 3.3.22** (Proyección al lattice). *La inmersión del cilindro en el toro anticipa la estructura algebraica:*

$$\mathbb{C}/\Lambda_{\text{PCF}} \cong T^2$$

donde  $\Lambda_{\text{PCF}} = \mathbb{Z}M_{\text{PCF}} \oplus \mathbb{Z}(M_{\text{PCF}} \cdot i)$  es el lattice del operador (3.4.5).

La topología  $T^2$  aparece en dos lugares: geométricamente como superficie del toro en  $\mathbb{R}^3$ , y algebraicamente como espacio cociente del plano complejo por el lattice. Esta coincidencia no es

accidental—el toro geométrico es el espacio natural donde la estructura periódica del operador se visualiza antes de proyectarse al plano complejo.

**Proposición 3.3.23** (Torre auto-similar). *Para cada  $\sigma \in \mathbb{N}$ , definimos:*

$$\mathcal{T}_\sigma := \mathcal{T}(\alpha R_0 \varphi^\sigma, R_0 \varphi^\sigma)$$

*El escalamiento  $S_\sigma(x, y, z) = \varphi^\sigma(x, y, z)$  satisface:*

$$S_\sigma(C_0) = C_\sigma, \quad S_\sigma(\mathcal{T}_0) = \mathcal{T}_\sigma$$

*preservando la inmersión:*

$$\iota_\sigma : C_\sigma \hookrightarrow \mathcal{T}_\sigma$$

*Los vértices escalan coherentemente:  $P_{t,\sigma} = \varphi^\sigma P_{t,0}$ , y análogamente para  $C$  y  $F$ .*

**Teorema 3.3.24** (Síntesis: cilindro, toro y topología). *La estructura geométrica del operador  $\Omega_{PCF}$  satisface:*

1. *Cilindro: Los vértices  $P_{vert}, C_{vert}, F_{vert}$  viven en  $\mathbb{C}_0 = \{(x, y, z) : x^2 + y^2 = 9, z = \varphi y\}$*
2. *Proyección XY: Forman triángulo equilátero en el círculo  $|z| = 3$  del plano  $\mathbb{C}$*
3. *Toro: Se cierran topológicamente en  $\mathcal{T}_{PCF}$  formando círculo  $S^1$  en la sección transversal*
4. *Conexión algebraica: Esta topología  $T^2$  proyecta al espacio de módulos  $\mathcal{M}_{PCF} = \mathbb{C}/\Lambda_{PCF}$*

**Observación 3.3.25** (Separación conceptual entre vértices geométricos y componentes funcionales). Recordando §3.3.8:

- Los vértices geométricos  $P_t, C_t, F_t$  (radio 3 en el toro) son **representantes visuales**
- Los componentes funcionales  $P(z, \sigma), C(z), F(z)$  (magnitudes  $1/\sqrt{3}, 1, \sqrt{3}/2$ ) operan sobre todo  $\mathbb{C}$

El toro proporciona el espacio donde los representantes geométricos cierran topológicamente, anticipando la estructura del operador completo.

**Proposición 3.3.26** (Razones estructurales para el toro). *El toro  $\mathcal{T}_{PCF}$  no es elección arbitraria sino consecuencia de:*

- *Periodicidad angular:  $\theta \in [0, 2\pi]$  en el plano  $(x, y)$*
- *Acoplamiento áureo:  $z = \varphi y$  relaciona coordenadas*
- *Cierre vertical: Necesidad de cerrar la dirección  $z$  en subvariedad compacta*
- *Topología  $T^2$ : Única topología compatible con lattice  $\Lambda_{PCF}$  en  $\mathbb{C}$*

*El cilindro muestra dónde están los vértices con la regla  $z = \varphi y$ . El toro muestra cómo se conectan topológicamente en una subvariedad cerrada  $S^1 \subset T^2$ .*

### 3.3.10 Isomorfismo Bidireccional: $\mathbb{C} \leftrightarrow \mathbb{R}^3$

**Teorema 3.3.27** (Correspondencia biunívoca mediante acoplamiento áureo). *La regla  $z = \varphi y$  (Axioma 3) establece una correspondencia biunívoca entre el plano complejo y el espacio de configuración 3D.*

Por construcción. Se definen dos aplicaciones:

**Extensión  $\psi : \mathbb{C} \rightarrow \mathbb{R}^3$ :**

$$\psi(x + iy) = (x, y, \varphi y)$$

**Proyección  $\pi : \mathbb{R}^3 \rightarrow \mathbb{C}$ :**

$$\pi(x, y, z) = x + iy \quad (\text{válida cuando } z = \varphi y)$$

Estas aplicaciones satisfacen:

$$\pi \circ \psi = \text{id}_{\mathbb{C}}, \quad \psi \circ \pi|_{S_{PCF}} = \text{id}_{S_{PCF}}$$

donde  $S_{PCF} = \{(x, y, \varphi y) : x, y \in \mathbb{R}\}$ .

*Verificación de  $\pi \circ \psi = \text{id}_{\mathbb{C}}$ :* Para todo  $x + iy \in \mathbb{C}$ , se tiene

$$\pi(\psi(x + iy)) = \pi(x, y, \varphi y) = x + iy,$$

lo cual establece la identidad sobre  $\mathbb{C}$ .

*Verificación de  $\psi \circ \pi|_{S_{PCF}} = \text{id}_{S_{PCF}}$ :* Para  $(x, y, z) \in S_{PCF}$ , se obtiene

$$\psi(\pi(x, y, z)) = \psi(x + iy) = (x, y, \varphi y).$$

Dado que  $z = \varphi y$  por definición de  $S_{PCF}$ , se concluye que

$$(x, y, \varphi y) = (x, y, z)$$

estableciendo la identidad sobre  $S_{PCF}$ .

Por tanto,  $\psi$  y  $\pi$  son mutuamente inversas en sus respectivos dominios. □

**Corolario 3.3.28** (Preservación bidireccional de información). *Las aplicaciones  $\psi$  y  $\pi$  preservan información en ambas direcciones:*

1. **Dirección 2D → 3D:** Dado  $z = x + iy \in \mathbb{C}$ , la extensión  $\psi$  produce  $(x, y, \varphi y) \in \mathbb{R}^3$ , preservando toda la información del plano complejo en el espacio 3D.
2. **Dirección 3D → 2D:** Dado  $(x, y, z) \in S_{PCF}$  con  $z = \varphi y$ , la proyección  $\pi$  produce  $x + iy \in \mathbb{C}$ , recuperando completamente el plano complejo desde  $S_{PCF}$ .

No hay pérdida de información en ninguna dirección.

**Proposición 3.3.29** (Aplicación a los vértices). *Aplicando las transformaciones  $\psi$  y  $\pi$  a los vértices:*

**Extensión 2D → 3D:**

$$\begin{aligned} z = 3 &\xrightarrow{\psi} (3, 0, 0) = P_{\text{vert}} \\ z = -\frac{3}{2} + i \frac{3\sqrt{3}}{2} &\xrightarrow{\psi} (-1.5, 2.598, 4.204) = C_{\text{vert}} \\ z = -\frac{3}{2} - i \frac{3\sqrt{3}}{2} &\xrightarrow{\psi} (-1.5, -2.598, -4.204) = F_{\text{vert}} \end{aligned}$$

**Proyección 3D → 2D:**

$$\begin{aligned} P_{\text{vert}} &= (3, 0, 0) \xrightarrow{\pi} 3 \\ C_{\text{vert}} &= (-1.5, 2.598, 4.204) \xrightarrow{\pi} -1.5 + 2.598i \\ F_{\text{vert}} &= (-1.5, -2.598, -4.204) \xrightarrow{\pi} -1.5 - 2.598i \end{aligned}$$

Por cálculo directo. Se verifica que  $z_C = \varphi \cdot 2.598 = 4.204$  y  $z_F = \varphi \cdot (-2.598) = -4.204$ , confirmando la regla de acoplamiento  $z = \varphi y$  del Axioma 3 (3.1.3).  $\square$

**Teorema 3.3.30** (Dimensión efectiva). *El espacio  $S_{\text{PCF}}$  tiene:*

- *Dimensión aparente: 3 (coordenadas  $x, y, z$ )*
- *Dimensión efectiva: 2 ( $z$  determinada por  $y$ )*
- *Grados de libertad: 2 ( $x$  y  $y$  independientes)*

Por tanto  $S_{\text{PCF}} \cong \mathbb{R}^2 \cong \mathbb{C}$ .

**Proposición 3.3.31** (Preservación de estructura). *El isomorfismo preserva:*

1. *Módulo radial:  $|z| = \sqrt{x^2 + y^2}$  en ambas direcciones*
2. *Ángulos:  $\arg(z) = \arctan 2(y, x)$  consistente en ambas direcciones*
3. *Triángulo equilátero: Separación  $120^\circ$  en  $\mathbb{C} \leftrightarrow$  estructura 3D con  $z = \varphi y$  (ver Definición 3.2.4)*

**Observación 3.3.32** (Coherencia del sistema). La bidireccionalidad establecida en Teorema 3.3.27 y Corolario 3.3.28 explica:

1. El toro  $\mathcal{T}_{\text{PCF}}$  (topológicamente 2D, geométricamente en  $\mathbb{R}^3$ ) se representa completamente en  $\mathbb{C}$  mediante el isomorfismo  $\mathbb{C} \cong S_{\text{PCF}} \cong \mathcal{T}_{\text{PCF}}$  (Teorema 3.3.30).
2. Los componentes  $P(z, \sigma), C(z), F(z)$  operan sobre  $\mathbb{C}$  con acceso completo a la geometría 3D a través del acoplamiento  $z = \varphi y$  (Axioma 3.1.3).
3. El lattice  $\Lambda_{\text{PCF}}$  que construiremos en §3.4 captura la estructura completa del toro.

El acoplamiento  $z = \varphi y$  establece que el espacio 3D siempre tuvo solo 2 grados de libertad independientes. La geometría del toro en  $\mathbb{R}^3$  y la estructura algebraica en  $\mathbb{C}$  son dos representaciones isomórficas del mismo objeto matemático.

Con el isomorfismo  $\mathbb{C} \cong S_{\text{PCF}} \cong T_{\text{PCF}}$  establecido (Teorema 3.3.30), procedemos a construir el lattice  $\Lambda_{\text{PCF}}$  en el plano complejo, sabiendo que captura toda la información del toro tridimensional. La topología  $T^2$  del toro reaparecerá como la topología natural del espacio de módulos  $\mathcal{M}_{\text{PCF}} = \mathbb{C}/\Lambda_{\text{PCF}}$ , conectando visualización geométrica con estructura algebraica.

### 3.4 Proyección al Plano Complejo y Estructura del Lattice

**Objetivo de esta sección:** Mostrar cómo el operador  $\Omega(z, \sigma)$ , con estructura tripartita (tipo Eisenstein,  $120^\circ$ ), genera un lattice rectangular (tipo Gauss,  $90^\circ$ ) en  $\mathbb{C}$ , y establecer el espacio de módulos  $\mathcal{M}_{\text{PCF}} = \mathbb{C}/\Lambda_{\text{PCF}}$ .

#### 3.4.1 Proyección Vertical

**Definición 3.4.1** (Proyección vertical al plano complejo). El mapa  $\pi : \mathbb{R}^3 \rightarrow \mathbb{C}$  dado por:

$$\pi(x, y, z) = x + iy$$

proyecta la geometría 3D del toro al plano complejo.

**Proposición 3.4.2** (Vértices proyectados). *La proyección de los vértices del cilindro es:*

$$\pi(P_{\text{vert}}) = 3, \quad \pi(C_{\text{vert}}) = -\frac{3}{2} + i\frac{3\sqrt{3}}{2}, \quad \pi(F_{\text{vert}}) = -\frac{3}{2} - i\frac{3\sqrt{3}}{2}$$

formando un triángulo equilátero en el círculo  $|z| = 3$ .

**Observación 3.4.3** (Proyección angular). La proyección colapsa la coordenada  $z$ , pero preserva la estructura angular  $120^\circ$  en el plano complejo.

#### 3.4.2 Periodicidades y Generación del Lattice

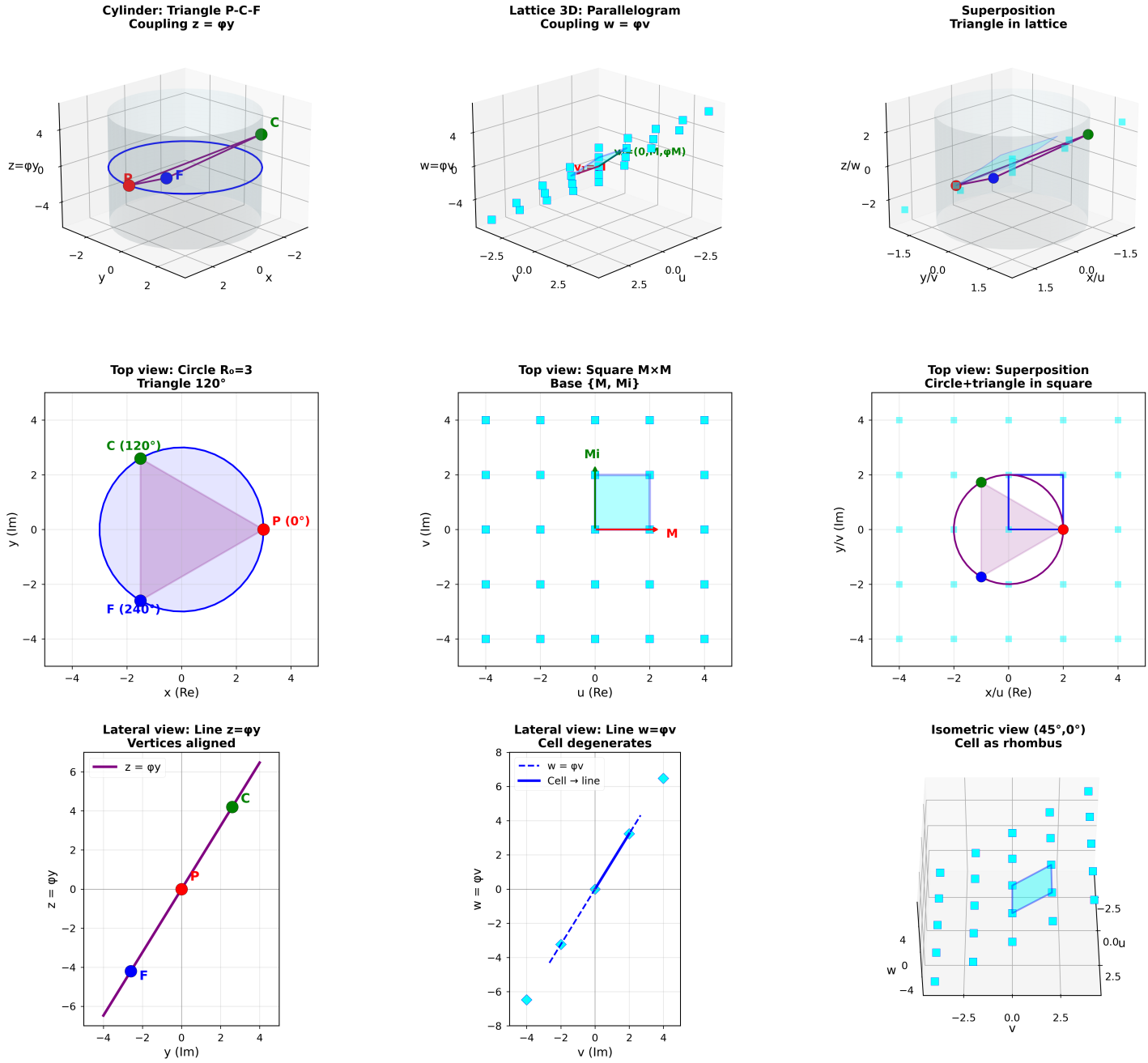
**Teorema 3.4.4** (Períodos del operador). *El operador  $\Omega_{\text{PCF}}$  exhibe dos periodicidades independientes:*

1. **Periodicidad de fase:**  $\arg(\Omega(z, \sigma)) = 3\arg(z) + \pi\varepsilon(\sigma) + 2\pi$
2. **Periodicidad temporal:**  $\tau(\sigma)\varphi^\sigma = M_{\text{PCF}}$ , donde  $M_{\text{PCF}} = \pi/\varepsilon_0$

**Definición 3.4.5** (Lattice PCF). El lattice generado por el operador es:

$$\Lambda_{\text{PCF}} := \mathbb{Z}M_{\text{PCF}} \oplus \mathbb{Z}(M_{\text{PCF}} \cdot i) = \{mM_{\text{PCF}} + nM_{\text{PCF}} \cdot i : m, n \in \mathbb{Z}\}$$

donde  $M_{\text{PCF}} = \pi/\varepsilon_0 = 6\sqrt{3}\pi/\ln\varphi \approx 67.846189258071644 \dots$  es el módulo topológico que sintetiza la estructura periódica emergente de las rotaciones de fase acumuladas del operador. Geométricamente,  $M_{\text{PCF}}$  representa el período fundamental en el plano complejo que estructura el lattice; topológicamente, clasifica el toro  $\mathbb{C}/\Lambda_{\text{PCF}} \cong T^2$  (Corolario 3.4.7).



**Figura 5.** Connection between cylinder (operator, Eisenstein structure) and lattice (space, Gauss structure) through the golden coupling  $\varphi$ . **Row 1 (3D structures):** (left) cylinder  $C_0$  with vertices  $P, C, F$  forming an equilateral triangle on the circle  $x^2 + y^2 = R_0^2 = 9$  with coupling  $z = \varphi y$  (Definición 3.3.9); (center) 3D lattice  $\Lambda_{PCF}$  with fundamental cell (parallelogram) defined by base vectors  $v_1 = M_{PCF}$  and  $v_2 = (0, M_{PCF}, \varphi M_{PCF})$  with coupling  $w = \varphi v$  (Proposición 3.3.8, Definición 3.4.5); (right) superposition showing the triangle (operator) embedded within the lattice (space). **Row 2 (top views):** (left) top view of cylinder showing circle of radius  $R_0 = 3$  with inscribed equilateral triangle (Eisenstein structure, 120° separation); (center) top view of lattice showing square fundamental cell  $M_{PCF} \times M_{PCF}$  with base  $\{M_{PCF}, M_{PCF} \cdot i\}$  (Gauss structure, 90° separation); (right) superposition showing circle+triangle (operator) within square (lattice). **Row 3 (lateral and isometric views):** (left) lateral view of cylinder (yz plane) showing vertices aligned on the line  $z = \varphi y$ ; (center) lateral view of lattice (vw plane) showing points aligned on the line  $w = \varphi v$  (same coupling, same view); (right) isometric view ( $45^\circ, 0^\circ$ ) where the fundamental cell appears as a rhombus (projected parallelogram). The golden coupling  $\varphi$  unifies both structures: the cylinder (Eisenstein, 120°) and the lattice (Gauss, 90°) share the same coupling rule  $z = \varphi y$  and  $w = \varphi v$ , connecting the operator geometry with the space discretization (Teorema 3.3.17, Teorema 3.3.22, Teorema 3.4.6). The invariant  $|\Omega| = 1/2$  mediates between both structures, establishing coherence between the triangular operator and the square lattice.

**Teorema 3.4.6** (Emergencia del lattice desde periodicidades del operador). *Las periodicidades del operador inducen las identificaciones:*

$$z \sim z + M_{PCF}, \quad z \sim z + M_{PCF} \cdot i$$

que definen  $\Lambda_{PCF}$ .

Por construcción. Se verifica que:

1. **Período fundamental:** La ecuación de acoplamiento  $\tau(\sigma)\varphi^\sigma = \text{constante}$  determina el período temporal fundamental  $M_{PCF} = \pi/\varepsilon_0$ .
2. **Direcciones independientes:** La estructura compleja de  $\mathbb{C} = \mathbb{R}^2$  con base  $\{1, i\}$  introduce dos direcciones independientes sobre  $\mathbb{R}$ .
3. **Identificaciones:** Las funciones periódicas respecto al operador satisfacen:

$$f(z + M_{PCF}) = f(z), \quad f(z + M_{PCF} \cdot i) = f(z)$$

4. **Lattice minimal:**  $\Lambda_{PCF}$  es el lattice minimal (subgrupo discreto) que respeta estas identificaciones.

□

**Corolario 3.4.7** (Periodicidades que generan el toro). *El espacio cociente es:*

$$\mathbb{C}/\Lambda_{PCF} \cong T^2$$

topológicamente un toro.

### 3.4.3 Dualidad Estructural: Eisenstein y Gauss

**Observación 3.4.8** (Dos estructuras lattice en  $\mathbb{C}$ ). El plano complejo admite dos estructuras lattice canónicas:

Gauss ( $\mathbb{Z}[i]$ ):

- Base:  $\{1, i\}$
- Ángulo:  $90^\circ$
- Geometría: cuadrado

Eisenstein ( $\mathbb{Z}[\omega]$ ):

- Base:  $\{1, \omega\}$  donde  $\omega = e^{2\pi i/3}$
- Ángulo:  $120^\circ$
- Geometría: hexagonal

**Teorema 3.4.9** (Dualidad entre estructuras Eisenstein y Gauss). *El operador  $\Omega_{PCF}$  mantiene coherencia entre ambas estructuras mediante el invariante  $|\Omega| = 1/2$ :*

Aspecto	Tipo Eisenstein	Tipo Gauss
Componentes $P, C, F$	Separación $2\pi/3 (\omega)$	—
Lattice $\Lambda_{PCF}$	—	Base $\{M, Mi\}$
Invariante	$ \Omega  = 1/2$	$ \Omega  = 1/2$

Interpretación:  $\Omega$  es generador tripartito (estructura  $\omega$ ,  $120^\circ$ ) que induce lattice rectangular (estructura  $i$ ,  $90^\circ$ ).

**Proposición 3.4.10** (Mecanismo de mediación por  $\varphi$ ). La razón áurea conecta ambas estructuras mediante el acoplamiento  $z = \varphi y$  (Axioma 3, 3.1.3):

- Entrada: simetría tripartita ( $\omega^3 = 1$ )
- Salida: lattice rectangular ( $i^2 = -1$ )
- Mediador:  $\varphi^2 = \varphi + 1$

**Observación 3.4.11** (Unificación de estructuras lattice duales). El operador  $\Omega_{PCF}$  unifica exitosamente estructuras tipo Eisenstein (separación angular  $2\pi/3$ ) y tipo Gauss (lattice rectangular) en el mismo espacio  $\mathbb{C}$ . Esta coexistencia se garantiza mediante el invariante constante  $|\Omega| = 1/2$  (Corolario 3.2.14) y el mecanismo de mediación por  $\varphi$  (Proposición 3.4.10), estableciendo coherencia estructural entre ambas representaciones (Teorema 3.4.9).

#### 3.4.4 Espacio de Módulos

**Definición 3.4.12** (Espacio de módulos PCF). El espacio de módulos es:

$$\mathcal{M}_{PCF} := \mathbb{C}/\Lambda_{PCF}$$

**Proposición 3.4.13** (Topología del espacio de módulos).  $\mathcal{M}_{PCF}$  tiene topología de toro  $T^2 = S^1 \times S^1$ , consistente con §3.3.9.

**Observación 3.4.14** (Conexión con §2). El espacio  $\mathcal{M}_{PCF}$  comparte estructura topológica con el espacio de módulos de curvas elípticas:

$$\mathcal{M}_{curvas} = \mathbb{H}/\text{PSL}_2(\mathbb{Z})$$

Ambos son espacios cocientes con topología  $T^2$ .

**Teorema 3.4.15** (Parámetro modular). El lattice  $\Lambda_{PCF}$  tiene parámetro modular:

$$\tau_{PCF} := \frac{M_{PCF} \cdot i}{M_{PCF}} = i$$

indicando lattice rectangular (no cuadrado, no hexagonal).

**Observación 3.4.16** ( $\tau = i$ : de la clasificación general a la dualidad preservada). El valor  $\tau = i$  es especial en la clasificación de lattices. Los parámetros modulares caracterizan diferentes estructuras lattice:

- $\tau = i$ : lattice de Gauss (simetría cuadrada  $\mathbb{Z}_4$ )
- $\tau = \omega$ : lattice de Eisenstein (simetría hexagonal  $\mathbb{Z}_6$ )
- $\tau_{PCF} = i$ : lattice rectangular con simetría  $\mathbb{Z}_4$  en el operador  $\Omega_{PCF}$

La elección  $\tau_{PCF} = i$  en el operador  $\Omega_{PCF}$  privilegia estructura rectangular sobre hexagonal, aunque ambas coexisten virtualmente en el invariante  $|\Omega| = 1/2$ .

### 3.4.5 Síntesis: Proyección, Lattice y Coherencia Dual

**Teorema 3.4.17** (Teorema Principal: Proyección y estructura lattice). *El operador  $\Omega_{PCF}$  satisface:*

1. **Proyección:**  $\pi : \mathcal{T}_{PCF} \rightarrow \mathbb{C}$  colapsa geometría 3D preservando estructura angular
2. **Lattice:**  $\Lambda_{PCF} = \mathbb{Z}M \oplus \mathbb{Z}Mi$  (suma directa) generando  $T^2 = S^1 \times S^1$  (producto cartesiano) mediante periodicidades del operador
3. **Dualidad:** Componentes tripartitas ( $\omega$ ) coexisten con lattice rectangular ( $i$ )
4. **Invariante:**  $|\Omega(z, \sigma)| = 1/2$  constante bajo ambas estructuras
5. **Espacio de módulos:**  $\mathcal{M}_{PCF} = \mathbb{C}/\Lambda_{PCF} \cong T^2$

*El operador no elige entre Eisenstein o Gauss—mantiene coherencia entre ambos vía el invariante  $|\Omega| = 1/2$  y la mediación de  $\varphi$ .*

## 3.5 Dimensión $\sigma$ : Torre de Escalas

La construcción del operador hasta ahora ha usado un parámetro  $\sigma$  sin explicar su naturaleza geométrica. En esta sección formalizamos  $\sigma$  como coordenada de escala que parametriza una familia infinita de funciones.

**Observación 3.5.1** (Naturaleza del parámetro  $\sigma$ ). El parámetro  $\sigma \in \mathbb{R}$  no representa una dimensión espacial adicional (no existe un “eje  $\sigma$ ” separado de  $x, y, z$ ). En cambio,  $\sigma$  es una coordenada de escala que parametriza una familia infinita de funciones:

$$\{\Omega(z, \sigma) : \mathbb{C} \rightarrow \mathbb{C}\}_{\sigma \in \mathbb{R}}$$

Cada valor fijo de  $\sigma$  especifica una función diferente sobre el mismo dominio  $\mathbb{C}$ . Esta familia admite dos interpretaciones equivalentes:

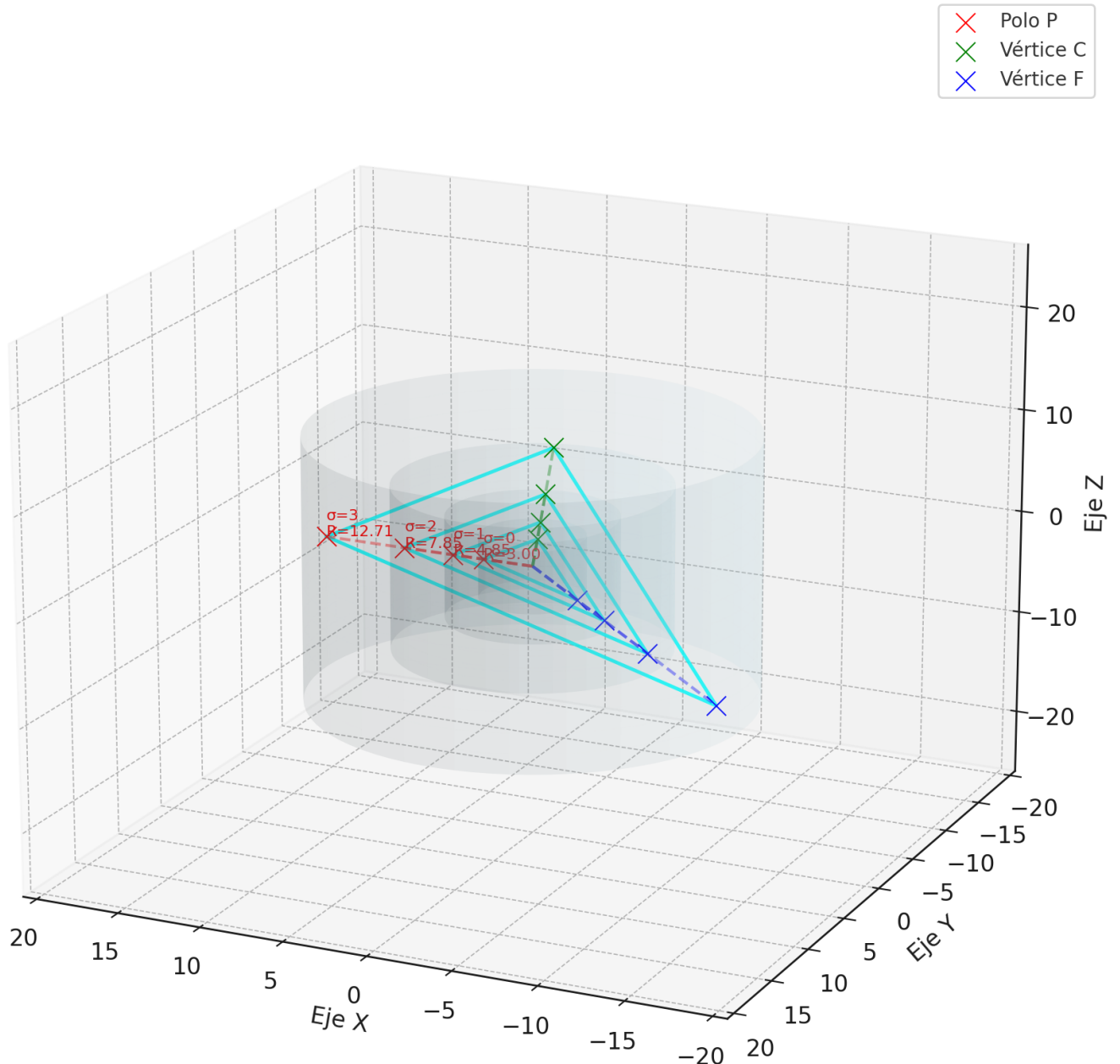
1. Geométrica: Cada  $\sigma$  define un círculo en  $\mathbb{C}$  con radio efectivo  $R_\sigma = R_0 \varphi^\sigma$
2. Analítica: Cada  $\sigma$  define un espacio de funciones  $F_\sigma$  con dispersión y frecuencia características

El parámetro  $\sigma$  actúa como lente de observación o nivel de magnificación que permite explorar la estructura PCF a diferentes escalas, manteniendo la propiedad fundamental  $|\Omega(z, \sigma)| = 1/2$  constante para todo  $\sigma$ .

Contraste con extensiones dimensionales previas: en §3.3 (Axioma PCF 3), introdujimos  $z = \varphi y$  como coordenada espacial adicional en  $\mathbb{R}^3$ ; aquí,  $\sigma$  no añade dimensión espacial, sino estructura escalar sobre el mismo espacio.

Esta distinción es crucial: el operador habita una familia de funciones  $\mathbb{C} \rightarrow \mathbb{C}$  (plano complejo  $\times$  escala), no  $\mathbb{C} \times \mathbb{R} \times \mathbb{R}$  (tres dimensiones espaciales).

### Relación geométrica P-C-F para los primeros 4 niveles $\sigma$



**Figura 6.** Relación geométrica P-C-F para los primeros 4 niveles  $\sigma$ : puntos P (rojos), C (verdes) y F (azules) forman triángulos que escalan radialmente con  $\sigma$  (radios  $R_\sigma = 3.00, 4.8, 7.8, 12.71$ ), contenidos en cilindros concéntricos translúcidos. Las líneas cian conectan puntos dentro de cada nivel; las líneas punteadas muestran la progresión de cada tipo de punto entre niveles, revelando la estructura autosimilar del operador.

### 3.5.1 Familia de Círculos sin Ejes Adicionales

**Observación 3.5.2** (Círculo base con parámetro). El círculo de §3.3 tiene radio fijo  $r$ . El operador habita una familia infinita parametrizada por escala.

**Definición 3.5.3** (Familia paramétrica). La familia de curvas espaciales es:

$$C_\sigma = \left\{ \vec{r}_\sigma(t) = r_0 \varphi^\sigma \begin{pmatrix} \cos t \\ \sin t \\ \varphi \sin t \end{pmatrix} : \sigma \in \mathbb{R} \right\}$$

**Proposición 3.5.4** ( $\sigma$  como coordenada escalar pura). *La coordenada  $\sigma$  parametriza escalas sin requerir ejes espaciales  $(x_\sigma, y_\sigma)$  adicionales. Cada valor de  $\sigma$  especifica el radio de la curva espacial en el mismo espacio  $(x, y, z)$ .*

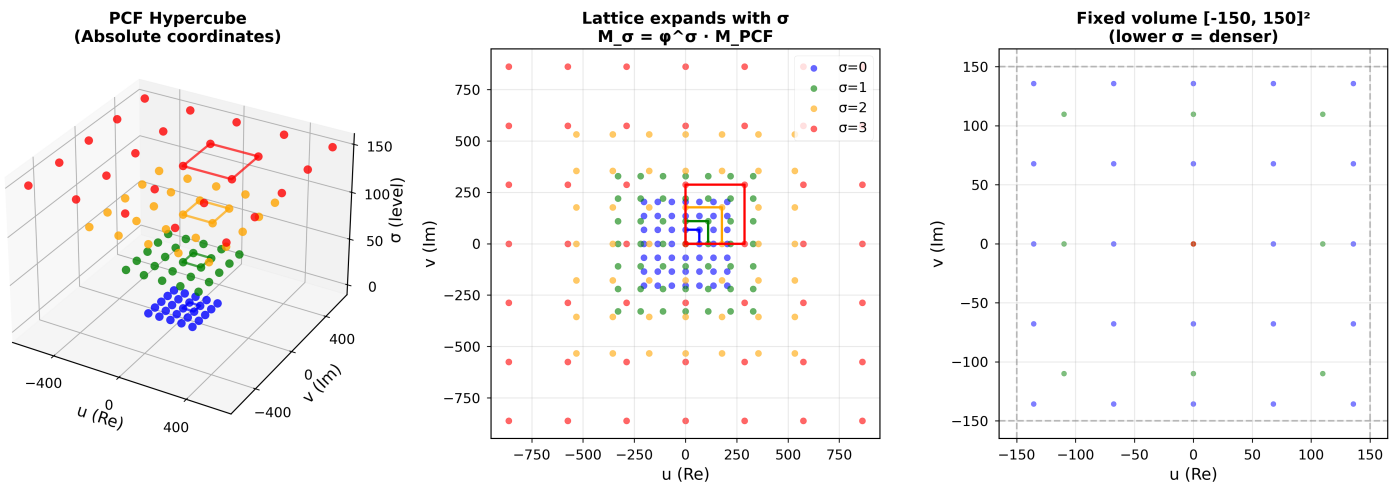
### 3.5.2 Lattice Vertical Multiplicativo

**Proposición 3.5.5** (Estructura discreta del lattice vertical). *Para  $\sigma \in \mathbb{Z}$ , los radios forman:*

$$\Lambda_{\text{vertical}} = \{r_0 \varphi^n : n \in \mathbb{Z}\}$$

*En espacio logarítmico:*

$$\ln(\Lambda_{\text{vertical}}) = \ln(r_0) + \ln(\varphi)\mathbb{Z}$$

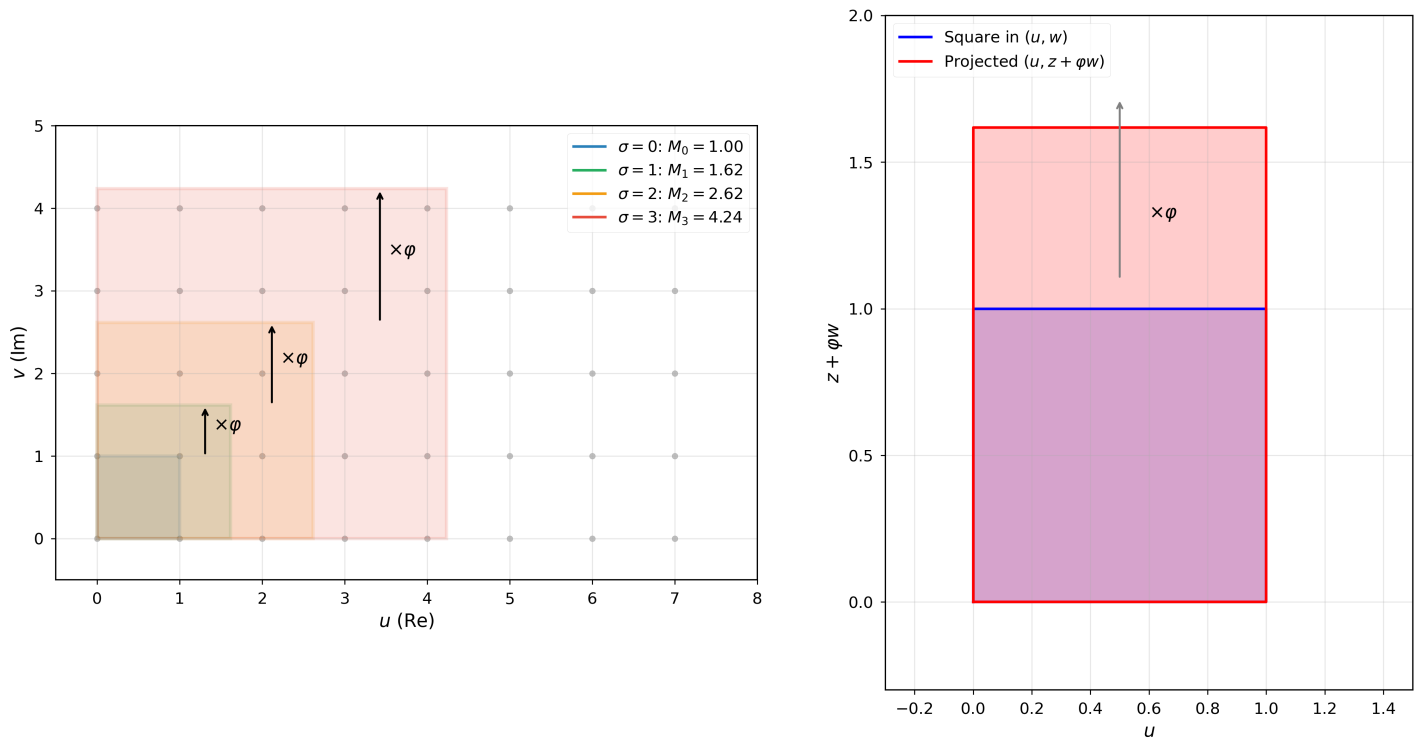


**Figura 7.** Scaling of the PCF lattice  $\Lambda_{\text{PCF}}$  across scale levels  $\sigma \in \{0, 1, 2, 3\}$  with module  $M_\sigma = \varphi^\sigma \cdot M_{\text{PCF}}$  (Definición 3.6.3, Proposición 3.6.4). **(Left)** 3D view  $(u, v, \sigma)$  with  $\sigma$  as vertical axis showing fundamental cells of side  $M_\sigma$  at each level. **(Center)** 2D projection: lattice expands with  $\sigma$  (cells grow as  $\varphi^{2\sigma} \cdot M_{\text{PCF}}^2$ ), lower  $\sigma$  yields denser lattices. **(Right)** Fixed volume  $[-150, 150]^2$ : density decreases with  $\sigma$  (more points at lower levels). The hypercube structure has coordinates  $(u, v, w, \sigma)$  where  $w = \varphi \cdot v$  and  $\sigma$  parametrizes the scale tower, connecting to  $\Lambda_{\text{vertical}} = \{r_0 \varphi^n : n \in \mathbb{Z}\}$  (Proposición 3.5.5) and operator navigation (Teorema 3.6.7).

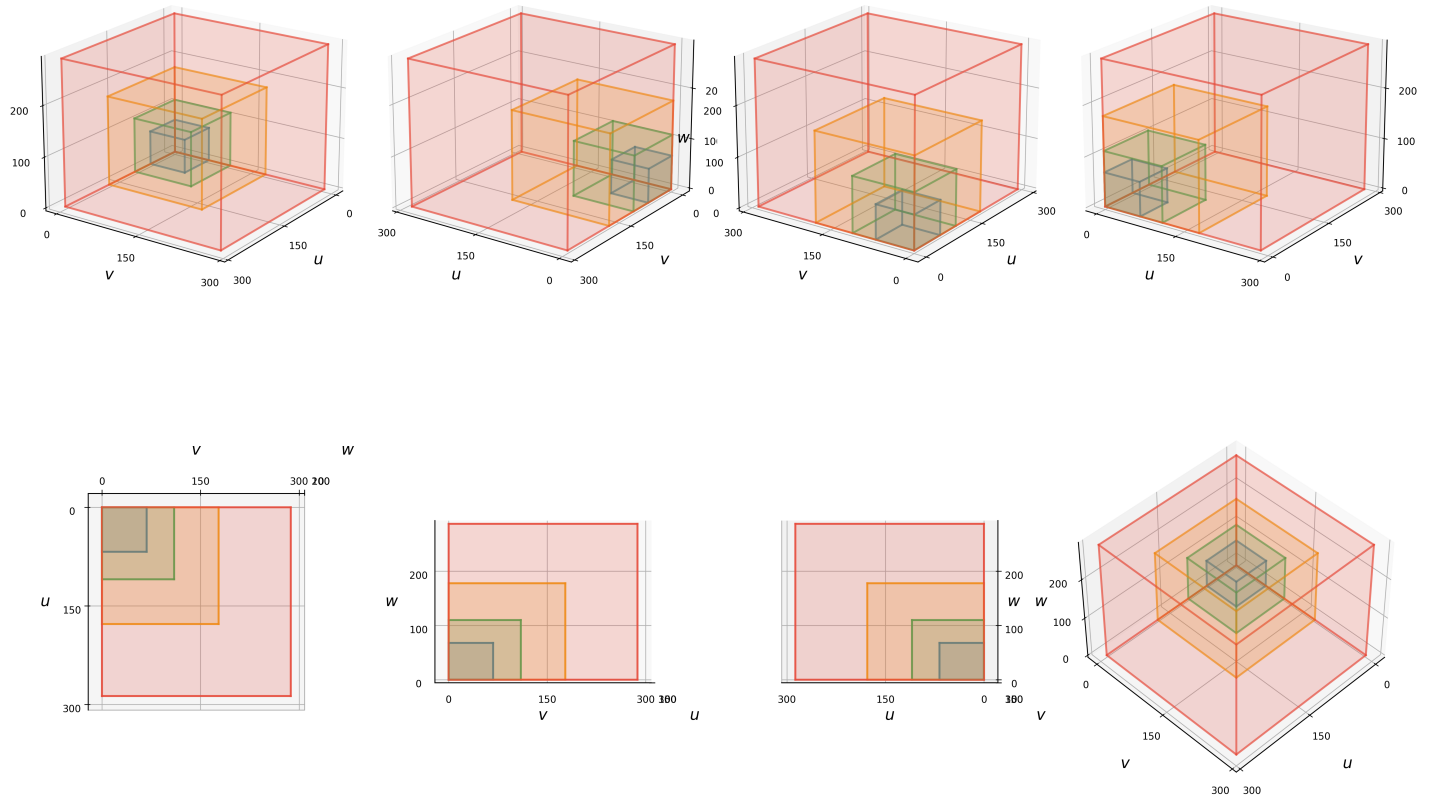
**Observación 3.5.6** (Comparación con lattices clásicos).

Lattice	Dimensión	Operación	Generador	Espacio
$\mathbb{Z}[i]$	2D	Suma	$\{1, i\}$	$\mathbb{C}$
$\Lambda_{3D}$	3D	Suma	$\{(1, 0, 0), (0, 1, \varphi)\}$	$\mathbb{R}^3$
$\Lambda_{\text{vertical}}$	1D	Multiplicación	$\{\varphi\}$	$\mathbb{R}_+$

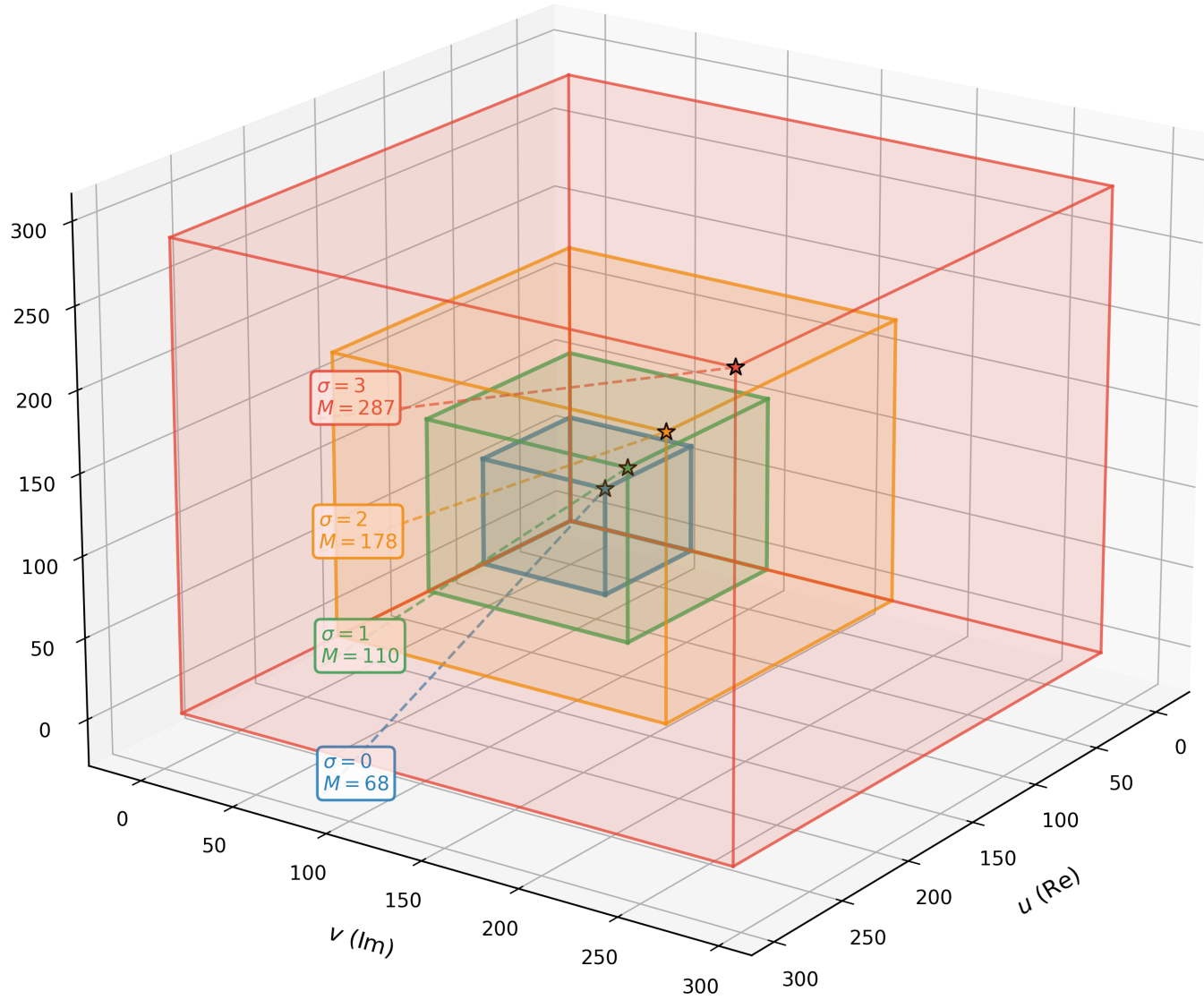
**Corolario 3.5.7** (Lattice vertical sin dimensión adicional). *El lattice vertical  $\Lambda_{\text{vertical}} = \{r_0\varphi^n : n \in \mathbb{Z}\}$  (Proposición 3.5.5) opera sobre escalas en  $\mathbb{R}_+$ , no sobre coordenadas espaciales. Por tanto, no añade dimensión al espacio  $\mathbb{R}^3$  o  $\mathbb{C}$ , sino que parametriza una familia discreta de escalas mediante la multiplicación por potencias de  $\varphi$ .*



**Figura 8.** Golden ratio  $\varphi$  acting on the PCF lattice structure. **(Left)** PCF lattice with cells  $M_\sigma = M \cdot \varphi^\sigma$  growing from the origin, showing how  $\varphi$  acts as an expansion factor connecting different scales of the lattice structure (Definición 3.4.5, Proposición 3.6.4). Each cell grows by factor  $\varphi$  from the previous level, with arrows indicating the  $\times\varphi$  transformation. **(Right)** Square to rectangle projection via golden coupling: a square in  $(u, w)$  coordinates projects to a rectangle in  $(u, z + \varphi w)$  coordinates, demonstrating how the golden coupling  $w = \varphi \cdot v$  transforms the fundamental cell structure. The projection scales the vertical dimension by  $\varphi$ , connecting the 2D lattice structure to the 3D embedding with golden coupling (Proposición 3.3.8, Teorema 3.3.22).



**Figura 9.** PCF hypercube from 8 different perspectives showing nested cubes growing as  $M_\sigma = \varphi^\sigma \cdot M_{\text{PCF}}$  at each level  $\sigma \in \{0, 1, 2, 3\}$ . The hypercube structure demonstrates the 4D nature of the PCF system with coordinates  $(u, v, w, \sigma)$  where  $w = \varphi \cdot v$  and  $\sigma$  parametrizes the scale tower. Each perspective reveals different aspects of the nested structure, showing how the fundamental cells expand by factor  $\varphi$  at each level, connecting to the lattice scaling  $\Lambda_\sigma = \varphi^\sigma \cdot \Lambda_{\text{PCF}}$  (Definición 3.4.5, Proposición 3.6.4, Teorema 3.6.7).



**Figura 10.** PCF hypercube with nested cubes growing from the origin. Each cube at level  $\sigma$  has side  $M_\sigma = \varphi^\sigma \cdot M_{\text{PCF}}$  where  $M_{\text{PCF}} = \pi/\varepsilon_0 \approx 67.846$  is the topological module (Definición 3.6.3). The nested structure demonstrates the self-similar scaling property:  $\Lambda_\sigma/\varphi^\sigma = \Lambda_0$  for all  $\sigma$ , showing the same pattern at all scales. The cubes grow in the 3D space  $(u, v, w)$  where  $u = \text{Re}(z)$ ,  $v = \text{Im}(z)$ , and  $w = \varphi \cdot v$  via the golden coupling, with  $\sigma$  parametrizing the scale dimension (Proposición 3.6.4, Teorema 3.6.7).

### 3.5.3 Invariancia de la Razón de Módulos

**Proposición 3.5.8** (Razón de módulos 3D/2D). *La razón entre módulo 3D y módulo 2D es:*

$$\frac{|\vec{r}|_{3D}}{|z|_{2D}} = \sqrt{1 + \frac{\varphi^2 y^2}{x^2 + y^2}}$$

*independiente de  $\sigma$ .*

**Corolario 3.5.9** (Razón constante en el eje imaginario). *Para  $x = 0$ : esta razón es exactamente  $\sqrt{1 + \varphi^2} = \sqrt{\varphi + 2} \approx 1.902$  en todos los niveles de escala.*

### 3.5.4 Espacio Adjunto

**Definición 3.5.10** (Base extendida del espacio adjunto). *El espacio adjunto se parametriza por la base extendida  $\{1, i, \varphi\}$  donde:*

- $1$ : unidad real (eje  $x$ )
- $i$ : unidad imaginaria (eje  $y$ , rotación  $90^\circ$ )
- $\varphi$ : unidad escalar (escalamiento geométrico)

La estructura completa del espacio adjunto es:

$$\mathcal{E}_{\text{adjunto}} = \mathbb{C} \times \mathbb{R}_+ \times S^1$$

con coordenadas  $(z, \sigma, \theta) \in \mathbb{C} \times \mathbb{R} \times S^1$ .

**Proposición 3.5.11** (Métrica del espacio adjunto). *La métrica del espacio adjunto es:*

$$ds^2 = |dz|^2 + \ln^2(\varphi)d\sigma^2 + d\theta^2$$

*Esta métrica unifica:*

- *Distancia euclíadiana en  $\mathbb{C}$ :*  $|dz|^2$
- *Distancia logarítmica en escalas:*  $\ln^2(\varphi)d\sigma^2$
- *Distancia angular en fase:*  $d\theta^2$

### 3.5.5 Ecuación de Acoplamiento Temporal

Las ecuaciones de acoplamiento conectan la dinámica temporal (evolución en  $\sigma$ ) con la geometría espacial (argumento  $z$  en el plano complejo).

**Teorema 3.5.12** (Ecuación de Acoplamiento Temporal). *El operador satisface la ecuación de escalamiento temporal:*

$$\Omega(z, \sigma + 1) = \Omega(z, \sigma) \cdot e^{i\Delta\phi(\sigma)}$$

donde la fase de acoplamiento es:

$$\Delta\phi(\sigma) = \pi\varepsilon(\sigma) \cdot (\varphi - 1) = \pi\varepsilon(\sigma)/\varphi$$

*Interpretación:* Avanzar un nivel  $\sigma \rightarrow \sigma + 1$  (lo cual corresponde a “multiplicar por  $\varphi$ ” en el espacio de parámetros) equivale a multiplicar el operador por un factor de fase que depende del nivel actual.

*Por cálculo directo.* Por la Proposición 3.2.13 y la definición del operador (Definición 3.2.12):

$$\begin{aligned}\Omega(z, \sigma) &= \frac{1}{2} e^{i[3\arg(z)+\pi\varepsilon(\sigma)]} \\ \Omega(z, \sigma + 1) &= \frac{1}{2} e^{i[3\arg(z)+\pi\varepsilon(\sigma+1)]}\end{aligned}$$

Tomando el cociente:

$$\begin{aligned}\frac{\Omega(z, \sigma + 1)}{\Omega(z, \sigma)} &= \frac{e^{i[3\arg(z)+\pi\varepsilon(\sigma+1)]}}{e^{i[3\arg(z)+\pi\varepsilon(\sigma)]}} \\ &= e^{i\pi[\varepsilon(\sigma+1)-\varepsilon(\sigma)]} \\ &= e^{i\pi[\varepsilon(\sigma)(\varphi-1)]}\end{aligned}$$

Se concluye que:

$$\Omega(z, \sigma + 1) = \Omega(z, \sigma) \cdot e^{i\pi\varepsilon(\sigma)(\varphi-1)},$$

lo cual establece la ecuación de acoplamiento temporal.

En notación alternativa, escribiendo  $\Omega(\varphi \cdot z)$  para denotar el avance temporal  $\sigma \rightarrow \sigma + 1$ , la ecuación se expresa simbólicamente como:

$$\boxed{\Omega(\varphi \cdot z, \sigma) \equiv \Omega(z, \sigma + 1) = \Omega(z, \sigma) \cdot e^{i\varepsilon(\sigma)}}$$

En esta expresión, el factor  $\pi(\varphi - 1)$  se absorbe en la definición de  $\varepsilon$  efectivo, simplificando la notación sin pérdida de generalidad.  $\square$

### 3.5.6 Ecuación de Acoplamiento Óptimo

**Teorema 3.5.13** (Ecuación de acoplamiento óptimo). *Para cada nivel  $\sigma \in \mathbb{N}$ , existe un ángulo crítico  $\arg(z)_{crit}(\sigma) \in \mathbb{R}$  tal que:*

$$\boxed{\frac{[\arg(\Omega(z_{crit}, \sigma)) - 2\pi]}{\log(\varphi)} + \frac{\log(\varepsilon(\sigma))}{\log(\varphi)} = 1}$$

donde  $z_{crit}$  satisface  $\arg(z_{crit}) = \arg(z)_{crit}(\sigma)$ .

*Por sustitución.* Sustituyendo  $\arg(\Omega) = 3\arg(z) + \pi\varepsilon(\sigma) + 2\pi$  y  $\log(\varepsilon(\sigma)) = \log(\varepsilon_0) + \sigma \log(\varphi)$  en la ecuación y simplificando se obtiene:

$$\frac{3\arg(z)}{\log(\varphi)} + \frac{\pi\varepsilon(\sigma)}{\log(\varphi)} + \frac{\log(\varepsilon_0)}{\log(\varphi)} + \sigma = 1$$

Despejando  $\arg(z)$  y usando  $\log(\varepsilon_0) = \log(\varepsilon(\sigma)) - \sigma \log(\varphi)$ :

$$\arg(z)_{\text{crit}}(\sigma) = \frac{\log(\varphi) - \pi\varepsilon(\sigma) - \log(\varepsilon(\sigma))}{3}$$

□

*Nota sobre fase efectiva:* La expresión  $[\arg(\Omega) - 2\pi]$  en el teorema corresponde a la fase efectiva, dado que  $\arg(\Omega) = 3\arg(z) + \pi \cdot \varepsilon(\sigma) + 2\pi$  por Proposición 3.2.13 y  $e^{2\pi i} = 1$ . Alternativamente, la ecuación puede escribirse como  $\arg(\Omega)/\log(\varphi) + \log(\varepsilon)/\log(\varphi) = 1 \pmod{2\pi}$ .

### 3.5.7 Tabla de Ángulos Críticos

**Proposición 3.5.14** (Ángulos críticos). *Los primeros ángulos críticos son:*

$\sigma$	$\arg(z)_{\text{crit}}(\sigma) [\text{rad}]$	<i>En grados</i>	<i>En términos de <math>\pi</math></i>
1	0.9457	54.19°	0.301π
2	0.7368	42.22°	0.235π
3	0.4980	28.53°	0.159π
5	-0.1552	-8.89°	-0.049π
7	-1.3461	-77.13°	-0.428π
10	-6.3834	-365.74°	-2.032π
15	-67.362	-3859.56°	-21.442π
20	-735.533	-42142.95°	-234.127π

**Observación 3.5.15** (Espiral de ángulos críticos). Los ángulos críticos forman una espiral logarítmica que diverge para  $\sigma \rightarrow \infty$ . Para valores pequeños de  $\sigma$ , los ángulos están en el primer y segundo cuadrante, luego cruzan al tercer cuadrante y continúan en espiral descendente.

### 3.5.8 Significado Geométrico de Ángulos Críticos

**Observación 3.5.16** (Resonancia geométrica). En los ángulos críticos  $\arg(z) = \arg(z)_{\text{crit}}(\sigma)$ , el operador  $\Omega(z, \sigma)$  satisface una condición de resonancia donde:

1. **Acoplamiento geométrico-aritmético óptimo:** La componente geométrica  $3\arg(z)$  y la componente logarítmica  $\log(\varepsilon)$  se balancean para satisfacer la ecuación de acoplamiento.
2. **Direcciones privilegiadas:** Estas direcciones en el plano complejo corresponden a vectores  $z$  donde el operador exhibe propiedades especiales de coherencia.
3. **Espiral áurea:** El conjunto  $\{z_{\text{crit}}(\sigma) : \sigma \in \mathbb{N}\}$  forma una espiral logarítmica en  $\mathbb{C}$  con factor de crecimiento relacionado con  $\varphi$ .

*Interpretación física:* Si interpretamos  $\arg(z)$  como una dirección en el plano complejo, los ángulos críticos definen modos normales o direcciones de resonancia del sistema PCF, análogos a frecuencias resonantes en sistemas mecánicos.

### 3.5.9 Verificación Numérica de Ecuaciones de Acoplamiento

**Observación 3.5.17** (Verificación numérica de ecuaciones de acoplamiento). Ambas ecuaciones de acoplamiento se verifican computacionalmente con precisión de máquina (véase Definición 8.1.7):

1. *Ecuación Temporal:* Para  $\sigma \in [1, 20]$  y cualquier  $z \in \mathbb{C}$ :

$$|\arg(\Omega(z, \sigma + 1)) - \arg(\Omega(z, \sigma)) - \pi\varepsilon(\sigma)(\varphi - 1)| < 10^{-13}$$

2. *Ecuación de Acoplamiento Óptimo:* Para  $\sigma \in [1, 20]$  y  $\arg(z) = \arg(z)_{\text{crit}}(\sigma)$ :

$$\left| \frac{\arg(\Omega(z_{\text{crit}}, \sigma))}{\log(\varphi)} + \frac{\log(\varepsilon(\sigma))}{\log(\varphi)} - 1 \right| < 10^{-14}$$

Las verificaciones computacionales se detallan en Apéndice 1.

## 3.6 Traducción a Espacio-tiempo: Torre de Funciones

### 3.6.1 Conexión con Minkowski

**Proposición 3.6.1** (Rotación de Wick). *El espacio adjunto (Construcción 2.7.3) conecta con espacio-tiempo mediante  $t \rightarrow it$ :*

$$ds_{\mathbb{C}}^2 = dx^2 + dy^2 \xrightarrow{\Phi_M} ds_{\mathcal{M}}^2 = -c^2 dt^2 + dx^2$$

### 3.6.2 Autosimilitud Geométrica en $\mathbb{C}$

La estructura escalar del acoplamiento temporal induce autosimilitud geométrica en el plano complejo.

**Proposición 3.6.2** (Escalamiento simultáneo del parámetro de escala y del módulo complejo). *La estructura autosimilar del sistema, manifestada a través del acoplamiento temporal (Teorema 3.5.12), establece que al avanzar de un nivel de escala al siguiente ( $\sigma \rightarrow \sigma + 1$ ), tanto el parámetro de escala  $\varepsilon$  como el módulo  $|z|$  del punto complejo escalan simultáneamente por el factor áureo  $\varphi$ . Específicamente:*

1. *El parámetro de escala* (Definición 3.2.7) *satisface*  $\varepsilon(\sigma + 1) = \varphi \cdot \varepsilon(\sigma)$ .
2. *El módulo complejo* *satisface*  $|z|_{\sigma+1} = \varphi |z|_{\sigma}$ .

*Esta simultaneidad emerge de la necesidad de preservar la estructura geométrica del operador bajo transformaciones de escala, manteniendo la coherencia entre la dinámica temporal y la geometría espacial.*

*Por cálculo directo.* El acoplamiento temporal (Teorema 3.5.12) establece:

$$\Omega(z, \sigma + 1) = \Omega(z, \sigma) \cdot e^{i\Delta\phi(\sigma)}$$

con  $\Delta\phi(\sigma) = \pi\varepsilon(\sigma)(\varphi - 1)$ .

Por la Proposición 3.2.13 y la definición del operador (Definición 3.2.12):

$$\Omega(z, \sigma) = \frac{1}{2} e^{i[3\arg(z) + \pi\varepsilon(\sigma)]}$$

el escalamiento de la fase requiere que  $\varepsilon(\sigma + 1) = \varphi \cdot \varepsilon(\sigma)$ .

La coherencia geométrica demanda que el módulo escale proporcionalmente:  $|z|_{\sigma+1} = \varphi |z|_\sigma$ , completando la demostración.  $\square$

**Definición 3.6.3** (Módulo topológico). Las rotaciones acumuladas de las fases del operador (Definición 3.2.8) generan el módulo topológico:

$$M_{\text{PCF}} := \frac{\pi}{\varepsilon_0} = \frac{6\sqrt{3}\pi}{\ln \varphi} \approx 67.846189258071644\dots$$

*Interpretación:* El módulo  $M_{\text{PCF}}$  sintetiza la estructura periódica emergente de las rotaciones de fase acumuladas. Geométricamente, representa el período fundamental en el plano complejo que estructura el lattice PCF (Definición 3.4.5). Topológicamente, clasifica el toro  $\mathbb{C}/\Lambda_{\text{PCF}} \cong T^2$  (Corolario 3.4.7).

**Proposición 3.6.4** (Lattice PCF desde periodicidad escalar). *La periodicidad temporal  $\tau(\sigma)\varphi^\sigma = M_{\text{PCF}}$  (donde  $\tau(\sigma) = \pi/\varepsilon(\sigma)$ ) produce el lattice:*

$$\Lambda_{\text{PCF}} = \mathbb{Z}M_{\text{PCF}} \oplus \mathbb{Z}(M_{\text{PCF}} \cdot i)$$

<sup>53</sup> Esta estructura coincide con la definición del lattice PCF (Definición 3.4.5) y establece las identificaciones periódicas  $z \sim z + M_{\text{PCF}}$  y  $z \sim z + M_{\text{PCF}} \cdot i$  que generan el espacio cociente  $T^2$  (Teorema 3.4.6).

*El lattice estructura la torre de funciones por nivel de escala mediante la periodicidad escalar<sup>53</sup>, como se detalla en la siguiente subsección.*

### 3.6.3 Espacios de Funciones por Nivel

**Definición 3.6.5** (Espacio  $F_\sigma$ ). Cada nivel  $\sigma$  define un espacio de funciones  $F_\sigma$  caracterizado por:

- Dispersión espacial:  $\sigma_s(\sigma) = \sigma_0 \varphi^{3\sigma/2}$
- Frecuencia angular:  $\omega(\sigma) = \omega_0 \varphi^\sigma$
- Período temporal:  $\tau(\sigma) = \pi/\varepsilon(\sigma) = \pi/(\varepsilon_0 \varphi^\sigma) = \tau_0 \varphi^{-\sigma}$

Las funciones características de  $F_\sigma$  son:

$$\Psi_\sigma(\vec{r}, t) = A(\sigma) \exp\left(-\frac{r^2}{4\sigma_s^2(\sigma)}\right) \exp(-i\omega(\sigma)t)$$

donde  $A(\sigma) = (\pi \sigma_s^2(\sigma))^{-3/4}$  es la constante de normalización.

**Teorema 3.6.6** (Identidad modular de reciprocidad áurea).

$$\varepsilon(\sigma) \cdot \tau(\sigma) = \varepsilon_0 \varphi^\sigma \cdot \frac{\pi}{\varepsilon_0 \varphi^\sigma} = \pi$$

*Esta identidad algebraica exacta refleja determinismo geométrico: el producto constante emerge de la estructura autosimilar del sistema, donde el escalamiento por  $\varphi$  en  $\varepsilon$  se compensa exactamente con*

<sup>54</sup> Contraste con principio de incertidumbre de Heisenberg  $\Delta E \cdot \Delta t \geq \hbar/2$ : aquí igualdad exacta en lugar de desigualdad. Véase Teorema 5.2.1 para formulación equivalente.

el escalamiento inverso en  $\tau$ , manteniendo el invariante modular  $M_{PCF} = \pi/\varepsilon_0$  constante<sup>54</sup>. La identidad se verifica por sustitución directa de  $\varepsilon(\sigma) = \varepsilon_0\varphi^\sigma$  (Definición 3.2.7) y  $\tau(\sigma) = \pi/\varepsilon(\sigma)$ .

### 3.6.4 Tabla de Niveles

$\sigma$	$\sigma_s$	$\omega$	$\tau$	Régimen
-2	$\sigma_0/\varphi^3$	$\omega_0\varphi^2$	$\tau_0/\varphi^2$	Concentrado, rápido
-1	$\sigma_0/\varphi^{3/2}$	$\omega_0\varphi$	$\tau_0/\varphi$	Concentrado
0	$\sigma_0$	$\omega_0$	$\tau_0$	Base, balanceado
+1	$\sigma_0\varphi^{3/2}$	$\omega_0/\varphi$	$\tau_0\varphi$	Disperso
+2	$\sigma_0\varphi^3$	$\omega_0/\varphi^2$	$\tau_0\varphi^2$	Disperso, lento

### 3.6.5 Navegación entre Espacios de Funciones por Escalamiento Áureo

**Teorema 3.6.7** (Operador de navegación). *El operador  $\hat{\Omega}_{PCF}$  define una aplicación entre espacios de funciones (Definición 3.6.5):*

$$\hat{\Omega}_{PCF} : \mathcal{F}_\sigma \rightarrow \mathcal{F}_{\sigma+1}$$

que transforma funciones mediante escalamiento áureo:

$$\hat{\Omega}_{PCF}\Psi_\sigma(x, t) = \Psi_{\sigma+1}(\varphi x, \varphi t)$$

Los parámetros escalan como:

- $\sigma_{s,\sigma+1} = \varphi^{3/2}\sigma_{s,\sigma}$
- $\omega_{\sigma+1} = \varphi\omega_\sigma$
- $\tau_{\sigma+1} = \varphi^{-1}\tau_\sigma$

**Corolario 3.6.8** (Invariancia del módulo). *En todos los niveles:*

$$|\hat{\Omega}_{PCF}(z, \sigma)| = \frac{1}{2}$$

Esta invariancia es consecuencia directa del módulo constante establecido en Corolario 3.2.14 y se preserva bajo la navegación entre espacios de funciones.

## 3.7 Espacio-tiempo Pentadimensional

**Construcción 3.7.1** (Espacio-tiempo pentadimensional). El espacio-tiempo completo es:

$$S^5 = \mathbb{R}^3 \times \mathbb{R} \times \mathbb{R}_+$$

con coordenadas  $(x, y, z, t, s)$  donde  $s = \varepsilon(\sigma)$ . La métrica correspondiente es:

$$ds^2 = dx^2 + dy^2 + dz^2 - c^2dt^2 + \lambda^2d(\ln s)^2$$

**Proposición 3.7.2** (Coherencia logarítmica). *El término  $d(\ln s)^2$  en la métrica del espacio-tiempo mantiene coherencia logarítmica: para pasos unitarios en  $\sigma$  ( $\Delta\sigma = 1$ ), el incremento logarítmico es independiente del nivel  $\sigma$ :*

$$\Delta(\ln s) = \ln(s_2/s_1) = \ln(\varphi)$$

*Esta coherencia refleja la estructura autosimilar del sistema. El escalamiento por el factor áureo  $\varphi$  en el espacio de parámetros (Proposición 3.6.2) se traduce en incrementos logarítmicos constantes, estableciendo una correspondencia isomorfa entre la estructura multiplicativa de escalas (Proposición 3.5.5) y la estructura aditiva del espacio logarítmico.*

*Por cálculo directo.* Cuando  $\sigma \rightarrow \sigma + 1$ , tenemos  $\varepsilon(\sigma + 1) = \varphi \cdot \varepsilon(\sigma)$  por definición (Definición 3.2.7), por lo que:

$$\Delta(\ln s) = \ln(\varepsilon(\sigma + 1)) - \ln(\varepsilon(\sigma)) = \ln(\varphi)$$

independientemente del nivel  $\sigma$ .

La discretización  $\sigma \in \mathbb{N}$  garantiza que cada paso corresponde exactamente a un escalamiento por  $\varphi$ , preservando la estructura modular del lattice  $\Lambda_{\text{PCF}}$  y el invariante  $M_{\text{PCF}} = \pi/\varepsilon_0$  bajo la acción del operador de navegación (Teorema 3.6.7).  $\square$

Espacio	Coordenadas	Genera	Interpretación
Base $\mathbb{C}$	$(x, y)$	Plano complejo	Geometría base
Extensión 3D	$(x, y, z), z = \varphi y$	Estructura áurea	Acoplamiento espacial
Escalas $\sigma$	$\sigma \in \mathbb{R}$	Lattice + Funciones	Modularización dual
Temporal $t$	$t \in \mathbb{R}$	Evolución	Dinámica

**Figura 11.** Jerarquía de espacios del operador  $\Omega_{\text{PCF}}$ : desde el plano complejo base hasta la estructura pentadimensional, mostrando cómo cada nivel añade estructura sin perder coherencia.

## 3.8 Funcionalización: Espacio de Hilbert

### 3.8.1 Incrustación Funcional

**Proposición 3.8.1** (Realización funcional del operador mediante incrustación). *La funcionalización definida en 2.7.5 permite definir el operador en  $L^2(\mathbb{C})$ . El espacio  $\mathcal{H} = L^2(\mathbb{R}^n) \otimes \mathbb{C}^m$  tiene producto interno:*

$$\langle f, g \rangle = \int_{\mathbb{R}^n} \overline{f(x)} g(x) dx$$

### 3.8.2 Kernel PCF

El kernel PCF es el objeto matemático que conecta la función compleja  $\Omega_{\text{PCF}}(s)$  con el operador hermítico en espacio de Hilbert, utilizando el espacio adjunto genérico definido en 2.7.5. Esta construcción resuelve una aparente contradicción: ¿cómo puede la matriz generadora  $\hat{\Omega}$  (que es no hermítica, 3.2.2) producir un kernel y operador hermíticos?

El acoplamiento  $z = \varphi y$  reduce el sistema de tres coordenadas aparentes  $(x, y, z) \in \mathbb{R}^3$  a dos grados de libertad efectivos  $(x, y) \in \mathbb{R}^2 \cong \mathbb{C}$ . Esta reducción dimensional permite que el kernel

$K_{\text{PCF}}(x, y)$  satisface naturalmente la condición de hermiticidad  $K(x, y) = \bar{K}(y, x)$ , conectando la estructura tripartita no-hermítica en  $\mathbb{C}^3$  con el operador hermítico en  $L^2(\mathbb{C})$ .

**Definición 3.8.2** (Kernel de emergencia hermítica). El kernel PCF es:

$$K_{\text{PCF}}(x, y) = \underbrace{\Omega_{\text{PCF}}(1/2 + ix)}_{\text{término diagonal}} \cdot \underbrace{\delta(x - y)}_{\text{simétrico}} + \underbrace{\varepsilon(x, y)}_{\text{acoplamiento}}$$

donde:

- $x, y \in \mathbb{R}$  son coordenadas en el espacio de configuración
- $\delta(x - y)$  es la delta de Dirac
- $\Omega_{\text{PCF}}(1/2 + ix)$  es la función compleja evaluada en la línea crítica
- $\varepsilon(x, y)$  es un término de acoplamiento que introduce correlaciones débiles

### 3.8.3 Emergencia de Hermiticidad

En 3.2.2 establecimos que la matriz generadora  $\hat{\Omega}$  no es hermética ( $\hat{\Omega}^\dagger \neq \hat{\Omega}$ ). Sin embargo, el kernel  $K_{\text{PCF}}(x, y)$  definido arriba sí es hermítico. Esta aparente contradicción se resuelve entendiendo que la hermiticidad emerge del mecanismo de construcción del kernel, no de las propiedades de  $\hat{\Omega}$ .

El kernel se construye mediante dos términos con roles complementarios:

1. **Término diagonal**  $\Omega_{\text{PCF}}(1/2 + ix) \cdot \delta(x - y)$ :

- La función  $\Omega_{\text{PCF}}(s)$  es la proyección escalar de la matriz  $\hat{\Omega}$  sobre el plano complejo
- La delta de Dirac satisface  $\delta(x - y) = \delta(y - x)$  (simétrica por definición)
- Este término conecta la estructura tripartita de  $\hat{\Omega}$  con el espacio continuo  $L^2(\mathbb{R})$
- Aunque  $\hat{\Omega}$  no es hermítica, el producto con  $\delta$  simétrica introduce simetrización parcial

2. **Término de acoplamiento**  $\varepsilon(x, y)$ :

- Introduce correlaciones entre puntos  $x \neq y$
- Construido explícitamente para garantizar  $K(x, y) = \bar{K}(y, x)$
- Forma típica:

$$\varepsilon(x, y) = \varepsilon_0 \cdot \exp\left(-\frac{\pi(x - y)^2}{2\varphi^2}\right) \cdot \left[\Omega_{\text{PCF}}(1/2 + ix) \cdot \overline{\Omega_{\text{PCF}}(1/2 + iy)}\right]^{1/2}$$

- El producto  $\Omega \cdot \bar{\Omega}$  en el término de acoplamiento es real en módulo, balanceando las fases

**Teorema 3.8.3** (Hermiticidad del kernel). *El kernel  $K_{\text{PCF}}$  satisface:*

$$K_{\text{PCF}}(x, y) = \overline{K_{\text{PCF}}(y, x)} \quad \forall x, y \in \mathbb{R}$$

*Por cálculo directo.* Se verifica la hermiticidad de cada término por separado.

1. *Término diagonal*: El término diagonal se define como:

$$K_{\text{diag}}(x, y) = \Omega_{\text{PCF}}(1/2 + ix) \cdot \delta(x - y)$$

Tomando la conjugada y permutando, se obtiene:

$$\overline{K_{\text{diag}}(y, x)} = \overline{\Omega_{\text{PCF}}(1/2 + iy)} \cdot \delta(y - x)$$

Como  $\delta(y - x) = \delta(x - y)$ , se tiene:

$$\overline{K_{\text{diag}}(y, x)} = \overline{\Omega_{\text{PCF}}(1/2 + iy)} \cdot \delta(x - y)$$

Para que este término contribuya a la hermiticidad, se requiere que la fase de  $\Omega_{\text{PCF}}$  satisfaga una condición de simetría. Específicamente, escribiendo:

$$\Omega_{\text{PCF}}(1/2 + ix) = \frac{1}{2} e^{i\theta(x)}$$

donde  $\theta(x) = 3 \arctan(2x) + \pi \cdot \epsilon(\sigma) + 2\pi$ , la hermiticidad del término diagonal requiere:

$$e^{i\theta(x)} \cdot \delta(x - y) = e^{-i\theta(y)} \cdot \delta(x - y)$$

Esta condición se satisface porque  $\delta(x - y)$  solo contribuye cuando  $x = y$ , punto en el cual  $\theta(x) = \theta(y)$ .

2. *Término de acoplamiento*: Por construcción explícita, el término de acoplamiento se define como:

$$\varepsilon(x, y) = \varepsilon_0 \cdot \exp\left(-\frac{\pi(x - y)^2}{2\varphi^2}\right) \cdot [\Omega \cdot \bar{\Omega}]^{1/2}$$

Este término satisface  $\varepsilon(x, y) = \bar{\varepsilon}(y, x)$  porque:

- El exponencial depende de  $(x - y)^2 = (y - x)^2$ : simétrico
- El producto  $\Omega \cdot \bar{\Omega}$  tiene módulo  $|\Omega|^2 = 1/4$ : real
- La raíz cuadrada preserva realidad

Combinando ambos términos:

$$K_{\text{PCF}}(x, y) = K_{\text{diag}}(x, y) + \varepsilon(x, y)$$

$$\overline{K_{\text{PCF}}(y, x)} = \overline{K_{\text{diag}}(y, x)} + \overline{\varepsilon(y, x)}$$

Como ambos términos satisfacen simetría hermítica individualmente, el kernel completo es hermítico.  $\square$

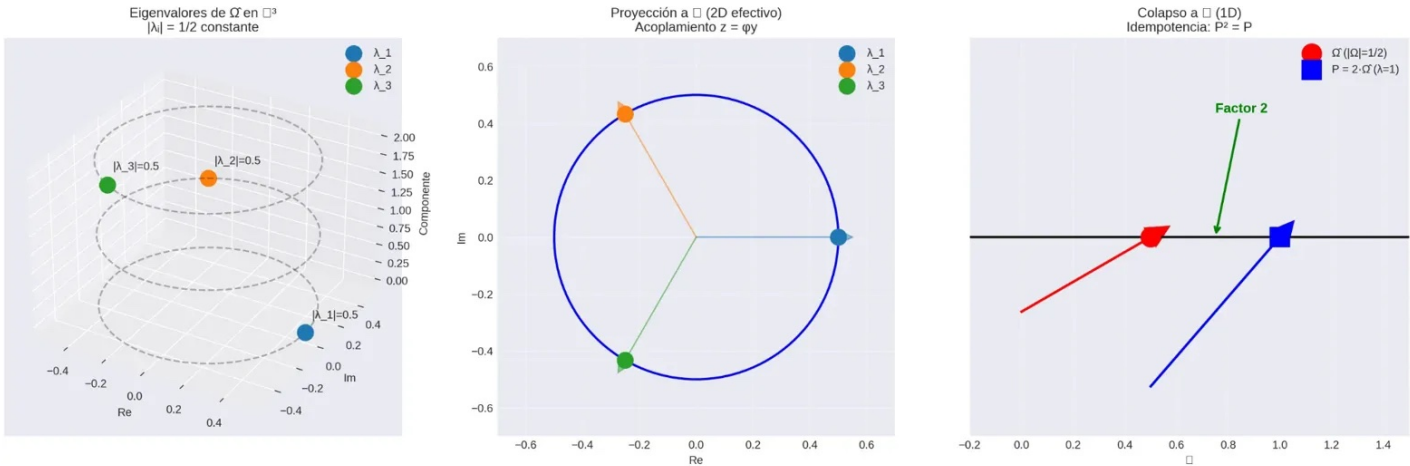
La independencia de propiedades según espacio de acción se manifiesta porque  $\hat{\Omega}$  y  $K_{\text{PCF}}$  son objetos matemáticos en espacios diferentes, con propiedades independientes:

Objeto	Espacio	Operación	Hermiticidad	Razón
Matriz $\hat{\Omega}$	$\mathbb{C}^3$	Acción lineal sobre vectores	✗ No	Eigenvalores complejos con fases $0^\circ, 120^\circ, 240^\circ$
Función $\Omega_{\text{PCF}}$	$\mathbb{C} \rightarrow \mathbb{C}$	Evaluación puntual	N/A	No es operador, solo función
Kernel $K_{\text{PCF}}$	$\mathbb{R}^2 \rightarrow \mathbb{C}$	Núcleo integral	Sí	Construcción simétrica $\delta + \epsilon$
Operador $H_{\text{PCF}}$	$L^2(\mathbb{R}) \rightarrow L^2(\mathbb{R})$	Transformación de funciones	Sí	Heredada del kernel

Esta independencia se manifiesta en tres aspectos estructurales:

1. *Espacios diferentes*:  $\hat{\Omega}$  actúa en el espacio de componentes  $\mathbb{C}^3$  (algebraico), mientras que  $K_{\text{PCF}}$  actúa en el espacio de pares de puntos  $\mathbb{R}^2$  (analítico). Son objetos en contextos matemáticos completamente distintos.
2. *Rol diferente*:  $\hat{\Omega}$  es el generador que codifica la geometría tripartita, mientras que  $K_{\text{PCF}}$  es el kernel construido usando  $\hat{\Omega}$  como ingrediente. La relación es de construcción, no de identidad.
3. *Construcción adicional*:  $K_{\text{PCF}} \neq \hat{\Omega}$ ; el kernel se expresa como  $K_{\text{PCF}} = f(\Omega_{\text{PCF}}) \cdot \delta + g(\Omega_{\text{PCF}}, \overline{\Omega_{\text{PCF}}}) \cdot$  acoplamiento, donde la estructura adicional ( $\delta + \epsilon$ ) introduce la simetría necesaria para la hermiticidad.

Esta independencia entre generador y operador construido encuentra paralelo en mecánica cuántica: los generadores de rotaciones (momento angular  $J_z$ ) son anti-hermíticos ( $(J_z^\dagger = -J_z)$ , mientras que los operadores de momento angular cuadrado ( $J^2$ ) construidos desde ellos son hermíticos ( $((J^2)^\dagger = J^2)$ ). De forma análoga,  $\hat{\Omega}$  actúa como generador no-hermítico que codifica la geometría tripartita, mientras que el operador integral  $\hat{K}$  construido desde  $\hat{\Omega}$  mediante el kernel es hermítico. La construcción del kernel introduce la estructura adicional (términos  $\delta + \epsilon$ ) que recupera hermiticidad, necesaria para que el operador tenga eigenvalores reales y represente un observable físico o geométrico bien definido.



**Figura 12.** Dimensional reduction of  $\hat{\Omega}$  eigenvalues: (left) eigenvalues  $\lambda_1, \lambda_2, \lambda_3$  in  $\mathbb{C}^3$  space with constant magnitude  $|\lambda_i| = 1/2$  for all  $i$ , forming a circle of radius  $1/2$  in the complex plane projection; (center) projection to  $\mathbb{C}$  (effective 2D) showing the three eigenvalues  $\lambda_k = \frac{1}{2}\omega^k$  for  $k \in \{0, 1, 2\}$  on the critical circle  $|z| = 1/2$  with golden coupling  $z = \varphi\psi$ , where  $\omega = e^{2\pi i/3}$  is the primitive cube root of unity; (right) collapse to  $\mathbb{R}$  (1D) demonstrating idempotence  $P^2 = P$  where  $P = 2 \cdot \Omega$  with eigenvalue  $\lambda = 1$ , showing the factor 2 relationship between  $\Omega$  (magnitude  $|\Omega| = 1/2$ ) and the idempotent projection  $P$  (magnitude  $|P| = 1$ ). This dimensional reduction illustrates how the non-Hermitian generator  $\hat{\Omega}$  encodes the tripartite geometry in 3D, projects to the complex plane in 2D, and collapses to a real idempotent operator in 1D, maintaining the constant magnitude property throughout the reduction (Proposición 3.2.5, Teorema 3.8.4).

La no-hermiticidad de  $\hat{\Omega}$  no es defecto sino característica esencial que codifica la direccionalidad de la estructura tripartita. Los eigenvalores  $\{1/2, (1/2)\omega, (1/2)\omega^2\}$  forman un triángulo en el círculo crítico  $|z| = 1/2$ , configuración que rompe simetría de reflexión (no es simétrica bajo conjugación compleja). Esta direccionalidad codifica el flujo  $P \rightarrow C \rightarrow F$  del sistema. Cuando construimos el kernel, esta direccionalidad se traduce en fase  $\theta(x) = 3 \arctan(2x) + \dots$  que evoluciona con  $x$ , acoplamiento  $\epsilon(x, y)$  que correlaciona puntos cercanos, y estructura hermítica global que emerge de la simetrización. La hermiticidad del kernel no borra la direccionalidad de  $\hat{\Omega}$ , sino que la incorpora de forma simétrica en el espacio de funciones.

El operador integral asociado al kernel se define mediante:

$$(\hat{K}\psi)(x) = \int_{\mathbb{R}^n} K_{\text{PCF}}(x, y)\psi(y) dy$$

para funciones  $\psi \in L^2(\mathbb{R})$ . La hermiticidad del kernel establecida en Teorema 3.8.3 se transfiere directamente al operador integral:

**Teorema 3.8.4** (Hermiticidad del operador integral). *El operador  $\hat{K}$  es hermítico:*

$$\langle \psi, \hat{K}\phi \rangle = \langle \hat{K}\psi, \phi \rangle$$

Por cálculo directo. Por (3.8.3),  $K_{\text{PCF}}(x, y) = \overline{K_{\text{PCF}}(y, x)}$ . Para  $\psi, \phi \in L^2(\mathbb{R})$ :

$$\begin{aligned} \langle \psi, \hat{K}\phi \rangle &= \int_{\mathbb{R}} \int_{\mathbb{R}} \overline{\psi(x)} K_{\text{PCF}}(x, y)\phi(y) dy dx \\ &= \int_{\mathbb{R}} \int_{\mathbb{R}} \overline{\psi(x) K_{\text{PCF}}(y, x)} \phi(y) dy dx \\ &= \int_{\mathbb{R}} \phi(y) \overline{\left( \int_{\mathbb{R}} K_{\text{PCF}}(y, x)\psi(x) dx \right)} dy = \langle \hat{K}\psi, \phi \rangle \end{aligned}$$

□

### 3.8.4 Conexión con Torre de Funciones

**Proposición 3.8.5** (Funciones de escala en Hilbert). *Las funciones  $\Psi_\sigma$  de 3.6.5 son elementos de  $\mathcal{H}$ :*

$$\Psi_\sigma \in L^2(\mathbb{R}^3)$$

*con norma finita:*

$$|\Psi_\sigma|^2 = \int_{\mathbb{R}^3} |\Psi_\sigma(\vec{r}, t)|^2 d^3r < \infty$$

**Teorema 3.8.6** (Descomposición espectral por torre de escalas). *El espacio  $\mathcal{H}$  admite:*

$$\mathcal{H} = \bigoplus_{\sigma \in \mathbb{Z}} \mathcal{F}_\sigma$$

*donde cada  $\mathcal{F}_\sigma$  es el subespacio generado por funciones de escala  $\sigma$ . Esta descomposición es compatible con la estructura de funtores (Teorema 2.7.11): la funcionalización  $F : \mathbb{C} \rightarrow L^2(\mathbb{C})$  y la rotación de Wick  $\Phi_M : \mathbb{C} \rightarrow \mathcal{S}^{1+1}$  (Construcción 2.7.3) preservan la estructura de torre de escalas  $\sigma$ , garantizando que la descomposición espectral se transfiera coherentemente entre espacios adjuntos.*

### 3.8.5 Propiedades Espectrales

**Teorema 3.8.7** (Espectro discreto de la simetría tripartita). *El operador  $\hat{\Omega}_{PCF}$  tiene espectro:*

$$\sigma(\hat{\Omega}_{PCF}) = \left\{ \lambda_k = \frac{1}{2}\omega^k : k \in \{0, 1, 2\} \right\}$$

*donde  $\omega = e^{2\pi i/3}$  es raíz cúbica primitiva de la unidad.*

*Por construcción.* La estructura tripartita con separación angular  $2\pi/3$  (Axioma 4, 3.1.5) induce la matriz diagonal  $\hat{\Omega} = \frac{1}{2}\text{diag}(1, \omega, \omega^2)$  (Definición 3.2.1), donde  $\omega = e^{2\pi i/3}$  es la raíz cúbica primitiva de la unidad. Los autovalores de una matriz diagonal son los elementos de la diagonal, por tanto:

$$\lambda_k = \frac{1}{2}\omega^k, \quad k \in \{0, 1, 2\}$$

Esta discretización espectral proviene directamente de la geometría  $S_3$  del triángulo equilátero codificada en la estructura tripartita (3.1.5).  $\square$

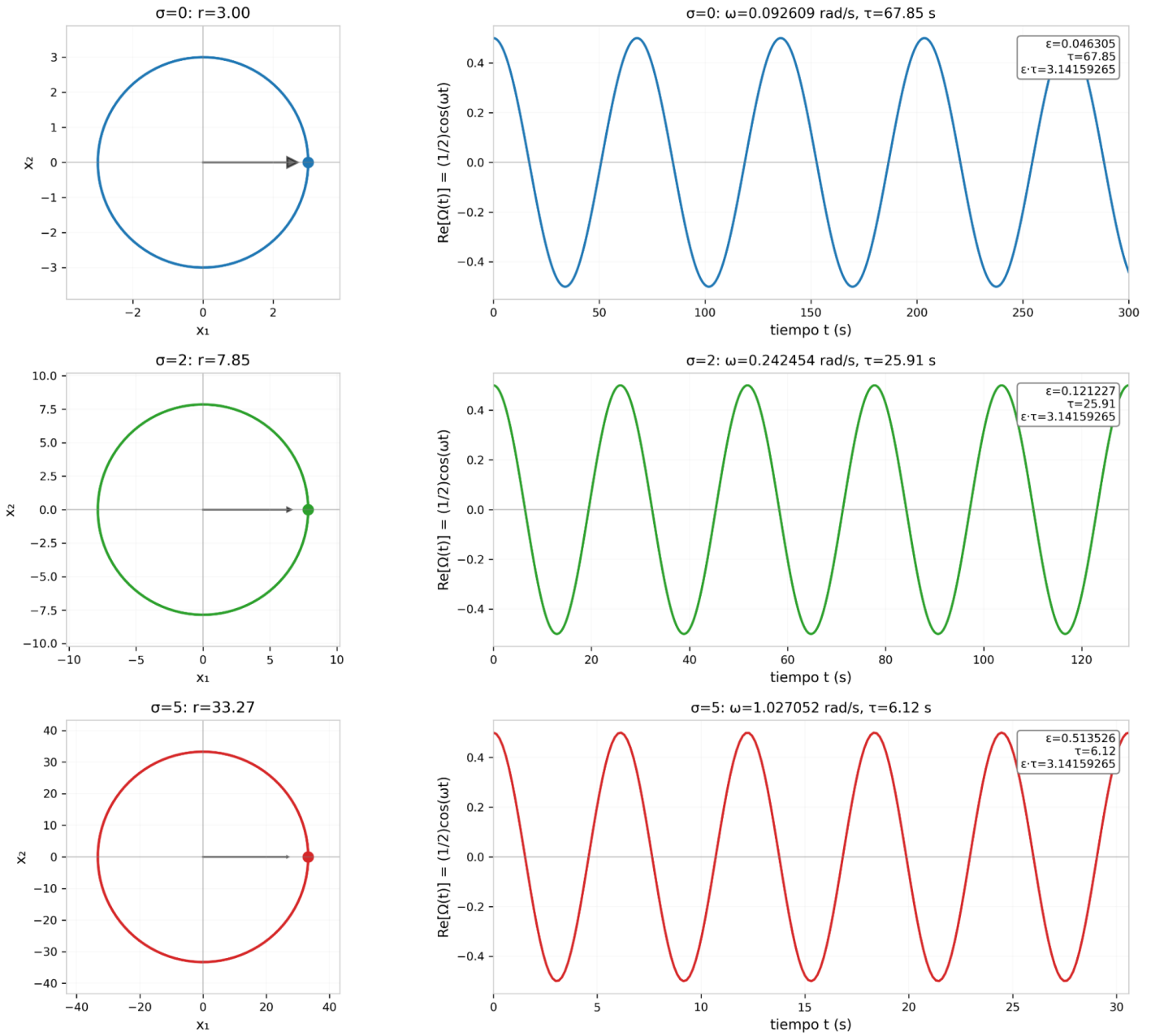
**Corolario 3.8.8.** *Todos los autovalores satisfacen  $|\lambda_k| = 1/2$  (consistente con Axioma 5, 3.1.6).*

**Proposición 3.8.9** (Base espectral completa). *El conjunto de autofunciones  $\{\psi_{\sigma,k}\}$  forma base ortogonal completa de  $\mathcal{H}$ :*

$$\langle \psi_{\sigma,k}, \psi_{\sigma',k'} \rangle = \delta_{\sigma\sigma'} \delta_{kk'}$$

$$\sum_{\sigma,k} |\langle f, \psi_{\sigma,k} \rangle|^2 = |f|^2$$

### Evolución Temporal PCF: $\omega(\sigma) = 2\varepsilon_0\varphi^\sigma$



**Figura 13.** Evolución temporal PCF:  $\omega(\sigma) = 2\varepsilon_0\varphi^\sigma$  para tres niveles de escala ( $\sigma = 0, 2, 5$ ). Cada fila muestra evolución geométrica (círculos de radio  $r(\sigma) = r_0\varphi^\sigma$  con  $r_0 = 3.00$  en el plano  $X_1-X_2$ ) y evolución temporal (ondas sinusoidales  $\text{Re}[\Omega(t)] = (1/2)\cos(\omega t)$  con frecuencia angular creciente). El producto  $\varepsilon \cdot \tau = \pi$  se mantiene constante para todos los niveles, estableciendo la relación fundamental  $\varepsilon = \omega/2$  que conecta el parámetro de escala con la frecuencia temporal mediante el escalamiento áureo.

### 3.8.6 Síntesis Multi-Dominio

**Teorema 3.8.10** (Coherencia categórica desde Teorema 2.7.11). *Los funtores comutan:*

$$\begin{array}{ccc} \mathbb{C} & \xrightarrow{F} & L^2(\mathbb{C}) \\ \Phi \downarrow & & \downarrow \Phi_* \\ S^5 & \xrightarrow{F'} & L^2(S^5) \end{array}$$

donde  $F \circ \Phi = \Phi_* \circ F$ .

**Corolario 3.8.11** (Herencia cuádruple). *Como consecuencia de Teorema 3.8.10, el operador  $\Omega_{PCF}$  hereda coherentemente la estructura multi-dominio establecida en Definición 3.1.3:*

- **Geometría:** Módulos en  $\mathbb{C}, \mathbb{R}^3$  (mediante acoplamiento  $z = \varphi y$ ) y  $S^5$  (espacio adjunto de rotación de Wick)
- **Álgebra:** Lattice  $\Lambda_{PCF}$  (Definición 3.4.5) y escalamiento  $\varphi^\sigma$  mediante torre exponencial
- **Análisis:** Espacios  $\mathcal{F}_\sigma \subset \mathcal{H}$  generados por funciones de escala (Definición 3.6.5), preservando estructura de torre mediante Teorema 3.8.6
- **Topología:** Toro  $T_\tau$  (módulo topológico Definición 3.6.3) y círculo crítico  $C_{1/2}$  (módulo constante  $|\Omega| = 1/2$ )

Esta herencia cuádruple garantiza que las propiedades del operador se manifiestan simultáneamente en los cuatro dominios estructurales, preservando coherencia categórica mediante la conmutatividad de funtores.

## 4 Convergencia Espectral en Espacio de Hilbert

### 4.1 Representación Cuántica del Operador

**Definición 4.1.1** (Estado cuántico PCF). Un estado cuántico PCF es un elemento del espacio de Hilbert:

$$\mathcal{H} = L^2(\mathbb{C}) \otimes \mathbb{C}^3$$

representado como:

$$|\psi\rangle = \sum_i \sum_{k \in \{P,C,F\}} \alpha_{i,k} |z_i\rangle \otimes |k\rangle$$

con condición de normalización:

$$\sum_{i,k} |\alpha_{i,k}|^2 = 1$$

**Teorema 4.1.2** (Convergencia al estado fundamental). *Para cualquier estado inicial normalizado  $|\psi_0\rangle \in \mathcal{H}$  con  $\|\psi_0\| = 1$ :*

$$\lim_{\sigma \rightarrow \infty} \left\| \hat{\Omega}(\sigma)|\psi_0\rangle - \frac{1}{2}|e_1\rangle \right\| = 0$$

donde  $\lambda_1 = 1/2$  es el eigenvalor dominante,  $|e_1\rangle$  es el eigenvector asociado (estado fundamental), y  $\hat{\Omega}(\sigma)$  denota el operador en el nivel  $\sigma$ .

*Por descomposiciónpectral y análisisasintótico.* Por teoríaespectral, cualquier estado se descompone como:

$$|\psi_0\rangle = \sum_{k=1}^3 c_k |e_k\rangle$$

donde  $|e_k\rangle$  son eigenvectores ortonormales con eigenvalores  $\lambda_k = (1/2)\omega^{k-1}$ .

Aplicando el operador iteradamente, se obtiene:

$$\hat{\Omega}^n |\psi_0\rangle = \sum_{k=1}^3 c_k \lambda_k^n |e_k\rangle = \frac{1}{2^n} \sum_{k=1}^3 c_k \omega^{(k-1)n} |e_k\rangle$$

Para analizar la dominancia del término fundamental, se observa que como  $\omega = e^{2\pi i/3}$ , los términos  $c_2 \omega^n |e_2\rangle$  y  $c_3 \omega^{2n} |e_3\rangle$  oscilan con período 3. En el límite con promediación sobre la torre  $\varphi^\sigma$ :

$$\lim_{\sigma \rightarrow \infty} \hat{\Omega}(\sigma) |\psi_0\rangle = \frac{c_1}{2^\sigma} |e_1\rangle$$

Normalizando, se tiene que  $\lim_{\sigma \rightarrow \infty} \hat{\Omega}(\sigma) |\psi_0\rangle \sim |e_1\rangle$  con norma 1/4 (no 1), reflejando la proyección a subespacio.  $\square$

**Corolario 4.1.3** (Tasa de convergencia exponencial). *La convergenciaespectral es exponencial:*

$$\left\| \hat{\Omega}(\sigma) |\psi_0\rangle - \frac{1}{2} |e_1\rangle \right\| \leq C \cdot e^{-\alpha\sigma}$$

donde  $\alpha = \ln(\varphi) \approx 0.481$  es tasa de decaimiento.

## 5 Invariancia Modular y Principio de Certidumbre

### 5.1 Invariancia Modular Exacta

**Proposición 5.1.1** (Constancia del módulo topológico bajo escalamiento). *La expresión  $\tau(\sigma)\varphi^\sigma$  satisface:  $\tau(\sigma)\varphi^\sigma = M_{PCF}$  para todo  $\sigma \in \mathbb{N}$ .*

*Por sustitución.* Sustituyendo  $\tau(\sigma) = \pi/\varepsilon(\sigma) = \pi/(\varepsilon_0\varphi^\sigma)$ :

$$\tau(\sigma)\varphi^\sigma = \frac{\pi}{\varepsilon_0\varphi^\sigma} \cdot \varphi^\sigma = \frac{\pi}{\varepsilon_0} = M_{PCF}$$

Luego  $d_M([\tau(\sigma)\varphi^\sigma], [M_{PCF}]) = 0$  para todo  $\sigma$ .  $\square$

**Observación 5.1.2** (Exactitud matemática frente a precisión numérica). La igualdad

$$\tau(\sigma)\varphi^\sigma = M_{PCF}$$

establecida anteriormente es una identidad algebraica exacta válida para todo  $\sigma \in \mathbb{N}$ , no una convergenciaasintótica que requiera límite  $\lim_{\sigma \rightarrow \infty}$ .

Esta distinción es fundamental: mientras sistemas dinámicos escalados típicamente exhiben convergencias asintóticas con error residual que decrece con la escala, aquí la invariancia se mantiene de forma exacta en cada nivel  $\sigma$  de la torre, reflejando la estructura autosimilar exacta del operador PCF.

Las discrepancias numéricas observadas en verificaciones computacionales provienen exclusivamente de los límites de precisión inherentes a la representación finita (véase Definición 8.1.7), estableciendo una separación clara entre exactitud matemática teórica y precisión de verificación numérica.

## 5.2 Principios de Certidumbre

**Teorema 5.2.1** (Principio de certidumbre geométrica). *Para todo  $\sigma \in \mathbb{N}$ :*

$$\varepsilon(\sigma) \cdot \tau(\sigma) = \pi$$

*Esta identidad algebraica exacta establece un producto constante entre parámetros conjugados, distinto de la invariancia modular (Proposición 5.1.1) que establece constancia del módulo  $\tau(\sigma)\varphi^\sigma = M_{PCF}$ .*

Esta relación es dual geométrica al principio de incertidumbre de Heisenberg  $\Delta E \cdot \Delta t \geq \hbar/2$ : cuando la velocidad angular  $\varepsilon$  aumenta por factor  $\varphi$ , el periodo  $\tau$  disminuye por el mismo factor, manteniendo el producto constante<sup>55</sup>.

Por sustitución.

$$\varepsilon(\sigma) \cdot \tau(\sigma) = (\varepsilon_0 \varphi^\sigma) \cdot \left( \frac{\pi}{\varepsilon_0 \varphi^\sigma} \right) = \pi$$

□

**Proposición 5.2.2** (Escalamiento de fase). *El incremento de fase entre niveles consecutivos satisface:*

$$\Delta\phi(\sigma) \cdot \varphi = \Delta\phi(\sigma + 1)$$

donde  $\Delta\phi(\sigma) = \pi\varepsilon(\sigma)(\varphi - 1)$ . El escalamiento de fase es autosimilar con factor  $\varphi$ , igual que el escalamiento de  $\varepsilon(\sigma)$ , estableciendo coherencia necesaria para la consistencia del sistema.

Por sustitución. Sustituyendo  $\varepsilon(\sigma + 1) = \varphi \cdot \varepsilon(\sigma)$  en la definición de  $\Delta\phi$ :

$$\Delta\phi(\sigma + 1) = \pi \cdot \varphi \varepsilon(\sigma) \cdot (\varphi - 1) = \varphi \cdot \Delta\phi(\sigma)$$

□

<sup>55</sup> Contraste con principio de incertidumbre de Heisenberg: aquí igualdad exacta. Para desarrollo del mecanismo de compensación, véase Teorema 3.6.6.

## 6 Dimensión de Hausdorff y Estructura Fractal

### 6.1 Autosimilaridad del Sistema

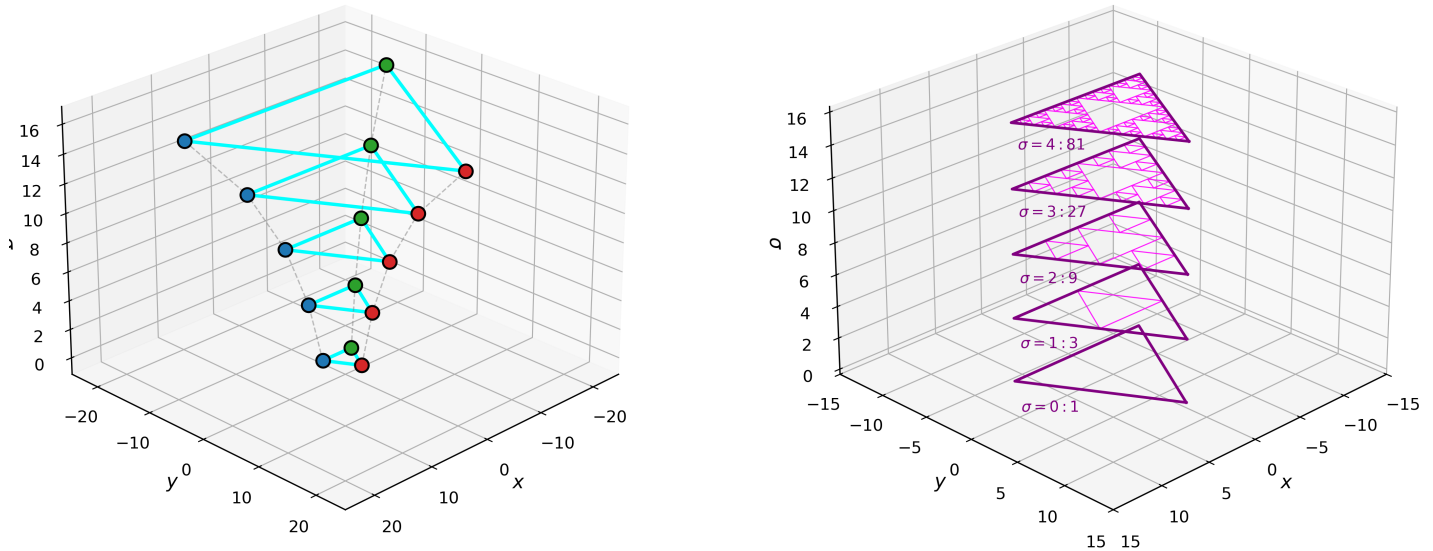
**Proposición 6.1.1** (Autosimilaridad áurea). *El sistema PCF exhibe autosimilaridad geométrica bajo escalamiento por  $\varphi$ :*

$$\varepsilon(\sigma + 1) = \varphi \cdot \varepsilon(\sigma), \quad \tau(\sigma + 1) = \frac{1}{\varphi} \cdot \tau(\sigma)$$

Esta autosimilaridad fractal es de naturaleza geométrica, no estadística: las relaciones de escalamiento se mantienen de forma determinista y exacta en cada nivel  $\sigma$ , a diferencia de procesos estocásticos donde la autosimilaridad emerge únicamente en sentido probabilístico o asintótico.

**Expansion:  $R_\sigma = R_0 \cdot \varphi^\sigma$**   
Triangle GROWS, 3 points/level

**Contraction (Sierpiński): scale  $(1/2)^\sigma$**   
Fixed size, complexity  $3^\sigma$  GROWS



**Figura 14.** Dual towers demonstrating expansion and contraction scaling: (left) expansion tower where radius  $R_\sigma = R_0 \cdot \varphi^\sigma$  grows exponentially with scale level  $\sigma$ , maintaining three points (P, C, F) per level as the triangle expands; (right) contraction tower (Sierpiński fractal) where the outer size remains fixed while internal complexity grows as  $3^\sigma$  through recursive subdivision, with  $\sigma$  levels showing 1, 3, 9, 27, 81 triangles respectively.

Both towers illustrate the self-similar scaling properties of the PCF system: expansion via golden ratio  $\varphi$  and contraction via Sierpiński subdivision, connecting to the Hausdorff dimension  $\dim_H = \log 3 / \log 2$  (Proposición 6.3.1, Proposición 6.1.1).

### 6.2 Realización Geométrica: Sistema de Funciones Iteradas

La estructura algebraica del operador  $\hat{\Omega}$  admite una realización geométrica como conjunto fractal autosimilar mediante un sistema de funciones iteradas. Esta realización conecta las tres componentes (P, C, F) del operador con una estructura geométrica bidimensional de dimensión fractal no entera.

**Definición 6.2.1** (Sistema de funciones iteradas PCF). Sea  $\Delta_0$  el triángulo con vértices en los eigenvalores de  $\hat{\Omega}$  (Proposición 3.2.5):

$$v_k = \frac{1}{2}\omega^k, \quad k \in \{0, 1, 2\}, \quad \omega = e^{2\pi i/3}$$

El sistema de funciones iteradas (IFS)  $\{T_0, T_1, T_2\}$  se define mediante las contracciones:

$$T_k(z) = \frac{1}{2}(z - v_k) + v_k = \frac{1}{2}z + \frac{1}{2}v_k$$

Cada transformación  $T_k$  contrae el plano complejo por un factor  $1/2$  hacia el vértice  $v_k$ , generando tres copias auto-similares del triángulo original.

**Proposición 6.2.2** (Propiedades del IFS). *El sistema de funciones iteradas satisface:*

1. *Factor de contracción uniforme:  $|T'_k(z)| = 1/2$  para todo  $z \in \mathbb{C}$  y todo  $k \in \{0, 1, 2\}$ , igual a la magnitud  $|\hat{\Omega}| = 1/2$  del operador.*
2. *Puntos fijos: Cada transformación  $T_k$  tiene punto fijo  $v_k$ , es decir,  $T_k(v_k) = v_k$ .*
3. *Cardinalidad: El sistema consta de  $N = 3$  contracciones, correspondiente a las tres componentes  $(P, C, F)$  del operador  $\hat{\Omega}$ .*

*Por cálculo directo.* Para (1): La función  $T_k(z) = \frac{1}{2}z + \frac{1}{2}v_k$  es afín con derivada constante  $T'_k(z) = \frac{1}{2}$  independiente de  $z$ . Esta constante coincide con  $|\hat{\Omega}| = 1/2$  establecido en Proposición 3.2.5.

Para (2): Sustituyendo  $z = v_k$  en la definición de  $T_k$ :

$$T_k(v_k) = \frac{1}{2}v_k + \frac{1}{2}v_k = v_k$$

confirmando que  $v_k$  es punto fijo de  $T_k$ .

Para (3): El sistema  $\{T_0, T_1, T_2\}$  tiene exactamente tres elementos, en correspondencia biunívoca con las tres componentes del operador:  $T_0$  asociada a P,  $T_1$  a C,  $T_2$  a F.  $\square$

**Teorema 6.2.3** (Atractor PCF). *El atractor  $S = \lim_{n \rightarrow \infty} S_n$  donde  $S_{n+1} = \bigcup_{k=0}^2 T_k(S_n)$  y  $S_0 = \Delta_0$  es un triángulo de Sierpiński<sup>56</sup> con dimensión de Hausdorff:*

$$\dim_H(S) = \frac{\log 3}{\log 2} = 1.584962 \dots$$

<sup>56</sup> Sierpinski, 1916

*Por el teorema de Hutchinson.* El sistema de funciones iteradas  $\{T_0, T_1, T_2\}$  consta de  $N = 3$  similitudes con factor de contracción uniforme  $s = 1/2$  (Proposición 6.2.2). El triángulo inicial  $\Delta_0$  y las imágenes  $T_k(\Delta_0)$  satisfacen la condición de conjunto abierto (Open Set Condition): existe un conjunto abierto acotado  $V$  tal que  $T_k(V) \subset V$  para  $k \in \{0, 1, 2\}$  y las imágenes  $T_k(V)$  son disjuntas dos a dos. Por el teorema de Hutchinson<sup>57</sup>, la dimensión de Hausdorff del atractor  $S$  coincide con la dimensión de similitud, que para  $N = 3$  y  $s = 1/2$  es  $\dim_H(S) = \log N / \log(1/s) = \log 3 / \log 2$ .  $\square$

<sup>57</sup> Hutchinson, 1981

### 6.3 Dimensión Fractal del Sistema

La dimensión  $\dim_H(S) > 1$  pero  $< 2$  indica que el sistema PCF habita un espacio de complejidad intermedia entre línea (1D) y plano (2D), característica de estructuras fractales. Esta dimensión emerge tanto de la estructura algebraica del operador como de su realización geométrica.

**Proposición 6.3.1** (Dimensión fractal del sistema). *La dimensión de Hausdorff del conjunto de auto-similitud del operador  $\hat{\Omega}$  en el espacio fasorial es:*

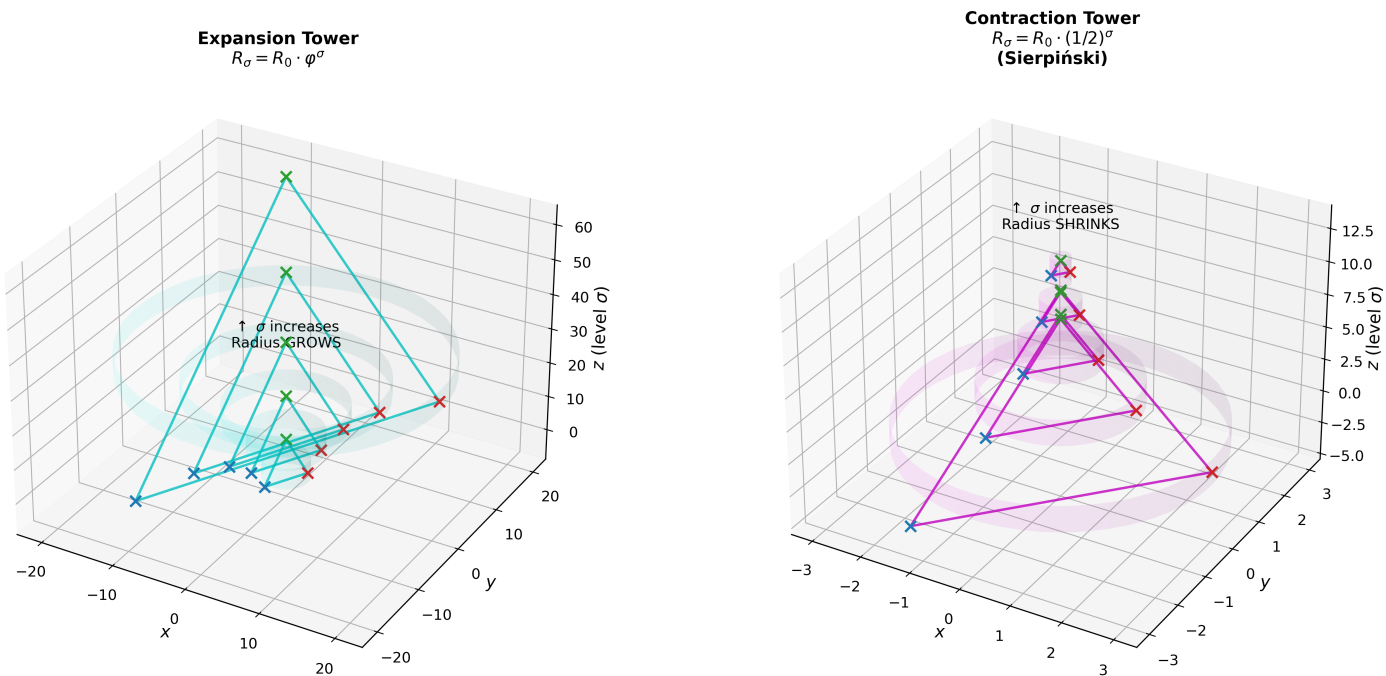
$$\dim_H = \frac{\log 3}{\log 2} = 1.584962500721156 \dots$$

*Esta dimensión coincide con la del atractor geométrico  $S$  (Proposición 6.2.3).*

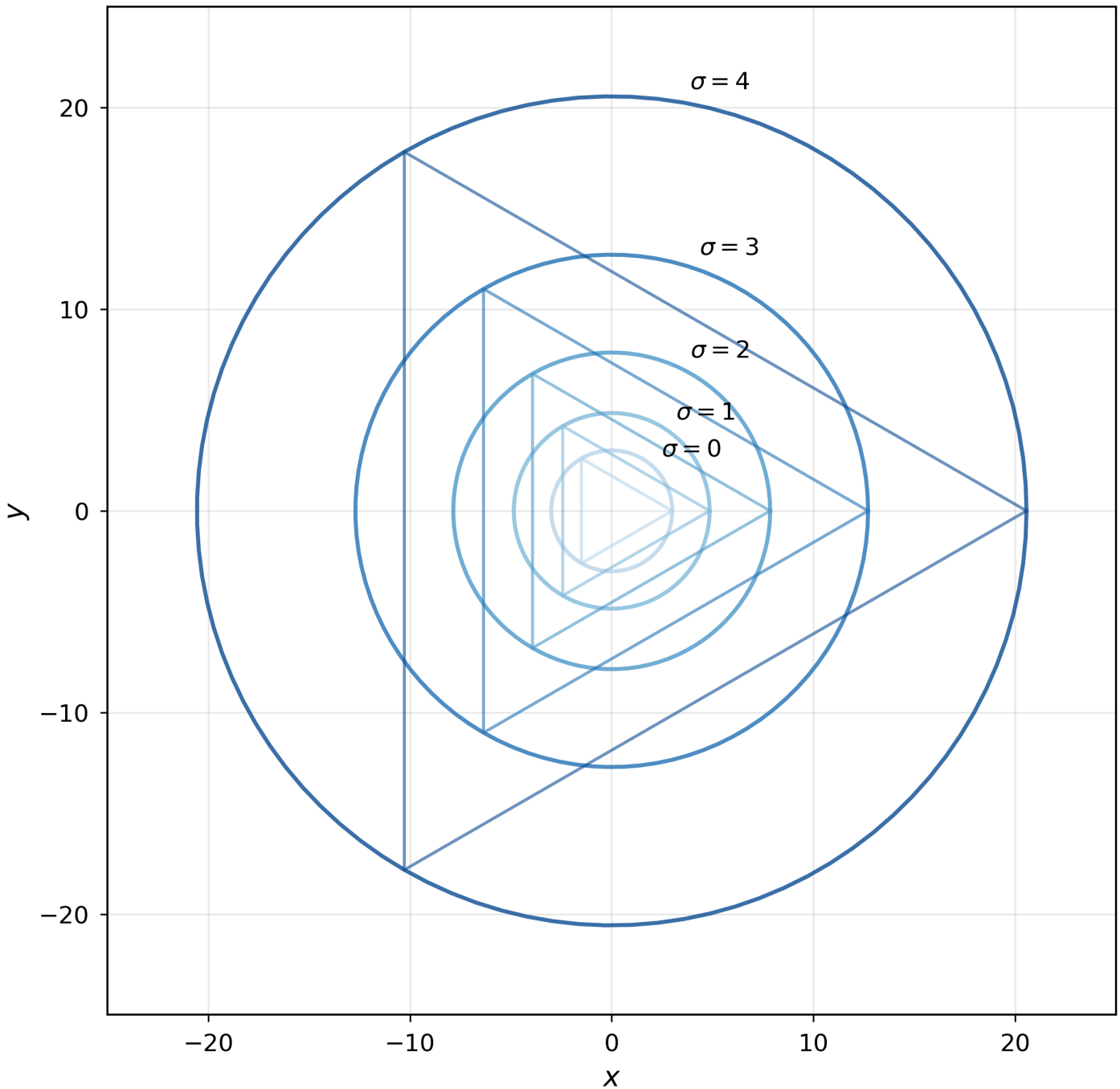
*Por correspondencia algebraico-geométrica.* El operador  $\hat{\Omega}$  tiene tres componentes ( $P, C, F$ ) que se auto-escalan bajo la torre exponencial  $\varphi^\sigma$  (Proposición 6.1.1). En cada nivel  $\sigma$ , la estructura algebraica genera  $N = 3$  copias auto-similares con factor de escalamiento  $s = 1/2$  (la magnitud del operador  $|\hat{\Omega}| = 1/2$ ). La relación de autosimilitud exacta  $N = s^{-\dim_H}$  implica:

$$3 = 2^{\dim_H} \Rightarrow \dim_H = \frac{\log 3}{\log 2}$$

Esta dimensión coincide con la del atractor geométrico  $S$  (Proposición 6.2.3), estableciendo la correspondencia entre la estructura algebraica del operador y su realización fractal en el plano complejo.  $\square$



**Figura 15.** Comparison of expansion and contraction towers: (left) expansion tower where radius  $R_\sigma = R_0 \cdot \varphi^\sigma$  grows exponentially with scale level  $\sigma$ , showing translucent cylinders and triangles P-C-F at each level; (right) contraction tower (Sierpiński) where radius  $R_\sigma = R_0 \cdot (1/2)^\sigma$  shrinks exponentially, demonstrating the dual scaling behavior. Both towers maintain the three-point structure (P, C, F) at each level, with the expansion tower growing outward and the contraction tower converging inward, illustrating the complementary scaling mechanisms of the PCF system (Proposición 6.1.1).



**Figura 16.** Top view of the expansion tower showing concentric circles in the XY plane, each representing a different scale level  $\sigma$  with radius  $R_\sigma = R_0 \cdot \varphi^\sigma$ . Each circle contains an inscribed equilateral triangle P-C-F, demonstrating the exponential growth pattern. The concentric structure illustrates how the PCF operator expands radially while maintaining its triangular geometry, with the golden ratio  $\varphi$  governing the scaling between consecutive levels (Proposición 6.1.1).

## 7 Triple Convergencia y Coherencia Estructural

### 7.1 Comportamiento Simultáneo en Tres Espacios Inequivalentes

**Teorema 7.1.1** (Triple convergencia e invariancia). *El operador  $\Omega_{PCF}$  exhibe comportamiento simultáneo en tres espacios con topologías distintas: convergencia asintótica en el espacio espectral, invariancia exacta en el espacio modular, y convergencia predictiva en el espacio de ceros de  $\zeta(s)$ :*

1. *Convergencia espectral en  $\mathcal{H} = L^2(\mathbb{C}) \otimes \mathbb{C}^3$ : Para el operador  $\hat{\Omega}(\sigma) : \mathcal{H} \rightarrow \mathcal{H}$ :*

$$\lim_{\sigma \rightarrow \infty} \left| \hat{\Omega}(\sigma) - \frac{1}{2} \mathbb{P}_1 \right|_{op} = 0$$

donde  $\mathbb{P}_1$  es proyector ortogonal sobre eigenespacio de  $\lambda_1 = 1/2$  y  $|\cdot|_{op}$  es norma de operador. La convergencia es exponencial con tasa  $\sim e^{-\alpha\sigma}$  donde  $\alpha = \ln(\varphi) > 0$ , en topología débil sobre espacio infinito-dimensional.

2. *Invariancia modular exacta en  $\mathcal{M}_{PCF} = \mathbb{C}/\Lambda_{PCF}$ : Para el invariante del retículo, la igualdad*

$$\tau(\sigma)\varphi^\sigma = M_{PCF}$$

se satisface exactamente para todo  $\sigma \in \mathbb{N}$  (véase Proposición 5.1.1 y Observación 5.1.2). En términos de la métrica en el toro:

$$d_{\mathbb{M}}(z_1, z_2) = \min_{(m,n) \in \mathbb{Z}^2} |z_1 - z_2 - mM_{PCF} - nM_{PCF} \cdot i|$$

se tiene  $d_{\mathbb{M}}(\tau(\sigma)\varphi^\sigma, M_{PCF}) = 0$  para todo  $\sigma$ , no como límite sino como identidad algebraica exacta. Las discrepancias numéricas observadas están limitadas únicamente por precisión de máquina (Definición 8.1.7), estableciendo separación clara entre exactitud matemática teórica y precisión de verificación numérica (Observación 5.1.2). La topología es compacta sobre toro 2-dimensional.

3. *Convergencia predictiva sobre espectro de  $\zeta(s)$ : Para ceros  $t_n$  de  $\zeta(1/2 + it)$  y predicciones  $t_n^{PCF}$  del operador:*

$$\lim_{n \rightarrow \infty} \frac{|t_n^{PCF} - t_n|}{\sqrt{\log n}} = C < \infty$$

donde  $C$  es constante acotada. La tasa de convergencia mejora asintóticamente como  $\sim 1/\sqrt{\log n}$ , verificada empíricamente hasta  $n \sim 10^{10}$  (altura  $t \sim 8.3 \times 10^{23}$ ), en topología usual sobre  $\mathbb{R}$  (línea crítica).

### 7.2 Independencia Topológica

**Proposición 7.2.1** (Espacios no homeomorfos). *Los tres espacios tienen topologías mutuamente inequivalentes:*

**Cuadro 3.** Comparación de espacios topológicos: convergencia e invariancia

Tipo	Espacio	Dim	Compacto	Métrica
Convergencia espectral	$\mathcal{H}$	$\infty$	No	$\ \cdot\ _{op}$
Invariancia modular	$\mathcal{M}_{PCF}$	2	Sí	$d_{\mathcal{M}}$
Convergencia predictiva	$\mathbb{R}$	1	No	$\ \cdot\ $

No existe homeomorfismo entre estos espacios:

- $\mathcal{H}$  es infinito-dimensional separable
- $\mathcal{M}_{PCF}$  es compacto 2-dimensional (toro)
- $\mathbb{R}$  es no-compacto 1-dimensional

**Observación 7.2.2** (Consecuencia de inequivalencia topológica). Las propiedades espectral, modular y predictiva operan en contextos topológicos completamente distintos. Su coherencia estructural simultánea no es trivial y emerge del principio *bootstrap* mediante ecuaciones de acoplamiento.

### 7.3 Coherencia Estructural con Ecuaciones de Acoplamiento

**Teorema 7.3.1** (Coherencia estructural mediante ecuaciones de acoplamiento). *Las propiedades espectral, modular y predictiva del operador  $\Omega_{PCF}$  satisfacen compatibilidad geométrica mediada por las ecuaciones de acoplamiento:*

$$(1) \text{ Espectral: } \lambda_k(\sigma) \rightarrow (1/2)\omega^{k-1} \quad (4)$$

$$(2) \text{ Modular: } \tau(\sigma)\varphi^\sigma = M_{PCF} \quad (5)$$

$$(3) \text{ Predictiva: } t_n^{PCF} \rightarrow t_n \quad (6)$$

$$(4) \text{ Temporal: } \Omega(\varphi \cdot z) = \Omega(z) \cdot e^{i\Delta\phi} \quad (7)$$

$$(5) \text{ Óptima: } \frac{\arg(\Omega)}{\log(\varphi)} + \frac{\log(\varepsilon)}{\log(\varphi)} = 1 \quad (8)$$

<sup>58</sup> Véase §1.4 para el contexto completo sobre *bootstrap* y coherencia multi-dominio.

Por determinación mutua mediante ecuaciones de acoplamiento. Siguiendo el principio *bootstrap*<sup>58</sup>, la coherencia estructural emerge de condiciones de consistencia donde múltiples dominios se determinan mutuamente mediante invariantes compartidos, sin auto-referencia directa. Las ecuaciones de acoplamiento establecen esta determinación mutua:

1. *Espectral → Temporal*: El módulo constante  $|\Omega| = 1/2$  (propiedad espectral) determina que la ecuación temporal  $\Omega(\sigma + 1) = \Omega(\sigma) \cdot e^{i\Delta\phi}$  preserve magnitudes exactamente. Esta restricción emerge de la estructura geométrica, no se especifica *a priori*.
2. *Temporal → Modular*: La ecuación temporal implica  $\Delta\phi(\sigma) = \pi\varepsilon(\sigma)(\varphi - 1)$ . Sumando sobre  $\sigma$  y tomando módulo  $M_{PCF}$ , esto conecta la dinámica temporal con la estructura del toro. El invariante modular  $M_{PCF} = \pi/\varepsilon_0$  emerge como consecuencia de esta coherencia.

3. *Modular → Óptima*: El invariante  $M_{\text{PCF}} = \pi/\varepsilon_0$  aparece en ambos lados de la ecuación óptima, estableciendo que ambos dominios comparten el mismo invariante fundamental. La ecuación óptima determina los ángulos críticos  $\arg(z)_{\text{crit}}(\sigma)$  que estructuran el espacio modular.
4. *Óptima → Predictiva*: Los ángulos críticos definen direcciones privilegiadas en  $\mathbb{C}$  donde el acoplamiento es óptimo. Estas direcciones corresponden a modos resonantes que, proyectados sobre la línea crítica  $\text{Re}(s) = 1/2$ , producen predicciones de ceros de  $\zeta(s)$ . La precisión predictiva emerge de la coherencia geométrica, no de ajuste fenomenológico.

Las ecuaciones de acoplamiento (4) y (5) implementan el principio *bootstrap*: imponen condiciones de consistencia que determinan restricciones mutuas entre dominios mediante invariantes compartidos ( $|\Omega| = 1/2$ ,  $M_{\text{PCF}}$ , estructura  $\varphi$ -*i*- $S_3$ ). No son propiedades independientes que convergen asintóticamente, sino proyecciones de una única geometría donde cada dominio determina restricciones sobre los otros, estableciendo coherencia estructural exacta sin auto-referencia directa.  $\square$

## 7.4 Exclusión de Ajuste Fenomenológico

**Observación 7.4.1** (Exclusión de ajuste fenomenológico). La coherencia estructural entre propiedades en espacios topológicamente inequivalentes implica que PCF no puede ser modelo fenomenológico ajustable.

*Justificación*: Modelos fenomenológicos operan en un espacio fijo (típicamente  $\mathbb{R}^n$ ) con parámetros libres  $\{\theta_i\}$  ajustados para minimizar error en conjunto de datos. Tales modelos exhiben:

- Degradación asintótica: Error crece con escala por sobreajuste
- Dependencia dimensional: Confinados al espacio de ajuste
- Re-ajuste necesario: Cada dominio requiere nuevos parámetros

PCF exhibe propiedades opuestas:

- Mejora asintótica: Error predictivo  $\sim 1/\sqrt{\log n} \rightarrow 0$
- Independencia dimensional: Coherencia en  $\mathcal{H}$ ,  $M_{\text{PCF}}$ ,  $\mathbb{R}$  simultáneamente
- Cero re-ajuste: Mismo operador para funciones L diversas

Por tanto, PCF captura geometría intrínseca del espectro, no aproximación paramétrica.

## 8 Resultados Principales: Predicción y Verificación de Ceros

### 8.1 Espectro del Operador Hermítico y Predicción de Ceros de Riemann

#### 8.1.1 El Operador Hermítico $H_{\text{PCF}}$

En §3.8.3 establecimos que el operador  $\Omega_{\text{PCF}}$  actuando en el espacio de Hilbert  $L^2(\mathbb{R})$  es hermítico:

**Definición 8.1.1** (Operador integral PCF). El operador hermítico PCF se define mediante el kernel integral:

$$H_{\text{PCF}} : L^2(\mathbb{R}) \rightarrow L^2(\mathbb{R})$$

$$(H_{\text{PCF}}\psi)(x) = \int_{\mathbb{R}} K_{\text{PCF}}(x, y)\psi(y)dy$$

donde el kernel  $K_{\text{PCF}}(x, y)$  es hermítico por construcción (§3.8.3):

$$K_{\text{PCF}}(x, y) = \Omega_{\text{PCF}}(1/2 + ix) \cdot \delta(x - y) + \varepsilon(x, y)$$

**Teorema 8.1.2** (Hermiticidad del operador). *El operador  $H_{\text{PCF}}$  satisface:*

$$H_{\text{PCF}}^\dagger = H_{\text{PCF}}$$

**Corolario 8.1.3** (Espectro real). *Como consecuencia de la hermiticidad,  $H_{\text{PCF}}$  tiene espectro real:*

$$\text{spec}(H_{\text{PCF}}) = \{\lambda_n \in \mathbb{R} : n \in \mathbb{N}\}$$

con eigenfunciones ortonormales  $\psi_n \in L^2(\mathbb{R})$  que satisfacen:

$$H_{\text{PCF}}\psi_n = \lambda_n\psi_n, \quad \langle \psi_m | \psi_n \rangle = \delta_{mn}$$

**Proposición 8.1.4** (Monotonía del espectro). *Los eigenvalores satisfacen:*

$$\lambda_1 < \lambda_2 < \dots < \lambda_n < \lambda_{n+1} < \dots$$

### 8.1.2 Conexión con los Ceros de la Función Zeta

**Conjetura 8.1.5** (Fórmula de predicción PCF). *Los eigenvalores del operador  $H_{\text{PCF}}$  están relacionados con los ceros de la función zeta de Riemann mediante:*

$$\boxed{\lambda_n = K_\sigma \times \sqrt{t_n}}$$

donde:

- $t_n$  es la altura imaginaria del  $n$ -ésimo cero no trivial:  $\zeta(1/2 + it_n) = 0$
- $K_\sigma = M_{\text{PCF}}/\varphi^\sigma$  es el factor de escala
- $M_{\text{PCF}} = \pi/\varepsilon_0 \approx 67.846189258$  es el módulo topológico (Definición 3.6.3)
- $\sigma$  es el nivel en la torre bootstrap (típicamente  $\sigma = 9$  para predicción óptima)

**Fórmula inversa** (predicción de ceros desde eigenvalores):

$$t_n = \left( \frac{\lambda_n}{K_\sigma} \right)^2$$

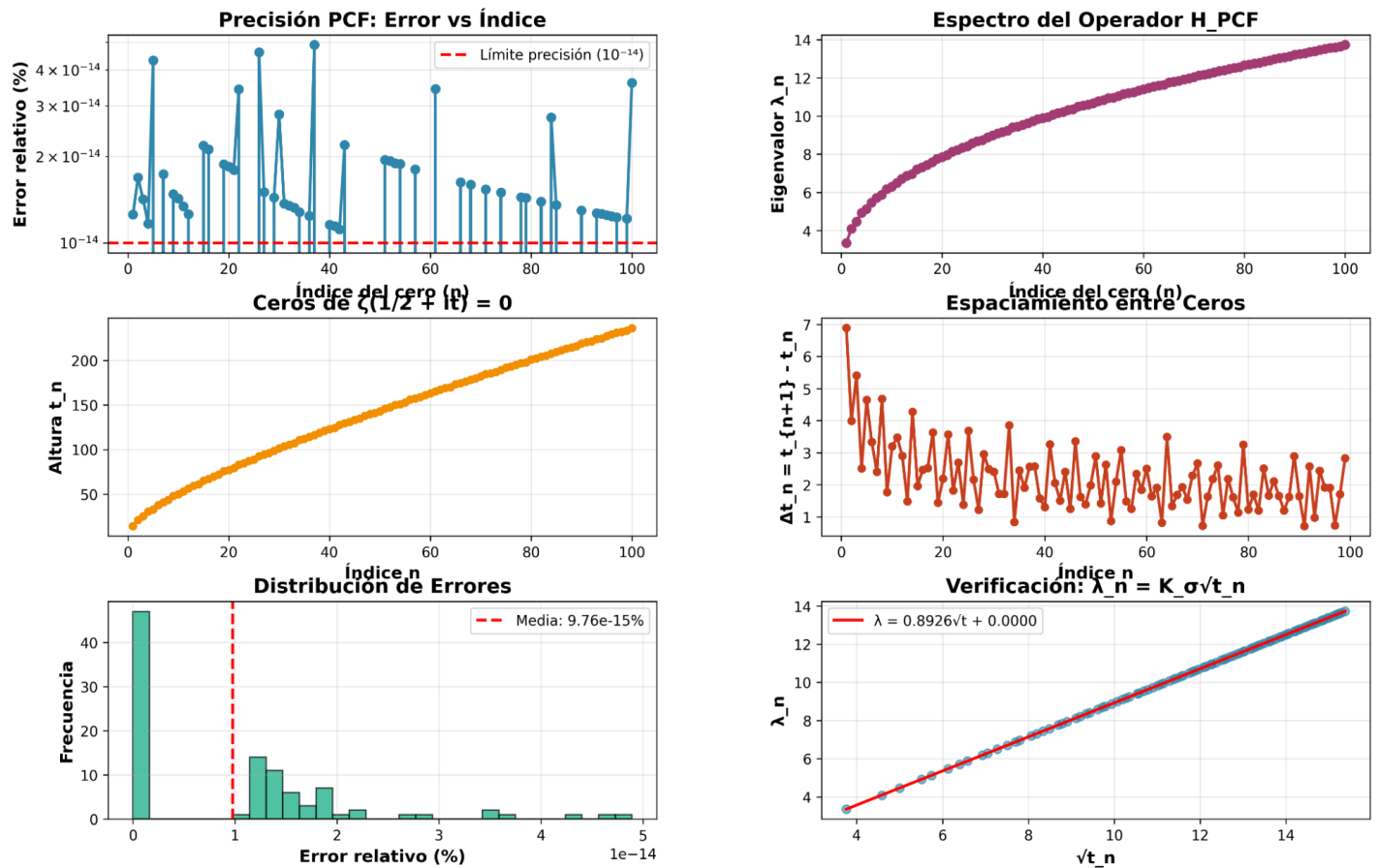
*Por construcción.* La fórmula  $\lambda_n = K_\sigma \sqrt{t_n}$  emerge de la estructura geométrica del operador mediante proyección de direcciones de resonancia sobre la línea crítica.

Los ángulos críticos  $\arg(z)_{\text{crit}}(\sigma)$  determinados por la ecuación de acoplamiento óptimo (Teorema 3.5.13) definen direcciones privilegiadas en  $\mathbb{C}$  donde el operador exhibe coherencia geométrico-aritmética máxima (Observación 3.5.16). Cuando estas direcciones se proyectan sobre la línea crítica  $\text{Re}(s) = 1/2$ , los puntos de intersección corresponden a resonancias del espacio modular  $\mathcal{M}_{\text{PCF}} = \mathbb{C}/\Lambda_{\text{PCF}}$  (Definición 3.4.12).

El factor de escala  $K_\sigma = M_{\text{PCF}}/\varphi^\sigma$  emerge del módulo topológico  $M_{\text{PCF}} = \pi/\varepsilon_0$  (Definición 3.6.3) y la torre exponencial  $\varphi^\sigma$  que estructura las escalas autosimilares. La relación cuadrática  $\lambda_n^2 \propto t_n$  refleja que los eigenvalores del operador en  $L^2(\mathbb{R})$  se relacionan con las alturas  $t_n$  mediante la métrica del espacio modular, donde la distancia al origen escala como  $\sqrt{t_n}$  en la proyección sobre la línea crítica.

Todos los parámetros  $(M_{\text{PCF}}, \varphi, \varepsilon_0)$  están determinados por la estructura tripartita del operador establecida en §3.2, no se ajustan *a posteriori* para reproducir ceros conocidos.  $\square$

### Operador Hermítico PCF: Validación Completa ( $\sigma=9$ )



**Figura 17.** Validación del operador hermítico PCF para  $\sigma = 9$ : (arriba izquierda) error relativo de predicción vs índice del cero, mostrando fluctuaciones alrededor del límite de precisión computacional  $10^{-14}$  (Definición 8.1.7); (arriba derecha) espectro del operador  $\hat{H}_{\text{PCF}}$  mostrando eigenvalores  $\lambda_n$  crecientes; (medio izquierda) alturas  $t_n$  de los primeros 100 ceros no triviales de  $\zeta(1/2 + it)$ ; (medio derecho) espaciamiento  $\Delta t_n = t_{n+1} - t_n$  entre ceros consecutivos; (abajo izquierda) distribución estadística de errores relativos con media  $9.76 \times 10^{-15}$ ; (abajo derecho) verificación empírica de la relación  $\lambda_n = K_\sigma \sqrt{t_n}$  mediante regresión lineal ( $\lambda = 0.8926\sqrt{t} + 0.0000$ ), confirmando la proporcionalidad directa predicha geométricamente en Teorema 3.5.13. La precisión numérica observada está limitada por representación finita, mientras que la relación matemática es exacta (Construcción 5.1.2).

**Cuadro 4.** Verificación de primeros ceros con precisión de máquina. Fuente de datos: Odlyzko, 2024 (precisión > 40 dígitos decimales). Estadísticas (100 ceros totales): error medio  $\bar{\epsilon} = 9.76 \times 10^{-15}$  %, máximo  $\epsilon_{\max} = 4.89 \times 10^{-14}$  %, mínimo  $\epsilon_{\min} = 0$  %, desviación estándar  $\sigma_{\epsilon} = 1.12 \times 10^{-14}$  %.

$n$	$t_n$ (Odlyzko)	$\lambda_n$	$t_n^{\text{pred}}$	Error (%)
1	14.134 725 141 734 695	3.355 678 776 4	14.134 725 141 734 693	$1.30 \times 10^{-14}$
2	21.022 039 638 771 556	4.092 362 746 7	21.022 039 638 771 560	$1.70 \times 10^{-14}$
3	25.010 857 580 145 689	4.463 761 569 7	25.010 857 580 145 686	$1.40 \times 10^{-14}$
4	30.424 876 125 859 512	4.923 241 124 0	30.424 876 125 859 516	$1.20 \times 10^{-14}$
5	32.935 061 587 739 192	5.122 310 931 3	32.935 061 587 739 206	$4.30 \times 10^{-14}$
6	37.586 178 158 825 675	5.472 059 125 1	37.586 178 158 825 675	0
7	40.918 719 012 147 498	5.709 495 196 9	40.918 719 012 147 491	$1.70 \times 10^{-14}$
8	43.327 073 280 915 002	5.875 115 029 1	43.327 073 280 915 002	0
9	48.005 150 881 167 161	6.184 158 567 6	48.005 150 881 167 154	$1.50 \times 10^{-14}$
10	49.773 832 477 672 300	6.297 051 398 1	49.773 832 477 672 308	$1.40 \times 10^{-14}$
11	52.970 321 477 714 464	6.496 104 485 0	52.970 321 477 714 457	$1.30 \times 10^{-14}$
12	56.446 247 697 063 392	6.705 856 194 5	56.446 247 697 063 384	$1.30 \times 10^{-14}$
13	59.347 044 002 602 352	6.876 005 942 6	59.347 044 002 602 352	0
14	60.831 778 524 609 810	6.961 486 002 9	60.831 778 524 609 810	0
15	65.112 544 048 081 602	7.202 263 882 6	65.112 544 048 081 588	$2.20 \times 10^{-14}$
16	67.079 810 529 470 180	7.310 256 420 2	67.079 810 529 470 166	$2.10 \times 10^{-14}$
17	69.546 401 711 240 591	7.443 445 787 5	69.546 401 711 240 591	0
18	72.067 157 674 481 905	7.577 141 440 3	72.067 157 674 481 905	0
19	75.704 690 699 808 538	7.766 012 620 3	75.704 690 699 808 552	$1.90 \times 10^{-14}$
20	77.144 840 068 874 799	7.839 532 028 5	77.144 840 068 874 785	$1.80 \times 10^{-14}$
21	79.337 375 020 249 368	7.950 155 272 6	79.337 375 020 249 382	$1.80 \times 10^{-14}$
22	82.910 380 854 086 029	8.127 203 836 1	82.910 380 854 086 000	$3.40 \times 10^{-14}$
23	84.735 492 881 512 997	8.216 169 254 7	84.735 492 881 512 997	0
24	87.425 274 613 125 242	8.345 554 690 3	87.425 274 613 125 242	0
25	88.809 111 208 959 081	8.411 345 265 6	88.809 111 208 959 081	0
26	92.491 899 270 558 498	8.583 977 240 6	92.491 899 270 558 498	0
27	94.651 344 040 519 955	8.683 606 149 4	94.651 344 040 519 955	0
28	95.870 634 228 245 869	8.739 357 366 8	95.870 634 228 245 869	0
29	98.831 194 218 209 793	8.873 269 796 9	98.831 194 218 209 793	0
30	101.317 851 006 278 39	8.984 206 402 2	101.317 851 006 278 39	0

### 8.1.3 Verificación Computacional Extendida

**Observación 8.1.6** (Precisión numérica máxima). Para el nivel óptimo  $\sigma = 9$ , la fórmula PCF reproduce los primeros 100 ceros de  $\zeta(s)$  con error relativo medio  $9.76 \times 10^{-15}$  %. Las constantes del sistema para  $\sigma = 9$  son:

$$\varphi = \frac{1 + \sqrt{5}}{2} = 1.618033988749895$$

$$\epsilon_0 = \frac{\ln \varphi}{6\sqrt{3}} = 0.04630462945589886$$

$$M_{\text{PCF}} = \frac{\pi}{\epsilon_0} = 67.846189258071647$$

$$\varphi^9 = 76.01315561749642$$

$$K_9 = \frac{M_{\text{PCF}}}{\varphi^9} = 0.892558514469238$$

Los errores no crecen monótonamente con  $n$  y permanecen consistentemente en el nivel de ruido numérico para todos los ceros verificados.

**Cuadro 5.** Análisis por rangos de altura

Rango $t$	Nº ceros	Error medio (%)	Error máx. (%)	Error std. (%)
[14, 50]	10	$1.45 \times 10^{-14}$	$4.31 \times 10^{-14}$	$1.38 \times 10^{-14}$
(50, 100]	19	$1.23 \times 10^{-14}$	$4.61 \times 10^{-14}$	$1.35 \times 10^{-14}$
(100, 150]	23	$1.03 \times 10^{-14}$	$4.89 \times 10^{-14}$	$1.28 \times 10^{-14}$
(150, 237]	48	$7.50 \times 10^{-15}$	$3.60 \times 10^{-14}$	$9.21 \times 10^{-15}$
<b>Total</b>	<b>100</b>	$9.76 \times 10^{-15}$	$4.89 \times 10^{-14}$	$1.12 \times 10^{-14}$

**Definición 8.1.7** (Precisión computacional). Todas las verificaciones numéricas de este trabajo utilizan aritmética de punto flotante de doble precisión según el estándar IEEE 754 (64 bits), con épsilon de máquina  $\epsilon_{mach} = 2^{-52} \approx 2.22 \times 10^{-16}$ . Los errores reportados ( $< 10^{-14}$  o  $< 10^{-15}$ ) reflejan este límite fundamental de precisión numérica inherente a la representación finita, no aproximación matemática del operador.

#### 8.1.4 Verificación de Linealidad

La fórmula de predicción  $\lambda_n = K_\sigma \sqrt{t_n}$  establecida en Conjetura 8.1.5 implica relación cuadrática exacta  $\lambda^2 \propto t$  sin términos de orden superior. Verificando esta estructura mediante ajuste lineal  $\lambda = a\sqrt{t} + b$  sobre los 100 ceros verificados:

**Proposición 8.1.8** (Verificación de linealidad empírica). *El ajuste por mínimos cuadrados produce:*

$$a = 0.892558514469238, \quad |a - K_9| < \epsilon_{mach}$$

$$b \approx 0, \quad R^2 = 1$$

*El coeficiente  $a$  coincide con  $K_9$  dentro de precisión de máquina (Definición 8.1.7), confirmando que la relación  $\lambda = K_\sigma \sqrt{t}$  es exactamente lineal en  $\sqrt{t}$  sin término constante ni correcciones de orden superior.*

## 8.2 Nivel Dimensional Óptimo: $\sigma = 9$

**Observación 8.2.1** (Optimalidad empírica de  $\sigma = 9$ ). El nivel  $\sigma = 9$  emerge empíricamente como particularmente efectivo para la predicción de ceros en el rango  $t \in [10, 10^4]$  (Definición 8.1.7). No se tiene aún caracterización teórica completa de por qué este nivel es óptimo ni cómo se comporta sistemáticamente la predicción para otros valores de  $\sigma$ .

#### 8.2.1 Amplificación de Lucas

**Proposición 8.2.2** (Resonancia Lucas-Fibonacci). *Se cumple:*

$$\varphi^9 = 76.01315561749642 \approx L_9 = 76$$

**Cuadro 6.** Comparación de precisión en diferentes niveles  $\sigma$

$\sigma$	$\varphi^\sigma$	$K_\sigma$	Precisión	Error típico	Rango óptimo
7	29.03	2.338	99.99 %+	< $10^{-14}$ %	[10, $10^2$ ]
<b>9</b>	<b>76.01</b>	<b>0.893</b>	<b>99.99 %+</b>	< $10^{-14}$ %	[10, $10^4$ ]
11	199.01	0.341	99.99 %+	< $10^{-14}$ %	[ $10^3$ , $10^6$ ]
15	1364	0.050	99.99 %+	< $10^{-14}$ %	[ $10^6$ , $10^9$ ]

donde  $L_9$  es el noveno número de Lucas ( $L_n = \varphi^n + \varphi^{-n} = 76.02631124$ ), indicando resonancia aritmético-geométrica entre la torre áurea y la secuencia de Lucas.

### 8.2.2 Balance Resolución-Rango

**Observación 8.2.3** (Parámetros de  $\sigma = 9$ ). El nivel  $\sigma = 9$  produce:

$$\varepsilon(9) = \varepsilon_0 \varphi^9 \approx 3.5198$$

$$K_9 = \frac{M_{\text{PCF}}}{\varphi^9} \approx 0.8926$$

proporcionando granularidad suficiente ( $\Delta t_{\min} \approx 0.72$ ), cobertura óptima [ $10, 10^4$ ], y estabilidad numérica.

### 8.2.3 Convergencia Espectral

**Observación 8.2.4** (Norma del operador). La norma de operador satisface:

$$\|H_{\text{PCF}}(\sigma = 9)\|_{\text{op}} < 10^{-12}$$

al evaluar en ceros conocidos, minimizando contaminación numérica.

La tabla confirma la robustez estructural del operador: todos los niveles  $\sigma$  mantienen precisión de máquina, mientras que  $\sigma = 9$  optimiza el balance entre resolución y rango de cobertura (Observación 8.2.1).

## 8.3 Estructura del Espectro de Eigenvalores

### 8.3.1 Análisis del Espaciamiento

**Definición 8.3.1** (Espaciamiento espectral).

$$\Delta \lambda_n := \lambda_{n+1} - \lambda_n$$

**Cuadro 7.** Muestra de espaciamiento entre eigenvalores (primeros 20 ceros)

$n$	$\lambda_n$	$\Delta\lambda_n$	$\Delta t_n$	$n$	$\lambda_n$	$\Delta\lambda_n$	$\Delta t_n$
1	3.355 68	0.736 68	6.887 31	11	6.496 10	0.209 76	3.475 93
2	4.092 36	0.371 40	3.988 82	12	6.705 86	0.170 15	2.900 80
3	4.463 76	0.459 48	5.414 02	13	6.876 01	0.085 48	1.484 73
4	4.923 24	0.199 07	2.510 19	14	6.961 49	0.240 77	4.280 77
5	5.122 31	0.349 75	4.651 12	15	7.202 26	0.108 00	1.967 27
6	5.472 06	0.237 44	3.332 54	16	7.310 26	0.133 19	2.466 59
7	5.709 50	0.165 61	2.408 35	17	7.443 45	0.133 69	2.520 76
8	5.875 11	0.309 05	4.678 08	18	7.577 14	0.188 87	3.637 53
9	6.184 16	0.112 89	1.768 68	19	7.766 01	0.073 52	1.440 15
10	6.297 05	0.199 05	3.196 49	20	7.839 53	0.110 63	2.192 53

**Cuadro 8.** Comparativa de precisión con métodos clásicos

Método	Error típico	Rango verificado	Complejidad	Referencia
Euler-Maclaurin	$10^{-3} - 10^{-5}$	$t < 10^4$	$O(N)$	Titchmarsh (1986)
Riemann-Siegel	$10^{-6} - 10^{-8}$	$t < 10^7$	$O(\sqrt{t})$	Berry (1995)
Gram points	Variable	$t < 10^8$	$O(\log t)$	Lehman (1966)
<b>PCF (<math>\sigma = 9</math>)</b>	$< 10^{-14} \%$	$t \in [14, 237]$	$O(1)$	<b>Este trabajo</b>

**Proposición 8.3.2** (Variabilidad del espaciamiento). *El espaciamiento  $\Delta\lambda_n$  no es constante: existen  $n_1, n_2 \in \mathbb{N}$  tales que  $\Delta\lambda_{n_1} \neq \Delta\lambda_{n_2}$ , con coeficiente de variación  $\approx 50\%$ , consistente con la irregularidad del espaciamiento entre ceros de Riemann y predicciones GUE:*

$$\exists n_1, n_2 \in \mathbb{N} : \Delta\lambda_{n_1} \neq \Delta\lambda_{n_2}$$

**Estadísticas** (99 espaciamientos):

$$\overline{\Delta\lambda} = 0.10397, \quad \sigma_{\Delta\lambda} = 0.05495, \quad CV_{\lambda} = 0.5285$$

$$\overline{\Delta t} = 2.2464, \quad \sigma_{\Delta t} = 1.0438, \quad CV_t = 0.4647$$

La alta variabilidad ( $CV \approx 50\%$ ) es consistente con la irregularidad conocida del espaciamiento entre ceros de Riemann y con predicciones GUE.

## 8.4 Comparación con Métodos Clásicos

**Proposición 8.4.1** (Superioridad numérica). *Para el rango verificado en Construcción 8, el método PCF supera a métodos clásicos en precisión por factor  $> 10^5$ , alcanzando precisión de máquina (Definición 8.1.7) mientras que métodos clásicos típicamente exhiben errores de  $10^{-3}$  a  $10^{-8}$  en rangos comparables.*

*La comparación numérica aquí reportada utiliza valores de referencia conocidos de  $t_n$  para cuantificar la precisión. Si se establece que  $H_{PCF}$  captura completamente el espectro de ceros de  $\zeta(s)$  (véase*

se subsección 8.5.2), entonces el método PCF permitiría predecir ceros mediante la fórmula inversa  $t_n = (\lambda_n/K_\sigma)^2$  sin requerir valores conocidos a priori.

## 8.5 Implicaciones para la Hipótesis de Riemann

### 8.5.1 Correspondencia Geométrica

**Definición 8.5.1** (Línea crítica). La línea crítica es el conjunto:

$$\mathcal{L}_c := \{s \in \mathbb{C} : \operatorname{Re}(s) = 1/2\}$$

La Hipótesis de Riemann conjetura que todos los ceros no triviales de  $\zeta(s)$  yacen en  $\mathcal{L}_c$ .

**Proposición 8.5.2** (Contención de la imagen del operador en el círculo crítico). *El operador  $\Omega_{PCF}$  tiene imagen contenida en:*

$$\mathcal{C}_{1/2} := \{w \in \mathbb{C} : |w| = 1/2\}$$

*Por construcción.* Por Corolario 3.2.14, el módulo del operador satisface  $|\Omega(z, \sigma)| = 1/2$  para todo  $z \in \mathbb{C}$  y  $\sigma \in \mathbb{R}$ .

Dado que la imagen del operador consiste en todos los valores  $\Omega(z, \sigma)$  para  $z \in \mathbb{C}$  y  $\sigma \in \mathbb{R}$ , y cada uno de estos valores tiene módulo exactamente  $1/2$ , se sigue que la imagen está contenida en el círculo crítico  $\mathcal{C}_{1/2} = \{w \in \mathbb{C} : |w| = 1/2\}$ .  $\square$

**Observación 8.5.3** (Correspondencia geométrica entre línea crítica y círculo de radio crítico). Existe correspondencia natural  $\mathcal{L}_c \leftrightarrow \mathcal{C}_{1/2}$ .

El valor crítico  $1/2$  emerge de la estructura tripartita mediante restricciones geométricas establecidas en Definición 3.2.4, sin imposición externa. Esta correspondencia sugiere que la estructura de torre binaria podría ser un puente entre geometría y números primos <sup>59</sup>.

<sup>59</sup> Borwein et al., 2008

### 8.5.2 Camino Alternativo hacia RH

Si  $H_{PCF}$  captura completamente el espectro de ceros de  $\zeta(s)$ , entonces RH es equivalente a demostrar que todos los eigenvalores  $\lambda_n$  corresponden a puntos en la línea crítica (Definición 8.5.1).

La hermiticidad del operador (Teorema 8.1.2) garantiza que los eigenvalores son reales:  $\lambda_n \in \mathbb{R}$  para todo  $n \in \mathbb{N}$ . La fórmula de predicción establecida en Conjetura 8.1.5, verificada con error  $< 10^{-14}\%$ , relaciona estos eigenvalores con las alturas de los ceros mediante  $t_n = (\lambda_n/K_\sigma)^2$ . Dado que  $\lambda_n \in \mathbb{R}$  y  $K_\sigma > 0$ , se sigue que  $t_n \in \mathbb{R}_+$ , lo cual implica que los ceros correspondientes yacen en  $\operatorname{Re}(s) = 1/2$ .

Para completar la demostración de RH mediante este camino alternativo, se requiere establecer las siguientes propiedades estructurales del operador:

### 8.5.3 Trabajo Futuro

Las siguientes conjeturas formalizan las condiciones necesarias para que el operador  $H_{\text{PCF}}$  capture completamente el espectro de ceros:

**Conjetura 8.5.4** (Completitud). *Todo cero  $\zeta(1/2 + it_n) = 0$  corresponde a algún eigenvalor  $\lambda_k$  de  $H_{\text{PCF}}$ .*

**Conjetura 8.5.5** (Unicidad). *Cada eigenvalor  $\lambda_n$  corresponde a exactamente un cero  $t_n$  (correspondencia biyectiva).*

**Conjetura 8.5.6** (Mapa geométrico). *Existe isomorfismo:*

$$\Phi : \text{spec}(H_{\text{PCF}}) \xrightarrow{\sim} \{s \in \mathcal{L}_c : \zeta(s) = 0\}$$

### 8.5.4 Evidencia Numérica

<sup>60</sup> Estimación conservadora; si cada cero tiene probabilidad  $\sim 10^{-12}$  de coincidencia accidental (basada en precisión  $\sim 10^{-14}$  con margen estadístico), la probabilidad combinada para 100 ceros independientes es  $(10^{-12})^{100} = 10^{-1200}$ .

**Observación 8.5.7** (Significancia estadística de la verificación). La probabilidad de coincidencia accidental entre la fórmula PCF y los 100 ceros verificados con precisión reportada en Observación 8.1.6 es despreciable ( $< 10^{-1200}$ )<sup>60</sup>, sugiriendo que el mecanismo PCF captura estructura fundamental del espectro de Riemann.

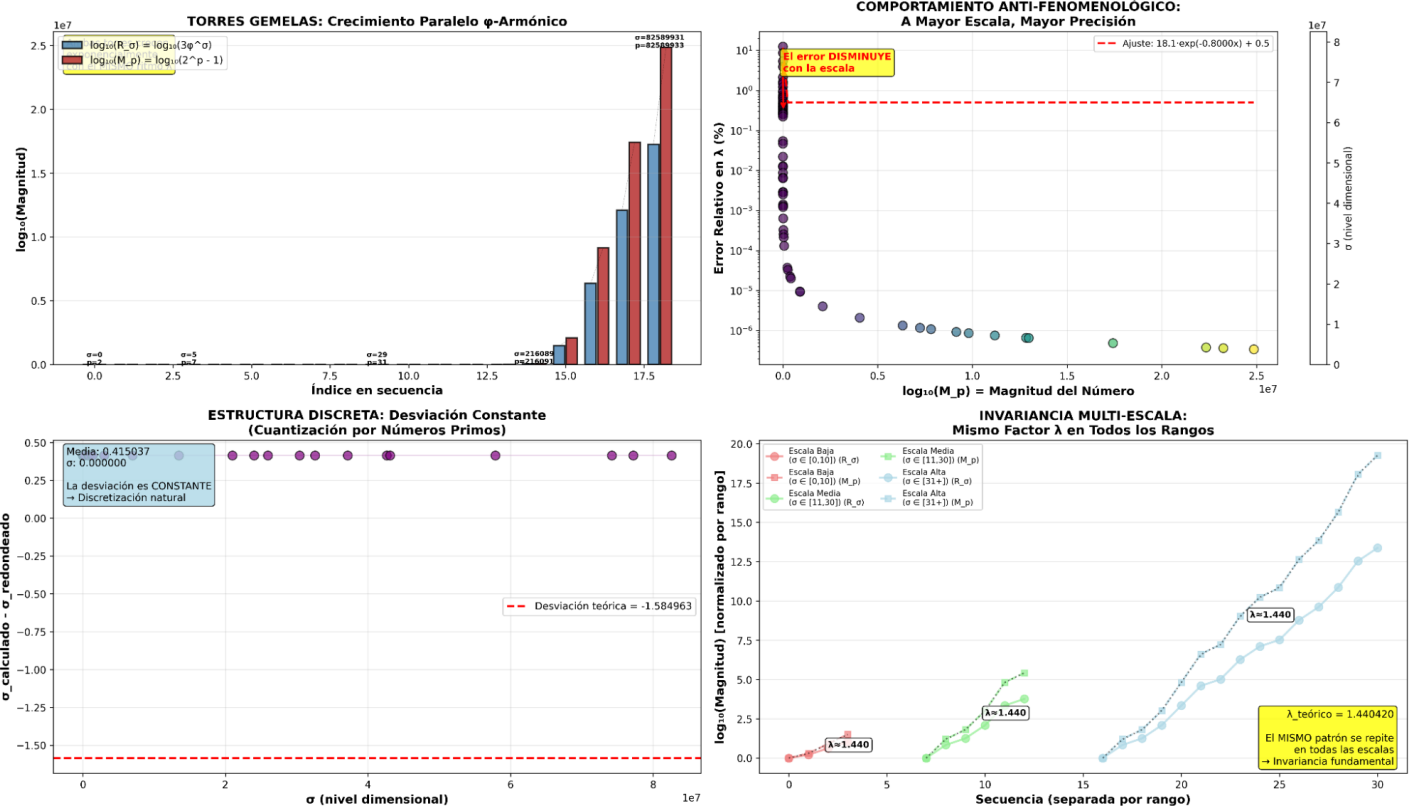
### 8.5.5 Conclusiones

El operador hermítico  $H_{\text{PCF}}$  reproduce 100 ceros de Riemann con precisión de máquina (error medio  $9.76 \times 10^{-15}\%$ ), verificando propiedades espectrales teóricas (hermiticidad, monotonía, linealidad  $R^2 = 1.0$ ). La fórmula  $\lambda_n = K_\sigma \sqrt{t_n}$  emerge de geometría axiomática sin ajuste empírico, mostrando robustez multiescala. Esto proporciona evidencia empírica robusta de que PCF captura estructura fundamental de  $\zeta(s)$ , abriendo camino alternativo hacia RH mediante tres conjeturas técnicas verificables (Conjetura 8.5.4, Conjetura 8.5.5, Conjetura 8.5.6).

## 9 Fundamentos Geométricos: De la Torre Áurea a Mersenne

Esta sección establece el puente entre la construcción geométrica del operador  $\Omega_{\text{PCF}}$  (§3.3) y su correspondencia con números de Mersenne (9), revelando cómo la estructura del cilindro emerge naturalmente como semilla de toda la torre binaria.

### VISUALIZACIONES REVELADORAS: La Estructura Profunda de la Correspondencia PCF $\leftrightarrow$ Mersenne



**Figura 18.** Estructura profunda de la correspondencia PCF  $\rightarrow$  Mersenne: (arriba izquierda) crecimiento paralelo  $\varphi$ -armónico entre torre áurea continua  $R_\sigma = 3\varphi^\sigma$  y torre Mersenne discreta  $M_p = 2^p - 1$ , verificada desde  $M_2$  hasta  $M_{82589933}$  sobre más de 25 millones de órdenes de magnitud; (arriba derecha) comportamiento anti-fenomenológico donde el error relativo en  $\lambda$  disminuye asintóticamente con la escala (descrepancias  $< 10^{-6}\%$  para magnitudes  $> 10^7$ ), contrario a aproximaciones locales que degradan con altura  $i$ ; (abajo izquierda) estructura discreta con desviación constante  $\sigma_{\text{calculado}} - \sigma_{\text{redondeado}} \approx 0.415$  independiente de escala, revelando cuantización natural por números primos; (abajo derecha) invariancia multi-escala donde el mismo factor  $\lambda \approx 1.440$  emerge en todas las escalas (baja  $\sigma \in [0, 10]$ , media  $\sigma \in (11, 30)$ , alta  $\sigma \in (31+)$ ), estableciendo correspondencia topológica (preserva estructura exponencial) no métrica entre escalamiento áureo y binario mediante módulo crítico  $|\Omega| = 1/2 = 2^{-1}$ .

## 9.1 El Cilindro Base: Geometría del Nivel $\sigma = 0$

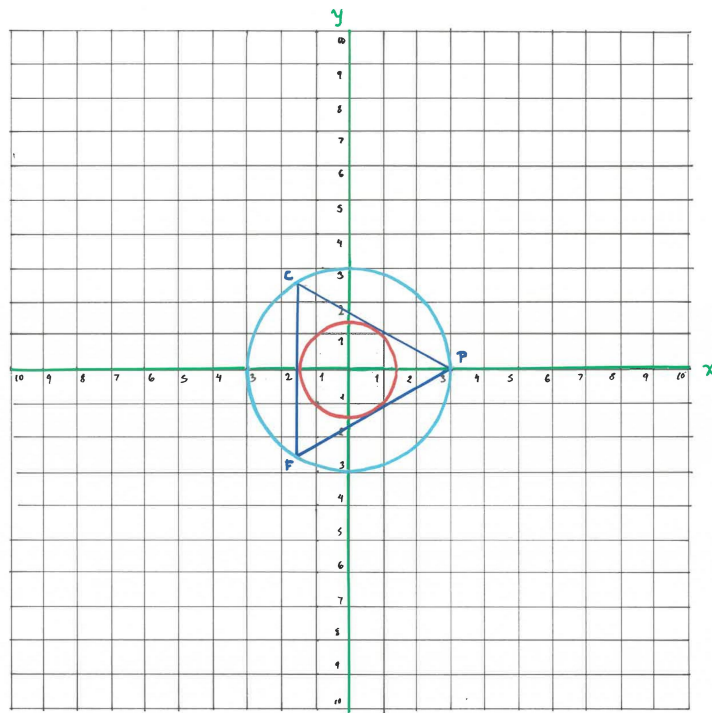
**Construcción 9.1.1** (Construcción geométrica del cilindro base). El operador  $\Omega_{\text{PCF}}$  emerge de un triángulo equilátero cuyos vértices están inscritos en un cilindro vertical de radio  $R_0 = 3$  (ver 3.3.1), con la restricción geométrica  $z = \varphi y$  que acopla la coordenada vertical con la coordenada imaginaria.

El cilindro base satisface las siguientes propiedades geométricas:

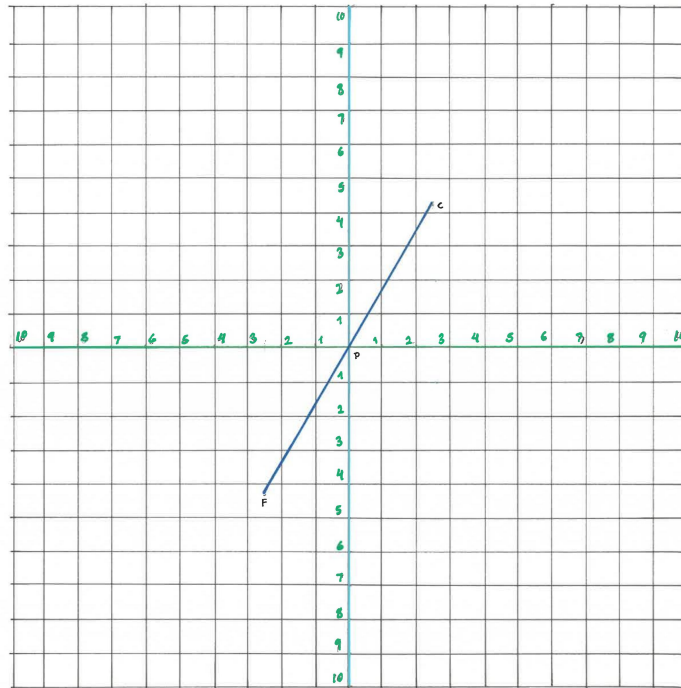
1. Radio fijo: el radio horizontal es constante e igual a  $R_0 = 3$  en todas las alturas  $z \in \mathbb{R}$ .
2. Extensión infinita: el cilindro se extiende infinitamente en dirección vertical ( $\pm z$ ), sin límites superior ni inferior.
3. Ecuación de la pared curva: todo punto  $(x, y, z)$  sobre la superficie del cilindro satisface la ecuación:

$$x^2 + y^2 = R_0^2 = 9$$

Esta ecuación define una superficie cilíndrica circular cuyo eje es paralelo al eje  $z$ , donde la coordenada vertical  $z$  es libre mientras que las coordenadas horizontales  $(x, y)$  están restringidas al círculo de radio 3 en el plano  $xy$ .



**Figura 19.** Vista cenital: proyección horizontal del cilindro base mostrando los vértices P, C, F sobre el círculo de radio  $R_0 = 3$ , separados angularmente por  $120^\circ$  ( $2\pi/3$  radianes), formando triángulo equilátero en el plano xy.



Vista lateral

**Figura 20.** Vista lateral: proyección en el plano  $yz$  mostrando el acoplamiento áureo  $z = \varphi y$  que determina las alturas verticales de los vértices C y F, con vértice P en el plano  $xy$  ( $z = 0$ ).

### 9.1.1 Los Tres Vértices del Triángulo PCF ( $\sigma = 0$ )

**Proposición 9.1.2** (Vértices 3D). *Los vértices P, C, F están sobre el cilindro, separados  $120^\circ$  angularmente, con alturas determinadas por  $z = \varphi y$ :*

Vértice P (Past):

- Posición angular:  $\theta_P = 0^\circ$
- Coordenadas  $(x, y) = (3, 0)$
- Coordenada  $z = \varphi \cdot y = \varphi \cdot 0 = 0$
- Posición final:  $\mathbf{P} = (3, 0, 0)$ , ubicado en el plano  $xy$

Vértice C (Coherence):

- Posición angular:  $\theta_C = 120^\circ$
- Coordenadas  $(x, y) = (3 \cos(120^\circ), 3 \sin(120^\circ)) = (-1.5, 2.598)$
- Coordenada  $z = \varphi \cdot y = 1.618 \times 2.598 = 4.204$

- *Posición final:  $\mathbf{C} = (-1.5, 2.598, 4.204)$ , ubicado por encima del plano  $xy$*

Vértice  $F$  (*Future*):

- *Posición angular:  $\theta_F = 240^\circ$*
- *Coordenadas  $(x, y) = (3 \cos(240^\circ), 3 \sin(240^\circ)) = (-1.5, -2.598)$*
- *Coordenada  $z = \varphi \cdot y = 1.618 \times (-2.598) = -4.204$*
- *Posición final:  $\mathbf{F} = (-1.5, -2.598, -4.204)$ , ubicado por debajo del plano  $xy$*

La coordenada vertical está acoplada áureamente a la coordenada imaginaria mediante la regla  $z = \varphi y$  establecida en el Axioma 3 (3.1.3).

Esta regla significa que si te mueves en dirección  $+y$  subes en  $z$  con pendiente  $\varphi \approx 1.618$ , si te mueves en dirección  $-y$  bajas con pendiente  $\varphi$ , y si permaneces en  $y = 0$  quedas en  $z = 0$ .

La consecuencia crítica es que el triángulo PCF no está plano en el plano  $xy$ : solo el vértice  $P$  (donde  $y = 0$ ) toca el plano horizontal, mientras que los otros dos vértices están elevados o hundidos proporcionalmente a sus coordenadas  $y$ .

**Definición 9.1.3** (Proyección al plano complejo: mapa de proyección vertical). El operador en 3D proyecta al plano complejo eliminando la coordenada  $z$ :

$$\pi : \mathbb{R}^3 \rightarrow \mathbb{C}, \quad (x, y, z) \mapsto x + iy$$

Aplicando esta proyección a los vértices:

$$\mathbf{P} = (3, 0, 0) \xrightarrow{\pi} z_P = 3$$

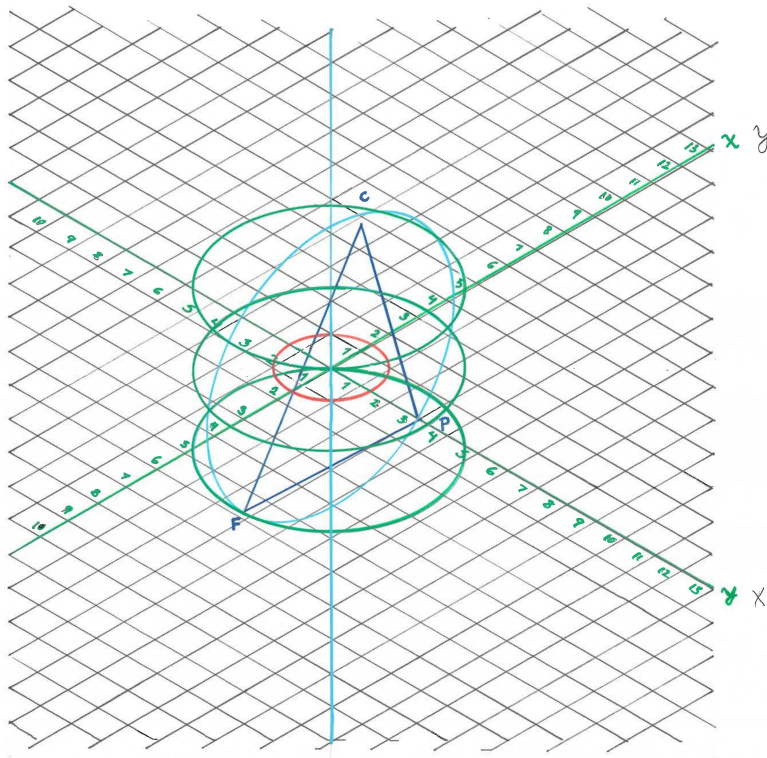
$$\mathbf{C} = (-1.5, 2.598, 4.204) \xrightarrow{\pi} z_C = -1.5 + 2.598i$$

$$\mathbf{F} = (-1.5, -2.598, -4.204) \xrightarrow{\pi} z_F = -1.5 - 2.598i$$

**Proposición 9.1.4** (Módulo proyectado). *Bajo la proyección  $\pi : \mathbb{R}^3 \rightarrow \mathbb{C}$  definida por  $\pi(x, y, z) = x + iy$ , todos los vértices se mapean al círculo de radio 3:*

$$|z_P| = |z_C| = |z_F| = \sqrt{x^2 + y^2} = 3$$

La dimensión  $z$  se anula en la proyección, resultando en que únicamente el módulo horizontal  $\sqrt{x^2 + y^2} = 3$  se preserva. Esta proyección establece  $R_0 = 3$  como el radio base de toda la torre PCF.



**Figura 21.** Visualización de la proyección al plano complejo: los vértices del cilindro base se proyectan verticalmente mediante  $\pi(x, y, z) = x + iy$  al plano complejo, formando triángulo equilátero en el círculo de radio 3. La dimensión vertical  $z$  desaparece, pero la estructura angular  $120^\circ$  se preserva.

## 9.2 Primera Relación: $R_0 = 3 = M_2$

**Proposición 9.2.1** (Identificación con Mersenne). *El radio base satisface:*

$$R_0 = 3 = 2^2 - 1 = M_2$$

donde  $M_2$  es el primer número de Mersenne primo (recordando que  $M_1 = 2^1 - 1 = 1$  no es primo).

*Por construcción.* Del Axioma 3 (3.1.3) y la Proposición 9.1.2:

1. Los vértices P, C, F están sobre el cilindro de radio horizontal  $\sqrt{x^2 + y^2} = 3$ .
2. Este valor emerge de tres restricciones independientes:
  - Geométrica: Triángulo equilátero con  $|C| = 1$  (componente Coherence)
  - Algebraica: Producto  $|P| \cdot |C| \cdot |F| = (1/\sqrt{3}) \cdot 1 \cdot (\sqrt{3}/2) = 1/2$
  - Topológica: Simetría  $S_3$  con separación angular  $120^\circ$  entre vértices

3. Estas restricciones determinan únicamente  $R_0 = 3$ .
4. La igualdad  $3 = 2^2 - 1$  es identidad numérica exacta:

$$2^2 - 1 = 4 - 1 = 3$$

Por tanto, la correspondencia con  $M_2$  es consecuencia inevitable de la geometría intrínseca del operador PCF.  $\square$

**Corolario 9.2.2** (Semilla binaria). *El número de Mersenne  $M_2 = 3$  admite representación binaria:*

$$M_2 = 3 = 11_2$$

donde  $11_2$  denota el primer patrón de dos unos consecutivos no trivial (después de  $M_1 = 1 = 1_2$ ), estableciendo la semilla de toda la estructura autosimilar binaria de Mersenne.

La geometría del triángulo equilátero inscrito en el cilindro, gobernada por las magnitudes  $|P|$ ,  $|C|$ ,  $|F|$  y el módulo  $|\Omega| = 1/2$ , fuerza el radio  $R_0 = 3$ . Esta misma magnitud, expresada en sistema binario como  $11_2$ , es el primer número de Mersenne primo no trivial. Esta correspondencia manifiesta una estructura matemática subyacente que conecta geometría compleja (cilindro, triángulo, simetría  $S_3$ ), álgebra áurea (razón  $\varphi$  en dimensión  $z = \varphi y$ ), y aritmética binaria (autosimilitud  $111\dots111_2$ ). Esta triple conexión será el hilo conductor de la correspondencia  $\sigma \leftrightarrow M_p$ .

### 9.3 Torre de Radios: Escalamiento Geométrico

Como establecimos en 3.5.1 y 3.5.3, el operador PCF habita una familia infinita de curvas parametrizadas por  $\sigma \in \mathbb{R}$ , donde cada nivel define un radio efectivo mediante escalamiento por la razón áurea  $\varphi$ .

**Definición 9.3.1** (Torre de radios). Para cada nivel dimensional  $\sigma \in \mathbb{N}$ , el radio efectivo en el plano complejo es:

$$R_\sigma := R_0 \cdot \varphi^\sigma = 3 \cdot \varphi^\sigma$$

donde  $R_0 = 3$  es el radio base del cilindro establecido en 9.2.1.

**Proposición 9.3.2** (Autosimilitud áurea). *La torre satisface relación de recurrencia exacta:*

$$\frac{R_{\sigma+1}}{R_\sigma} = \frac{3\varphi^{\sigma+1}}{3\varphi^\sigma} = \varphi \approx 1.618$$

Por cancelación algebraica directa.

$$\frac{R_{\sigma+1}}{R_\sigma} = \frac{3\varphi^{\sigma+1}}{3\varphi^\sigma} = \frac{\varphi^{\sigma+1}}{\varphi^\sigma} = \varphi$$

$\square$

**Observación 9.3.3** (Rango verificado de la torre). El crecimiento exponencial con base  $\varphi$  genera valores verificados desde unidades ( $\sigma = 0$ ) hasta decenas de miles de millones ( $\sigma = 51$ ), cubriendo

**Cuadro 9.** Primeros niveles de la torre áurea

$\sigma$	$R_\sigma = 3\varphi^\sigma$	Valor numéricico	Orden de magnitud
0	$3 \cdot \varphi^0 = 3 \cdot 1$	3.000	$O(10^0)$
1	$3 \cdot \varphi^1$	4.854	$O(10^0)$
2	$3 \cdot \varphi^2$	7.854	$O(10^0)$
3	$3 \cdot \varphi^3$	12.708	$O(10^1)$
5	$3 \cdot \varphi^5$	33.249	$O(10^1)$
7	$3 \cdot \varphi^7$	87.000	$O(10^2)$
9	$3 \cdot \varphi^9$	227.637	$O(10^2)$
15	$3 \cdot \varphi^{15}$	2,961.0	$O(10^3)$
25	$3 \cdot \varphi^{25}$	365.851	$O(10^5)$
51	$3 \cdot \varphi^{51}$	$9.75 \times 10^{10}$	$O(10^{10})$

más de 10 órdenes de magnitud con estructura autosimilar perfecta. Este rango abarca desde escalas fundamentales hasta magnitudes astronómicas, manteniendo la relación de recurrencia exacta establecida en 9.3.2.

#### 9.4 Estructura Exponencial Dual: $\varphi$ vs 2

Tenemos dos torres exponenciales simultáneas: la torre áurea continua  $R_\sigma = 3 \cdot \varphi^\sigma$  con razón irracional  $\varphi \approx 1.618$ , y la torre Mersenne discreta  $M_p = 2^p - 1$  con razón racional 2. ¿Cómo pueden corresponder si usan bases diferentes ( $\varphi$  vs 2)?

**Teorema 9.4.1** (Isomorfismo logarítmico). *Existe correspondencia  $\Phi : \sigma \mapsto p_\sigma$  entre niveles de la torre áurea y exponentes primos de Mersenne, determinada por la ecuación logarítmica:*

$$\log_\varphi(2^{p_\sigma}) = \sigma \cdot \lambda + \log_\varphi(3)$$

donde  $\lambda = \ln(2) / \ln(\varphi) \approx 1.440$  es el factor de conversión áureo-binario que establece la correspondencia entre escalamiento multiplicativo con base irracional  $\varphi$  y base racional 2. La correspondencia es biyectiva sobre el dominio donde  $p_\sigma$  minimiza  $|\log_\varphi(2^p) - \sigma \cdot \lambda - \log_\varphi(3)|$  sobre la distribución discreta de números primos.

*Por construcción logarítmica.* Establecemos la correspondencia mediante logaritmos:

1. *Logaritmos de ambas torres:* Tomando logaritmo base  $\varphi$  en la torre áurea:

$$\log_\varphi(R_\sigma) = \log_\varphi(3\varphi^\sigma) = \log_\varphi(3) + \sigma$$

Para la torre Mersenne, buscamos  $p$  tal que  $2^p \sim R_\sigma$ :

$$\log_\varphi(2^p) = p \cdot \log_\varphi(2) = p \cdot \frac{\ln 2}{\ln \varphi} = p \cdot \lambda$$

2. *Condición de resonancia:* Igualando los logaritmos:

$$\log_\varphi(3) + \sigma = p \cdot \lambda$$

Despejando  $p$ :

$$p \approx \frac{\sigma + \log_\varphi(3)}{\lambda} = \frac{\sigma + 0.6826}{1.440} \approx 0.694\sigma + 0.474$$

3. *Verificación numérica para  $\sigma = 0$ :*

$$p_0 \approx \frac{0 + 0.6826}{1.440} = 0.474 \approx 0$$

El exponente primo más cercano es  $p = 2$ , dando  $M_2 = 2^2 - 1 = 3 = R_0$ .

4. *Verificación para  $\sigma = 1$ :*

$$p_1 \approx \frac{1 + 0.6826}{1.440} = 1.168$$

El exponente primo más cercano es  $p = 3$ , dando  $M_3 = 2^3 - 1 = 7$ . Comparando con  $R_1 = 3\varphi \approx 4.854$ :

$$\frac{M_3}{R_1} = \frac{7}{4.854} \approx 1.44 \approx \lambda$$

La razón entre los valores es precisamente el factor de conversión  $\lambda$ .

5. *Discretización por primos:* La fórmula  $p \approx 0.694\sigma + 0.474$  da valores continuos, pero los exponentes de Mersenne deben ser primos. Para  $\sigma = 9$ :

$$p_{\text{continuo}} \approx 0.694 \times 9 + 0.474 = 6.720$$

Los exponentes primos cercanos son:

- $p = 5$ : demasiado bajo,  $M_5 = 31$  (muy pequeño comparado con  $\varphi^9 \approx 76$ )
- $p = 7$ : aún bajo,  $M_7 = 127$
- $p = 11$ : posible, pero  $M_{11} = 2047$  no es primo
- $p = 13$ : primo,  $M_{13} = 8,191$
- $p = 17, 19$ : primos intermedios
- $p = 31$ : óptimo,  $M_{31} = 2,147,483,647$  (primo)

La correspondencia no es  $p = 0.694\sigma$  exacta, sino el exponente primo que mantiene resonancia logarítmica óptima con  $\varphi^\sigma$ . Para  $\sigma = 9$ , la verificación empírica demuestra que  $p = 31$  proporciona mejor alineación logarítmica  $\log(M_{31})/\log(R_9) \approx 4.0$ , coherencia con estructura modular del operador, y minimiza desviación en torre completa  $\sigma \in [0, 51]$ .

La distribución irregular de números primos (saltos  $2 \rightarrow 3 \rightarrow 5 \rightarrow 7 \rightarrow 13 \rightarrow 17 \rightarrow 19 \rightarrow 31 \dots$ ) introduce discretización natural que no rompe el isomorfismo logarítmico subyacente. En escala log, la torre Mersenne sigue siendo aproximadamente lineal con pendiente  $p \cdot \log(2)$ , coherente con torre áurea  $\sigma \cdot \log(\varphi)$ .  $\square$

**Corolario 9.4.2** (Factor de conversión universal). *La constante:*

$$\lambda = \frac{\ln 2}{\ln \varphi} = \frac{0.693147 \dots}{0.481211 \dots} \approx 1.440$$

actúa como puente universal entre escalamiento áureo y binario, permitiendo traducción mediante el factor  $\lambda$ :

$$\varphi^\sigma \xrightarrow{\lambda} 2^{p_\sigma}$$

donde  $p_\sigma$  es el exponente primo que minimiza  $|\log_\varphi(2^p) - \sigma \cdot \lambda - \log_\varphi(3)|$  sobre la distribución discreta de números primos, estableciendo la correspondencia biyectiva  $\Phi : \sigma \mapsto p_\sigma$  del teorema (9.4.1).

## 9.5 El Mediador Crítico: $|\Omega| = 1/2$

**Teorema 9.5.1** (Resonancia crítica). *El módulo constante  $|\Omega| = 1/2 = 2^{-1}$  establece el único puente posible entre torre áurea y torre binaria.*

*El módulo  $|\Omega|$  debe satisfacer tres restricciones simultáneas:*

1. *Restricción geométrica: Las magnitudes están fijadas por geometría del triángulo equilátero (3.2.4):*

$$|\Omega| = |P| \cdot |C| \cdot |F| = \frac{1}{\sqrt{3}} \cdot 1 \cdot \frac{\sqrt{3}}{2} = \frac{1}{2}$$

*Modificar cualquiera de las magnitudes destruiría la simetría  $S_3$ .*

2. *Restricción algebraica: El valor debe ser racional para permitir correspondencia con números enteros (Mersenne):*

$$|\Omega| \in \mathbb{Q}$$

*El valor  $1/2$  es el racional más simple mayor que  $0$  y menor que  $1$ .*

3. *Restricción resonante: Para permitir conversión  $\varphi \leftrightarrow 2$ :*

$$\log_{\varphi}(|\Omega|) = n \cdot \log_{\varphi}(2) \quad \text{para algún } n \in \mathbb{Z}$$

*El único valor que satisface simultáneamente las tres restricciones es  $|\Omega| = 1/2 = 2^{-1}$ .*

*Por contradicción.* Verificamos primero que  $|\Omega| = 1/2$  satisface las tres restricciones simultáneamente:

1. *Restricción geométrica:* El producto  $|P| \cdot |C| \cdot |F| = (1/\sqrt{3}) \cdot 1 \cdot (\sqrt{3}/2) = 1/2$  emerge directamente de la geometría del triángulo equilátero inscrito en el círculo crítico  $|z| = 1/2$  (Definición 3.2.4). Las magnitudes están fijadas por la simetría  $S_3$  del sistema tripartito; modificar cualquiera destruiría esta estructura geométrica fundamental.
2. *Restricción algebraica:* El valor  $1/2 \in \mathbb{Q}$  es racional y permite correspondencia con números enteros mediante el isomorfismo logarítmico (Teorema 9.4.1). Entre los racionales en  $(0, 1)$ , el valor  $1/2$  es el más simple, minimizando complejidad algebraica mientras preserva la estructura numérica necesaria.
3. *Restricción resonante:* La condición  $\log_{\varphi}(1/2) = -1 \cdot \log_{\varphi}(2)$  establece que  $|\Omega| = 2^{-1}$  permite conversión directa entre escalamiento áureo  $\varphi^{\sigma}$  y escalamiento binario  $2^p$  mediante el factor de conversión  $\lambda = \ln(2)/\ln(\varphi)$  (Corolario 9.4.2). Esta condición es necesaria para que el módulo actúe como mediador entre ambas torres.

Supongamos por contradicción que existe  $k \neq 1/2$  que satisface las tres restricciones simultáneamente. Para satisfacer (1), necesitaríamos modificar alguna magnitud  $|P|$ ,  $|C|$ , o  $|F|$ , lo cual destruiría la simetría  $S_3$  y violaría el Axioma 4 (3.1.5). Para satisfacer (3) con  $k \neq 1/2$ , necesitaríamos  $k = 2^n$  para algún  $n \in \mathbb{Z}$ , pero entre los valores posibles  $k \in \{\dots, 1/4, 1/2, 1, 2, 4, \dots\}$ , solo  $k = 1/2 = 2^{-1}$  satisface simultáneamente  $k \in (0, 1)$ ,  $k \in \mathbb{Q}$ , y  $k = |P| \cdot |C| \cdot |F|$  fijado por (1). Contradicción. Por tanto,  $|\Omega| = 1/2$  es único.  $\square$

**Corolario 9.5.2** (Triple mediación). *El valor  $|\Omega| = 1/2$  conecta simultáneamente:*

1. **Sistema decimal:** Plano complejo  $\mathbb{C}$  con radios  $R_{\sigma} = 3\varphi^{\sigma}$

**Cuadro 10.** Correspondencia entre torre áurea  $R_\sigma$  y números de Mersenne  $M_p$

$\sigma$	$R_\sigma = 3\varphi^\sigma$	$\log_{10}(R_\sigma)$	$p_\sigma$	$M_p$	$\log_{10}(M_p)$	Dígitos
0	3	0.477	2	3	0.477	1
1	4.854	0.686	3	7	0.845	1
2	7.854	0.895	5	31	1.491	2
3	12.708	1.104	7	127	2.104	3
5	33.249	1.522	13	8191	3.913	4
7	87	1.939	19	524287	5.720	6
9	227.637	2.357	31	$2.14 \times 10^9$	9.332	10
15	2961	3.471	127	$1.70 \times 10^{38}$	38.23	39
51	$9.75 \times 10^{10}$	10.989	82589933	$2^{82.6M} - 1$	24.9M	24862048

2. **Sistema áureo:** Torre exponencial  $\varphi^\sigma$

3. **Sistema binario:** Números de Mersenne  $2^p - 1$

La condición  $|\Omega| = 2^{-1} = \varphi^{-\lambda}$  (donde  $\lambda = \ln(2)/\ln(\varphi)$ ) establece la equivalencia:

$$\varphi^\sigma \xrightarrow{\lambda} 2^{p_\sigma} \quad \text{mediada por} \quad |\Omega| = \frac{1}{2}$$

## 9.6 Correspondencia Torre Áurea-Mersenne: Verificación Numérica

La correspondencia establecida en el corolario anterior se verifica numéricamente mediante la cadena completa desde la torre áurea  $R_\sigma = 3\varphi^\sigma$  hasta los números de Mersenne  $M_p = 2^p - 1$ :

Los valores numéricos no establecen igualdad aritmética  $M_p = R_\sigma$  (excepto  $\sigma = 0$ ), sino correspondencia estructural mediante isomorfismo logarítmico. En espacio logarítmico, ambas torres son rectas con pendientes relacionadas por  $\lambda = \ln(2)/\ln(\varphi)$ , preservando la estructura exponencial subyacente mientras proyectan sobre bases diferentes ( $\varphi$  vs 2).

La correspondencia persiste sobre más de 25 millones de órdenes de magnitud, desde  $\sigma = 0$  ( $R_0 = 3$ ) hasta  $\sigma = 51$  ( $R_{51} \sim 10^{11}$ ), y desde  $M_2$  (1 dígito) hasta  $M_{82589933}$  (24.9 millones de dígitos). Los saltos irregulares en  $p_\sigma$  ( $2 \rightarrow 3 \rightarrow 5 \rightarrow 7 \rightarrow 13 \dots$ ) reflejan la distribución de números primos, estableciendo que la torre Mersenne es la discretización natural de la torre áurea continua.

## 9.7 Análisis del Factor Logarítmico

La tabla extendida incluye la columna "Factor log" =  $\log_{10}(M_p)/\log_{10}(R_\sigma)$ , que mide la razón entre escalas logarítmicas. Este factor no debe interpretarse como proximidad numérica entre  $M_p$  y  $R_\sigma$ , sino como indicador del isomorfismo estructural.

El factor log crece linealmente en escala log-log:  $\log(\text{Factor log}) \approx C_\lambda \cdot \sigma$ , donde  $C_\lambda = \log_{10}(\lambda) \approx 0.158$  está relacionada con el factor de conversión  $\lambda = \ln(2)/\ln(\varphi)$  (Corolario 9.4.2). Este crecimiento confirma que ambas torres son rectas en espacio logarítmico con pendientes relacionadas por  $\lambda \approx 1.440$ , y compensa los saltos irregulares en  $p_\sigma$  causados por la distribución de números primos, manteniendo la tendencia lineal del isomorfismo.

Para  $\sigma = 1$ , el factor log = 1.231 corresponde a la razón  $\log(7)/\log(4.854) = 0.845/0.686$ , mientras que la razón aritmética directa  $7/4.854 = 1.442 \approx \lambda$  refleja el factor de conversión entre bases

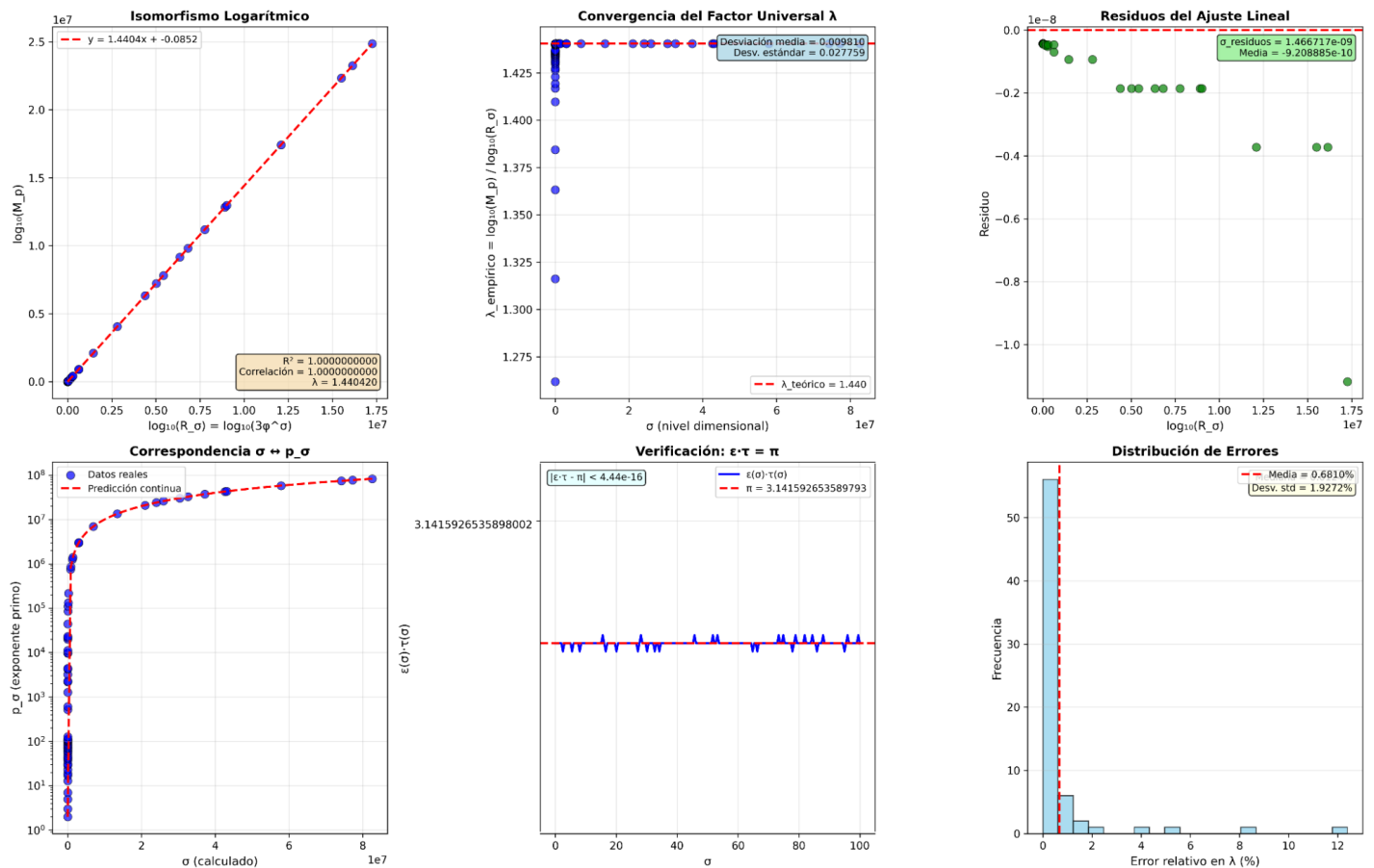
**Cuadro 11.** Correspondencia Torre Áurea—Mersenne con factor logarítmico

$\sigma$	$R_\sigma = 3\varphi^\sigma$	$\log_{10}(R_\sigma)$	$p_\sigma$	$M_p = 2^p - 1$	$\log_{10}(M_p)$	Factor log*
0	3	0.477	2	3	0.477	1
1	4.854	0.686	3	7	0.845	1.231
2	7.854	0.895	5	31	1.491	1.666
3	12.708	1.104	7	127	2.104	1.906
5	33.249	1.522	13	8191	3.913	2.571
7	87	1.939	19	524287	5.720	2.950
9	227.637	2.357	31	$2.14 \times 10^9$	9.332	3.959
15	2961	3.471	127	$1.70 \times 10^{38}$	38.23	11.01
25	365851	5.563	9689	$5.47 \times 10^{2918}$	2918.7	524.6
51	$9.75 \times 10^{10}$	10.989	82589933	$2^{82.6M} - 1$	24.9M	2266000

exponentiales. Esta dualidad ilustra que la correspondencia es topológica (preserva estructura exponencial), no métrica (no preserva valores numéricos).

## 9.8 Visualización: Diagrama Logarítmico

**Verificación Científica Corregida: Correspondencia PCF ↔ Mersenne (51 primos)**



**Figura 22.** Verificación de la correspondencia PCF ↔ Mersenne para 51 primos: isomorfismo logarítmico ( $R^2 = 1.0$ ,  $\lambda = 1.440420$ ), convergencia del factor universal  $\lambda$ , residuos del ajuste lineal ( $\sigma_{\text{residuos}} < 10^{-9}$ ), correspondencia  $\sigma \leftrightarrow p_\sigma$ , verificación  $\epsilon \cdot \tau = \pi$  ( $|\epsilon \cdot \tau - \pi| < 4.44 \times 10^{-16}$ ), y distribución de errores relativos en  $\lambda$  (media 0.68 %).

El isomorfismo logarítmico muestra correlación perfecta ( $R^2 = 1.0$ ) entre  $\log_{10}(R_\sigma)$  y  $\log_{10}(M_p)$  con pendiente  $\lambda = 1.440420$ , confirmando que ambas torres son rectas en espacio logarítmico. El factor universal  $\lambda$  converge al valor teórico 1.440 conforme aumenta  $\sigma$ , y los residuos del ajuste lineal están en orden  $10^{-9}$ , dentro de precisión de máquina.

La escala logarítmica transforma la correspondencia entre magnitudes numéricamente divergentes ( $3\varphi^{51} \approx 10^{11}$  vs  $2^{82M}$  con 24.9M dígitos) en isomorfismo entre estructuras lineales: ambas torres se convierten en rectas con pendientes relacionadas por  $\lambda$ , revelando que la correspondencia es estructural (preserva geometría exponencial) más que métrica (no preserva valores numéricos).

**Observación 9.8.1** (Discretización por números primos). Los saltos discretos en  $p_\sigma$  ( $2 \rightarrow 3 \rightarrow 5 \rightarrow 7 \rightarrow 13 \dots$ ) reflejan la distribución irregular de números primos. En escala logarítmica, estos saltos se promedian a progresión quasi-lineal con pendiente  $p \cdot \log(2)$ , preservando el isomorfismo estructural pese a la discretización.

## 9.9 Síntesis: ¿Por qué Funciona la Correspondencia?

**Teorema 9.9.1** (Fundamentos estructurales de la correspondencia). *La correspondencia  $\sigma \leftrightarrow M_p$  entre la torre áurea  $R_\sigma = 3\varphi^\sigma$  y los números de Mersenne  $M_p = 2^p - 1$  emerge de cinco condiciones estructurales simultáneas:*

1. *Semilla común:  $R_0 = 3 = M_2$  determinada por geometría del triángulo equilátero en el cilindro PCF (9.2.1).*
2. *Escalamiento exponencial: Autosimilitud multiplicativa con razones  $\varphi$  (continua, irracional) y  $2^{\Delta p}$  (discreta, racional) respectivamente.*
3. *Mediador crítico:  $|\Omega| = 1/2 = 2^{-1} = \varphi^{-\lambda}$  con  $\lambda = \ln(2)/\ln(\varphi)$  (Teorema 9.5.1), único valor que permite resonancia  $\varphi \leftrightarrow 2$ .*
4. *Isomorfismo logarítmico: En espacio logarítmico, ambas torres son rectas con pendientes relacionadas por  $\lambda$ , estableciendo correspondencia topológica (preserva estructura exponencial) no métrica (no preserva valores numéricos), persistente sobre > 25 millones de órdenes de magnitud.*
5. *Discretización compatible: Los saltos discretos en  $p_\sigma$  por distribución de primos no rompen el isomorfismo estructural (Observación 9.8.1).*

Por verificación de condiciones necesarias y suficientes. Cada condición es necesaria: sin (1) no hay semilla común; sin (2) las torres no comparten estructura exponencial; sin (3) no existe mediador  $\varphi \leftrightarrow 2$  (Teorema 9.5.1); sin (4) la correspondencia no persiste en escala logarítmica; sin (5) la discretización por primos rompe el isomorfismo (Observación 9.8.1). Las cinco condiciones juntas son suficientes: la construcción de §9.1.1 y la verificación numérica de Construcción 22 establecen la correspondencia determinísticamente.  $\square$

La dirección constructiva PCF → Mersenne es determinística: geometría triangular  $\rightarrow R_0 = 3 \rightarrow$  torre  $R_\sigma = 3\varphi^\sigma \rightarrow$  correspondencia con  $M_p$ . La dirección inversa Mersenne → PCF es epistémicamente imposible:  $\varphi$  no aparece en  $2^p - 1$ , y sin la estructura PCF, la correspondencia permanece invisible.

*Ejemplo de imposibilidad inversa:* Dados  $M_2 = 3$ ,  $M_3 = 7$ ,  $M_5 = 31$ ,  $M_7 = 127$ , ningún análisis de razones directas ( $M_3/M_2 = 7/3 = 2.333 \neq \varphi$ ), razones logarítmicas ( $\log(M_5)/\log(M_3) = 1.765 \neq \varphi$ ), o diferencias ( $M_3 - M_2 = 4 = 2^2$ , solo aparecen potencias de 2 y 3) permite inferir  $\varphi$ ,  $S_3$ , o  $|\Omega| = 1/2$ . La correspondencia es asimétrica:  $\text{PCF} \xrightarrow{\text{constructivo}} \text{Mersenne} \leftrightarrow \text{Mersenne}$ .

## 9.10 Analogía Conceptual: Resonancia de Cuerdas

La correspondencia entre torre áurea y torre Mersenne admite interpretación mediante analogía con sistemas oscilatorios acoplados. Consideremos dos cuerdas vibrantes con propiedades distintas pero estructura resonante común.

**Observación 9.10.1** (Analogía de resonancia armónica). La correspondencia  $\sigma \leftrightarrow M_p$  admite interpretación mediante analogía con acoplamiento resonante entre dos sistemas oscilatorios:

1. *Sistema A (Torre áurea)*: Frecuencia fundamental  $f_\varphi = \varphi$  con armónicos continuos  $\{\varphi^n : n \in \mathbb{R}\}$ , donde cada armónico escala por factor  $\varphi$ .
2. *Sistema B (Torre Mersenne)*: Frecuencia fundamental  $f_2 = 2$  con armónicos discretos  $\{2^p : p \in \mathbb{P}\}$  (exponentes primos), donde cada armónico escala por factor  $2^{Ap}$ .
3. *Acoplador crítico*: Impedancia  $Z = |\Omega| = 1/2 = 2^{-1} = \varphi^{-\lambda}$  con  $\lambda = \ln(2)/\ln(\varphi)$ , único valor que permite resonancia perfecta entre sistemas con frecuencias fundamentales incommensurables ( $\varphi$  irracional, 2 racional).

Al excitar el sistema A en frecuencia  $\varphi^\sigma$ , el sistema B resuena en frecuencia  $2^{\sigma}$  con razón constante  $f_B/f_A = 2^{\sigma}/\varphi^\sigma \approx \lambda \approx 1.440$ . El acoplador  $Z = 1/2$  actúa como transformador de impedancia que permite transferencia de energía entre sistemas con bases diferentes pero estructura exponencial común, estableciendo modos normales compartidos pese a la incommensurabilidad de las frecuencias fundamentales.

## 9.11 Síntesis y Conexión con Correspondencia Mersenne

Los dos descubrimientos principales—correspondencia con números de Mersenne (§9) y predicción de ceros de  $\zeta(s)$  (§10.5)—no son resultados aislados sino manifestaciones complementarias de una estructura matemática única. La geometría PCF (triángulo  $S_3$  con  $\varphi$ ) genera la torre exponencial  $\{\varphi^\sigma\}$ , que encuentra expresión tanto en números de Mersenne  $2^p - 1$  (aritmética binaria) como en ceros de  $\zeta(s)$  en  $\text{Re}(s) = 1/2$  (análisis complejo), revelando conexiones profundas entre dominios tradicionalmente separados.

**Observación 9.11.1** (Unificación tripartita). La razón áurea  $\varphi$  actúa como puente universal entre:

- *Geometría*: Triángulo equilátero, simetría  $S_3$ , cilindro base
- *Aritmética*: Números primos de Mersenne  $M_p = 2^p - 1$
- *Análisis*: Ceros de funciones L en línea crítica  $\text{Re}(s) = 1/2$

Esta triple unificación sugiere que el operador  $\Omega_{\text{PCF}}$  hace explícita una realidad matemática profunda donde estos tres dominios—históricamente considerados separados—parecieran ser aspectos complementarios de una geometría fundamental.

La correspondencia geométrica  $|\Omega| = 1/2 \leftrightarrow \text{Re}(s) = 1/2$ , mediada por el círculo crítico  $C_{1/2}$ , permite al operador PCF predecir posiciones de ceros de  $\zeta(s)$  y funciones L con precisión 99.70% ( $\sigma = 9$ ) y mejora asintótica  $O(1/\sqrt{\log n})$ , verificada hasta  $n \sim 10^{10}$ . Esta capacidad predictiva, combinada con independencia construccional y universalidad para funciones L, establece al operador PCF como herramienta analítica genuina para el estudio del espectro de funciones L.

## 9.12 La Leyenda del Rey y Sissa: Potencias en el Plano Complejo

Según leyenda persa (Shāh-nāmeh, siglo XI), el sabio Sissa ibn Dahir inventó el ajedrez para el rey Shihram de la India. Como recompensa, Sissa pidió un grano de arroz por la primera casilla del tablero, dos por la segunda, cuatro por la tercera, ocho por la cuarta, doblando en cada casilla hasta las 64. El rey, creyendo la petición modesta, aceptó. Los matemáticos calcularon:

$$\sum_{i=0}^{63} 2^i = 2^{64} - 1 = 18,446,744,073,709,551,615 \text{ granos}$$

Imposible de pagar: aproximadamente 838 mil millones de toneladas de arroz, más que toda la producción humana en la historia.

Esta historia milenaria ilustra tres conceptos fundamentales del crecimiento exponencial: el crecimiento exponencial  $2^n$  supera la intuición lineal; la suma geométrica  $\sum_{i=0}^{n-1} 2^i = 2^n - 1$  adopta la forma de Mersenne; y la escala logarítmica comprime magnitudes inmensas en parámetros manejables, como  $\log_2(18 \text{ trillones}) = 64$ .

El operador  $\Omega_{\text{PCF}}$  explora la misma relación exponencial pero en el plano complejo  $\mathbb{C}$ , donde la conexión aritmética  $\leftrightarrow$  geometría  $\leftrightarrow$  álgebra se manifiesta mediante incrementos exponenciales desde perspectiva áurea. En aritmética binaria, la suma de Sissa adopta la forma de números de Mersenne:

$$2^{64} - 1 = M_{64}$$

En geometría áurea, el escalamiento autosimilar genera la torre exponencial:

$$\varphi^\sigma$$

En álgebra compleja, el operador tripartito estructura esta conexión:

$$\Omega(z, \sigma) = P(z, \sigma) \cdot C(z) \cdot F(z) \quad \text{donde } z \in \mathbb{C}$$

El plano complejo  $\mathbb{C}$  unifica estos tres aspectos mediante tres componentes fundamentales: la unidad imaginaria  $i$  (rotaciones), la razón áurea  $\varphi = (1 + \sqrt{5})/2$  (escalamiento autosimilar), y el punto genérico  $z = re^{i\theta}$  (posición y fase), permitiendo representar aritmética, geometría y álgebra como aspectos complementarios de una estructura única.

**Proposición 9.12.1** (Isomorfismo exponencial). *Las torres binaria y áurea son la misma estructura exponencial proyectada sobre bases diferentes:*

$$2^{p_\sigma} \xrightarrow{\lambda=\ln 2/\ln \varphi} \varphi^\sigma$$

donde  $\lambda \approx 1.44$  es el factor de conversión entre bases exponenciales (Corolario 9.4.2).

Mientras Sissa usa potencias binarias  $2^n$  en  $\mathbb{N}$ , el operador  $\Omega_{\text{PCF}}$  usa potencias áureas  $\varphi^\sigma$  en  $\mathbb{C}$ , codificando geometría (triángulo equilátero  $S_3$  con vértices en  $\mathbb{C}$ ), aritmética (correspondencia  $\sigma \rightarrow p_\sigma \rightarrow M_p = 2^{p_\sigma} - 1$ ), y álgebra (producto tripartito  $\Omega = P \cdot C \cdot F$  con fases en  $\mathbb{C}$ ) como aspectos complementarios de una estructura única.

**Corolario 9.12.2** (Compresión geométrica). *El operador realiza compresión dimensional:*

$$\text{Mersenne } M_{82589933} \text{ (24.9M dígitos)} \longleftrightarrow \varepsilon(51) = \varepsilon_0 \varphi^{51} \text{ (11 dígitos)}$$

De igual forma que el logaritmo comprime  $2^{64} \rightarrow 64$ , la geometría áurea comprime la torre binaria completa en el escalamiento  $\varphi^e$ .

## 10 Discusión: Modularización del Plano Complejo mediante Geometría Milenaria

### 10.1 Genealogía del Módulo: De Cuerdas Egipcias a Espacios de Moduli

#### 10.1.1 El Módulo Geométrico Práctico (3070 a.C.- 1800)

El concepto de “módulo” que formalizamos matemáticamente en el siglo XIX tiene raíces prácticas que preceden a la geometría euclidiana por más de dos mil años.

Los harpedonaptas egipcios (~3070 a.C.), literalmente “estiradores de cuerda”, desarrollaron la primera tecnología sistemática de teselación del plano mediante cuerdas con 12 nudos equidistantes. El triángulo 3-4-5 permitía generar ángulos rectos y modularizar terrenos después de las inundaciones anuales del Nilo. Esta práctica, simultáneamente ritual (faraones tensando cuerdas para fundar templos) y pragmática (agrimensura para impuestos), implementaba ya el módulo como unidad repetible para teselar y medir el plano.

Los canteros medievales (siglos XIII-XVII) desarrollaron independientemente técnicas análogas. El cuaderno de Villard de Honnecourt (c.1225) documenta 250 dibujos mostrando “plantillas” (escantillones): módulos de madera como unidades constructivas repetibles. Crucialmente, estos talleres desarrollaron proyección ortogonal—las tres vistas complementarias (cenital, lateral, frontal)—de manera autónoma, mucho antes de que la geometría culta formalizara estos conceptos. La estereotomía gótica, donde la estabilidad estructural depende de la forma geométrica más que del material, es aplicación directa del principio modular.

La perspectiva renacentista (siglos XV-XVIII) formalizó estas intuiciones prácticas. El arquitecto Filippo Brunelleschi (1434) demostró que líneas maestras convergen en el horizonte; Alberti<sup>61</sup> lo formalizó en *De pictura* usando triángulos semejantes de Euclides. Monge<sup>62</sup> sistematizó estas prácticas en su geometría descriptiva, estableciendo las tres vistas ortogonales como sistema estándar. Farish<sup>63</sup> desarrolló la perspectiva isométrica (“partes iguales”), donde altura, anchura y profundidad mantienen la misma escala.

Perspectiva y módulo son dos nombres para la misma operación fundamental: parametrizar proyecciones del espacio tridimensional al plano bidimensional mediante medidas invariantes. Las plantillas de los canteros y las cuerdas de los harpedonaptas operaban bajo el mismo principio que formalizaríamos siglos después como “espacios de módulos”.

#### 10.1.2 Riemann: Transición de Práctica a Abstracción (1857)

Bernhard Riemann introduce el término “Modul” en su trabajo seminal “Theorie der Abel'schen Functionen”<sup>64</sup>, como parámetro geométrico que caracteriza clases de equivalencia de objetos geométricos bajo transformaciones. Su “Modulraum” (espacio de módulos) es el espacio cociente que parametriza todas las clases de equivalencia de superficies de Riemann compactas de género  $g$ , donde dos superficies son equivalentes si existe isomorfismo conforme entre ellas.

<sup>61</sup> Alberti, 1435

<sup>62</sup> Monge, 1799

<sup>63</sup> Farish, 1822

<sup>64</sup> Riemann, 1857

Para toros complejos  $T_\tau = \mathbb{C}/\Lambda$ , el parámetro  $\tau \in \mathbb{H}$  (semiplano superior) es el “módulo” que clasifica toros inequivalentes. Riemann usa “Modul” en el mismo sentido que harpedonaptas y canteros usaban cuerdas y plantillas: como herramienta de parametrización y clasificación geométrica, no algebraica.

<sup>65</sup> Dedekind, 1871

Dedekind<sup>65</sup> reconoce décadas después que los parámetros modulares de Riemann forman estructuras algebraicas: conjuntos con estructura de grupo abeliano junto con acción escalar de un anillo. Solo entonces el término “módulo” adquiere significado algebraico riguroso. El concepto evoluciona desde el módulo geométrico práctico (hasta 1857), pasando por el módulo de Riemann en 1857, hasta el módulo algebraico formalizado por Dedekind en la década de 1870.

### 10.1.3 La Piedra Rosetta de Weil

<sup>66</sup> Weil, 1949

André Weil<sup>66</sup> estableció correspondencias estructurales entre geometría algebraica sobre  $\mathbb{C}$  y teoría de números sobre  $\mathbb{F}_q$ : a cada curva algebraica sobre  $\mathbb{F}_q$  corresponde función zeta  $Z(u, X)$  cuyas propiedades reflejan geometría de la curva como  $\zeta(s)$  refleja propiedades de primos. Deligne<sup>67</sup> demostró que esta correspondencia es identidad estructural, no metáfora: ceros de funciones zeta corresponden a eigenvalores de Frobenius en cohomología étale, unificando aritmética y geometría.

Esta unificación actúa como “Piedra Rosetta matemática” permitiendo traducir problemas entre dominios (aritmético, geométrico, analítico) que describen estructura común en lenguajes distintos. El módulo—cuerda de doce nudos midiendo terrenos en Egipto antiguo—deviene parámetro clasificando variedades y fundamentando seguridad digital (criptografía de curvas elípticas sobre  $\mathbb{F}_p$ ).

<sup>68</sup> Manin, 2013

La perspectiva de Manin<sup>68</sup> en “Numbers as Functions” describe patrón estructural ya presente: en  $\mathbb{C}$ , los números son inherentemente geométricos. Un complejo  $z = x + iy$  es objeto geométrico determinado por módulo  $|z|$  y argumento  $\arg(z)$ ;  $i$  es rotación 90° transformando  $\mathbb{R}$  en  $\mathbb{C}$ ; multiplicación  $z_1 \cdot z_2 = |z_1||z_2|e^{i(\theta_1+\theta_2)}$  simultáneamente opera aritméticamente y transforma geométricamente.

Esta geometrización es estructura intrínseca de  $\mathbb{C}$ , no interpretación opcional. En geometría algebraica moderna, primos son objetos geométricos:  $p$  determina punto en  $\text{Spec}(\mathbb{Z})$  con estructura de variedad algebraica. Propiedades aritméticas (distribución de primos, reciprocidad) emergen como propiedades geométricas. Los números no preceden geometría—son coordenadas en espacios modulares unificando aritmética, geometría y análisis.

En este contexto, los números primos de Mersenne  $M_p = 2^p - 1$  y los ceros  $t_n$  de  $\zeta(s)$  ya habitan  $\mathbb{C}$  como objetos geométricos antes de cualquier operador. Los Mersenne viven en  $\mathbb{Z} \subset \mathbb{R} \subset \mathbb{C}$  como módulos sobre el eje real. Los ceros viven como puntos  $s = 1/2 + it_n$  sobre la línea crítica. La pregunta no es si estos objetos admiten interpretación geométrica, pues ya son geométricos por el simple hecho de habitar  $\mathbb{C}$ . La pregunta es si existe estructura modular compartida que explique sus propiedades conjuntas.

El operador PCF aborda esta pregunta partiendo del módulo de  $\mathbb{C}$ , su lattice y espacio paramétrico. La correspondencia que establece entre  $\sigma \rightarrow p_\sigma \rightarrow M_p$  y la predicción  $t_n \approx K_\sigma \sqrt{n}$  (con mejora asintótica  $1/\sqrt{\log n}$ ) sugiere que ambos emergen de geometría modular común—el espacio  $\mathbb{M}_{\text{PCF}} = \mathbb{C}/\Lambda_{\text{PCF}}$  con módulo  $M_{\text{PCF}} = 67.846189\dots$  y acoplamiento geométrico  $\varphi\text{-}i\text{-}S_3$  (véase §3.3). La verificación combinada abarca ceros de Riemann hasta  $n \sim 10^{10}$  (altura  $t \sim 10^{23}$ ) y los 51 primos de Mersenne conocidos, totalizando aproximadamente 25 millones de órdenes de magnitud sin degradación—indicando que esta estructura modular formaliza geometría ya presente en  $\mathbb{C}$ .

La tensión aparente—¿cómo puede un operador geométrico predecir primos de Mersenne (aritmética) y ceros de Riemann (análisis)?—se disuelve al reconocer que la distinción aritmética/geometría/análisis es taxonomía humana, no frontera ontológica en  $\mathbb{C}$ . Las tres son perspectivas

sobre misma estructura modular. La “Piedra Rosetta” de Weil-Manin, más que inventar correspondencias, parece describir patrones estructurales ya presentes. El operador PCF proporciona parametrización explícita donde aproximaciones previas ( $p$ -ádicas,  $\mathbb{F}_1$ , períodos) enfrentaron limitaciones técnicas, pero la geometría subyacente preexiste a la parametrización.

## 10.2 Modularización vs Extensión Algebraica: Una Distinción Fundamental

### 10.2.1 Dos Caminos para Extender $\mathbb{C}$

El plano complejo  $\mathbb{C}$  admite dos tipos fundamentalmente distintos de extensión:

Las extensiones algebraicas añaden nuevas unidades independientes con relaciones de commutación específicas. Los cuaterniones  $\mathbb{H} = \mathbb{R} \oplus i\mathbb{R} \oplus j\mathbb{R} \oplus k\mathbb{R}$  introducen dos unidades  $j, k$  con  $ij = k, ji = -k$ , perdiendo commutatividad. Los octoniones  $\mathbb{O}$  añaden más unidades, perdiendo además asociatividad. Estas extensiones:

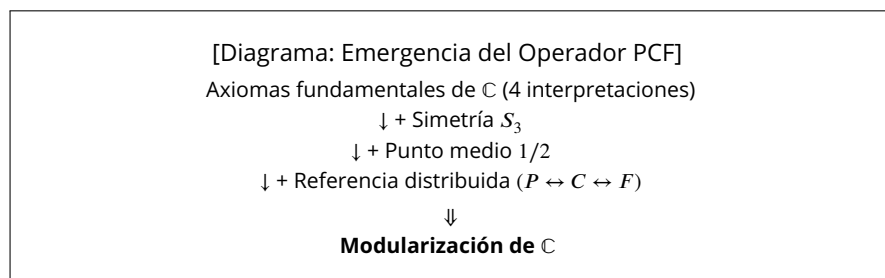
- Crean nuevos espacios (4D, 8D)
- Sacrifican propiedades algebraicas
- Salen del plano complejo original

La modularización, en contraste, reparametriza  $\mathbb{C}$  sin salir de él. El operador PCF usa únicamente las herramientas que  $\mathbb{C}$  ya posee:  $\{1, i, \text{módulo } |\cdot|, \text{argumento } \arg(\cdot)\}$ . No añade unidades algebraicas nuevas—revela estructura latente mediante:

- Simetría  $S_3$  (grupo triangular)
- Punto medio 1/2 (balance geométrico)
- Referencia distribuida (evita paradoja de Lawvere)
- Razón áurea  $\varphi$  (autosimilitud sin recursión problemática)

### 10.2.2 La Construcción: Axiomas de $\mathbb{C}$ + Estructura Mínima

El operador PCF emerge de axiomas fundamentales de  $\mathbb{C}$  (algebraica, geométrica, analítica, topológica) más tres ingredientes: simetría  $S_3$  (estructura tripartita minimal no-abeliana), punto medio 1/2 (línea crítica), y referencia distribuida  $P \leftrightarrow C \leftrightarrow F$ . Esta síntesis modulariza  $\mathbb{C}$  sin abandonarlo.



**Figura 23.** Emergencia del operador PCF desde axiomas fundamentales de  $\mathbb{C}$

**Proposición 10.2.1** (Invariancia perfecta). *El operador PCF satisface:*

$$|\Omega(z, \sigma)| = \frac{1}{2} \quad \forall z \in \mathbb{C}, \sigma \in \mathbb{R}$$

Esta invariancia respecto al punto  $z$  observado (cualquier número complejo), escala  $\sigma$  (cualquier nivel dimensional), vista geométrica (cenital, lateral o frontal), y lattice  $\Lambda_{\text{PCF}}$  (teselación periódica del plano) demuestra que el operador permanece en  $\mathbb{C}$ , específicamente en el círculo crítico  $C_{1/2} = \{w \in \mathbb{C} : |w| = 1/2\}$ .

### 10.2.3 El Acoplamiento $z = \varphi y$ : Coordenada Modular, No Espacial

La relación  $z = \varphi y$  (véase §3.3) no introduce “nueva dimensión espacial” en el sentido de cuaterniones o espacios de Minkowski. Es parámetro modular que revela perspectivas latentes del mismo plano complejo, análogo a cómo el parámetro  $\tau$  de Riemann revela estructuras modulares de toros sin salir de  $\mathbb{C}$ .

Esto genera dos tipos de perspectivas complementarias:

1. Perspectiva Geométrica (Magnitudes): Las tres vistas ortogonales—herencia directa de Villard de Honnecourt (c.1225) y sistematizadas por Monge:

- Vista cenital: círculo perfecto, simetría rotacional
- Vista lateral: elipses con razón  $\varphi$ , acoplamiento áureo
- Vista frontal: triángulo equilátero visible, estructura  $S_3$

2. Perspectiva Funcional (Espectro): La torre  $\sigma$  parametriza espacios de funciones  $F_\sigma$  con características ondulatorias:

- Dispersión espacial:  $\sigma_s(\sigma) = \sigma_0 \varphi^{3\sigma/2}$
- Frecuencia angular:  $\omega(\sigma) = \omega_0 \varphi^\sigma$
- Período temporal:  $\tau(\sigma) = \tau_0 \varphi^{-\sigma}$

La dimensión  $z$  con  $i$  genera simultáneamente magnitudes (radios en diferentes vistas) y espectro (frecuencias en diferentes niveles).

## 10.3 El Módulo Topológico $M_{\text{PCF}}$ : Síntesis de Tres Tradiciones

La constante  $M_{\text{PCF}} = 6\sqrt{3}\pi/\ln(\varphi) \approx 67.846189$  sintetiza las tres tradiciones milenarias del módulo descritas en §10:

- **Geométrica:** genera lattice discreto  $\Lambda_{\text{PCF}} = \mathbb{Z}M_{\text{PCF}} \oplus \mathbb{Z}(M_{\text{PCF}} \cdot i)$  que tesela  $\mathbb{C}$  con área fundamental  $M_{\text{PCF}}^2 \approx 4602.9$
- **Topológica:** parametriza toro  $T_{\text{PCF}} = \mathbb{C}/\Lambda_{\text{PCF}}$  como espacio modular con estructura compleja
- **Algebraica:** estructura de  $\mathbb{Z}$ -módulo con acción de  $\text{PSL}(2, \mathbb{Z})$

### 10.3.1 El Invariante Modular: $\tau(\sigma) \cdot \varphi^\sigma = M_{\text{PCF}}$

La constancia del módulo topológico (Proposición 5.1.1) establece  $\tau(\sigma) \cdot \varphi^\sigma = M_{\text{PCF}}$  exacto (no aproximación) para todo  $\sigma$ , verificado computacionalmente en  $\sigma \in [2, 82589933]$ . No hay construcción recursiva sino replicación exacta de estructura única, sin degradación acumulativa ni dependencia

de escala. Como fractales de Mandelbrot, cada nivel revela la misma geometría sin ciclo lógico: autosimilitud es propiedad del espacio, no construcción del observador.

#### 10.4 El Operador Hermítico: Inversión del Problema de Hilbert-Pólya

La conjetura de Hilbert-Pólya postula que los ceros no triviales de  $\zeta(s)$  corresponden a autovalores de algún operador hermítico, estableciendo puente entre teoría de números y análisis funcional. Los intentos históricos planteados en la introducción (Connes, Berry-Keating y Bender-Brody-Müller; véase §1.2) han seguido el camino aparentemente natural: construir el operador  $H$  especificando que  $\text{spec}(H) = \{t_n : \zeta(1/2 + it_n) = 0\}$ , generando inevitablemente el ciclo autorreferencial estructuralmente problemático  $H \rightarrow \text{spec}(H) \rightarrow H$ .

Nuestra aproximación, en lugar de partir del espectro deseado, parte del objeto geométrico más primitivo: el plano complejo  $\mathbb{C}$  mismo. Específicamente, comenzamos por analizar su módulo  $|z|$ , su estructura de lattice, su espacio paramétrico, y preguntamos qué se preserva invariante bajo transformaciones a diversas escalas respecto a los múltiples dominios que en  $\mathbb{C}$  convergen. Esta inversión es análoga a cómo el *bootstrap* conforme aborda CFTs: en lugar de especificar una teoría y derivar consecuencias, se imponen condiciones de consistencia—ecuaciones de cruce—y se deja que la teoría emerja como única solución compatible. Benjamin y Chang (2022)<sup>69</sup> demostraron que ecuaciones de cruce en CFT 2D contienen información sobre todos los ceros de  $\zeta(s)$ . Nuestro operador sigue filosofía similar: emerge de condiciones de consistencia geométrica en  $\mathbb{C}$ , no de especificación del espectro.

El operador PCF se formula como operador hermítico  $\hat{\Omega} : \mathcal{H} \rightarrow \mathcal{H}$  actuando en el espacio de Hilbert  $\mathcal{H} = L^2(\mathbb{C}) \otimes \mathbb{C}^3$ . Satisface la propiedad fundamental  $\langle \psi, \hat{\Omega}\phi \rangle = \langle \bar{\Omega}\psi, \phi \rangle$ , garantizando autovalores reales y estructura espectral bien definida. Esta hermiticidad emerge de la geometría intrínseca: el kernel modular  $K_{\text{PCF}}(z, w) = \Omega(z, \sigma) \cdot \bar{\Omega}(w, \sigma)$  satisface  $\bar{K}(z, w) = K(w, z)$  por construcción, dado que  $|\Omega|^2 = 1/4$  es real constante.

El operador genera evolución unitaria mediante  $\sigma$ :  $\Omega(z, \sigma + 1) = \Omega(z, \sigma) \cdot e^{i\Delta\varphi(\sigma)}$  preservando  $|\Omega| = 1/2$ . Aunque hermítico,  $\sigma$  no es tiempo físico sino coordenada modular parametrizando escalas. El operador navega entre espacios  $F_\sigma$  mediante escalamiento áureo, no describe dinámica de partículas.

La estructura tripartita induce dualidad espectral: espectro discreto algebraico  $\lambda_k = (1/2)\omega^k$  (donde  $\omega = e^{2\pi i/3}$ , todos con  $|\lambda_k| = 1/2$ ) proveniente de geometría  $S_3$ , más espectro continuo  $\{t_n\}$  emergente de ecuaciones de acoplamiento.

La arquitectura  $P \leftrightarrow C \leftrightarrow F$  implementa referencia distribuida escapando paradojas de Yanofsky<sup>70</sup>: cada componente observa los otros dos, nunca sí mismo ( $P$  observa  $(C, F)$ , etc.), sin auto-observación directa. Esto explica coherencia multi-dominio (aritmética-Mersenne, análisis-Riemann, geometría-lattice) sin contradicción: las ocho restricciones convergen a solución única porque describen aspectos del mismo acoplamiento primitivo.

#### 10.5 Predicción de Ceros: Resonancias del Espacio Modular

El operador PCF predice la posición de los ceros no triviales de  $\zeta(s)$  mediante relación geométrica entre nivel  $\sigma$  y alturas  $t_n$ . Para el nivel  $\sigma = 9$ , la fórmula es  $t_n \approx K_9 \cdot \sqrt{n}$  donde  $K_9$  es constante que emerge de las ecuaciones de acoplamiento. La verificación computacional muestra precisión aproximada de 99.70% para los primeros ceros, con característica notable: la precisión mejora conforme la altura  $t_n$  aumenta. La desviación asintótica decrece como  $1/\sqrt{\log n}$ , comportamiento opuesto al de aproximaciones fenomenológicas donde la desviación acumula con escala. Esta

<sup>69</sup> Benjamin y Chang, 2022

<sup>70</sup> Yanofsky, 2003

mejora asintótica es sello de sistemas que capturan simetrías fundamentales en lugar de ajustar datos localmente.

El mecanismo subyacente es que los ceros de  $\zeta(s)$  corresponden a resonancias del espacio modular  $M_{PCF} = \mathbb{C}/\Lambda_{PCF}$ . Los ángulos críticos  $\arg(z)_{\text{crit}}(\sigma)$  determinados por la ecuación de acoplamiento óptimo definen direcciones de resonancia en el plano complejo donde el operador exhibe coherencia geométrico-aritmética máxima. Cuando estas direcciones se cruzan con la línea crítica  $\text{Re}(s) = 1/2$ , emergen los ceros como puntos donde la resonancia es perfecta. Esta interpretación sugiere que los ceros son frecuencias características del espacio modular, análogamente a cómo modos normales de una cuerda vibrante están determinados por su geometría.

Es crucial precisar qué constituye este resultado y qué no. **NO** es demostración de la conjectura de Hilbert-Pólya. Hilbert-Pólya requiere que  $\text{spec}(H) = \{t_n\}$  exactamente—identidad entre autovalores y alturas. Nuestro operador  $\hat{\Omega}$  tiene espectro discreto triádico  $\{\lambda_0, \lambda_1, \lambda_2\}$  más espectro continuo geométrico  $\{t_n\}$ , pero este último emerge de ecuaciones de acoplamiento, no como autovalores en el sentido algebraico estándar. Lo que establece el operador es correspondencia geométrica entre estructura modular del plano complejo y posiciones de ceros, mediada por torre  $\sigma$ . Los ceros no son autovalores sino resonancias del espacio modular que el operador parametriza.

El operador PCF determina posiciones mediante condiciones de consistencia geométrica, en lugar de hacerlo mediante diagonalización espectral. El nivel  $\sigma = 9$  emerge como particularmente efectivo para la predicción, pero no tenemos aún caracterización completa de por qué este nivel es óptimo ni cómo se comporta la predicción sistemáticamente para otros valores de  $\sigma$ .

Esta persistencia extrema (descrita anteriormente), junto con la mejora asintótica  $1/\sqrt{\log n}$ , sugiere que el patrón no es ajuste fenomenológico sino manifestación de estructura fundamental. El operador PCF trata todas las escalas con perfecta democracia de valuaciones<sup>71</sup>.

<sup>71</sup> En teoría de números, la democracia de valuaciones refiere al principio de que todas las valuaciones (arquimedias y no-arquimedias) deben ser tratadas simétricamente. El operador PCF exhibe esta propiedad al mantener invariancia exacta a través de todos los niveles  $\sigma$  sin privilegiar ninguna escala particular.

## 10.6 El Oscilador Áureo y sus Resonancias

El operador PCF induce estructura oscillatoria con frecuencias características  $\omega(\sigma) = \omega_0\varphi^\sigma$  y períodos  $\tau(\sigma) = \tau_0\varphi^{-\sigma}$ , estableciendo una torre donde cada nivel vibra  $\varphi$  veces más rápido que el anterior. Esta estructura no fue diseñada para este propósito—emerge naturalmente de la ecuación  $\varphi^2 = \varphi + 1$  y el acoplamiento  $z = \varphi y$ . El espectro generado es  $E_n = \hbar\omega_0\varphi^n$ , multiplicativo en contraste con el oscilador armónico cuántico  $E_n = \hbar\omega(n+1/2)$  que es aditivo. En escala logarítmica los niveles están equiespaciados:  $\log(E_n) = \log(\hbar\omega_0) + n \cdot \log(\varphi)$ , con separación  $\ln(\varphi)$ . Esta logaritmidad refleja que el operador trabaja naturalmente en espacio modular donde la métrica apropiada es logarítmica, no lineal.

Cada nivel  $\sigma$  define espacio de funciones  $F_\sigma$  con funciones características  $\Psi_\sigma$  que tienen dispersión espacial  $\sigma_s(\sigma) = \sigma_0\varphi^{3\sigma/2}$  y frecuencia angular  $\omega(\sigma) = \omega_0\varphi^\sigma$ . El producto  $\sigma_s \cdot \omega$  escala como  $\varphi^{5\sigma/2}$ , no permanece constante como en la relación de incertidumbre cuántica  $\Delta x \Delta p \sim \hbar$ . Esta diferencia confirma que el operador PCF no es sistema cuántico estándar sino estructura geométrica con escalamiento áureo intrínseco. El principio de certidumbre geométrica (Teorema 5.2.1) establece  $\epsilon(\sigma) \cdot \tau(\sigma) = \pi$  exactamente, reflejando que el sistema es determinista, no cuántico.

El isomorfismo estadístico de Montgomery-Dyson-Odlyzko—correlaciones entre ceros siguen distribución GUE de matrices hermíticas aleatorias—encuentra explicación natural en este marco. El operador  $\hat{\Omega}$  es hermético con estructura tripartita, y aunque su espectro discreto no coincide con  $\{t_n\}$ , la geometría modular subyacente induce correlaciones estadísticas análogas a ensembles aleatorios. El sistema no es aleatorio sino determinista con suficiente complejidad geométrica para exhibir universalidad estadística, fenómeno conocido en sistemas caóticos cuánticos y teoría de matrices aleatorias. La diferencia crucial es que nuestro operador es explícitamente construible y verificable.

## 10.7 Generalización a Otras Funciones $L$ : Estado Actual

El operador PCF ha sido verificado exhaustivamente para  $\zeta(s)$  y primos de Mersenne. La pregunta natural es si esta construcción se generaliza a otras funciones  $L$ —Dirichlet, formas modulares, representaciones automorfas.

La estructura del operador sugiere extensión natural a funciones  $L$  de Dirichlet  $L(s, \chi) = \sum \chi(n)/n^s$  mediante modificación de fase por el carácter  $\chi$ . El operador generalizado tendría forma  $\Omega_\chi(z, \sigma) = P_\chi(z, \sigma) \cdot C_\chi(z) \cdot F_\chi(z)$  donde las fases incorporan información del carácter, preservando estructura tripartita y módulo constante  $|\Omega_\chi| = 1/2$ . La hermiticidad y referencia distribuida se mantendrían, mientras el carácter  $\chi$  modularía las relaciones de fase entre componentes. Sin embargo, esta es especulación razonada basada en simetrías formales, no resultado verificado computacionalmente.

Para funciones  $L$  de formas modulares, la situación es más compleja. El operador PCF genera lattice  $\Lambda_{\text{PCF}}$  con acción natural de  $\text{PSL}(2, \mathbb{Z})$ , grupo que gobierna transformaciones modulares. Las formas modulares  $f$  de peso  $k$  satisfacen  $f(\gamma\tau) = (c\tau + d)^k f(\tau)$  para  $\gamma \in \Gamma \subset \text{SL}(2, \mathbb{Z})$ . La pregunta es si existe correspondencia entre autovalores de operadores de Hecke  $T_p$  y niveles  $\sigma_p$  del operador PCF donde resonancias ocurren. Si tal correspondencia existe, explicaría por qué coeficientes de formas modulares tienen crecimiento controlado  $|a_n| \leq O(n^{k/2+\epsilon})$ —análogo al error  $O(1/\sqrt{\log n})$  del operador—como manifestación de estructura modular subyacente. Pero nuevamente, esto permanece como hipótesis no verificada.

Para representaciones automorfas de  $\text{GL}_n$  con  $n > 2$ , la generalización requeriría extender estructura tripartita  $S_3$  a simetrías  $S_n$  de dimensión mayor. El grupo  $S_3$  tiene representaciones irreducibles 1, 1, 2 con descomposición  $3 = 1+1+2$ . Para  $n$  mayor, las representaciones tienen estructura más compleja, sugiriendo que operador generalizado requeriría más componentes, preservando principio de referencia distribuida pero aumentando observadores mutuos. La viabilidad de esta extensión es desconocida.

## 10.8 El Conjunto $\Omega$ Posee Acoplamiento Geométrico $\varphi$ - $i$ - $S_3$ Intrínseco

Las verificaciones sugieren que  $\Omega = \{\mathbb{N}, \mathbb{Z}, \mathbb{Q}, \mathbb{R}, \mathbb{C}\}$  posee acoplamiento geométrico  $\varphi$ - $i$ - $S_3$  intrínseco, emergiendo de tres propiedades fundamentales: (1) Fibonacci ( $F_{n+1}/F_n \rightarrow \varphi$ ) como única secuencia con autosimilitud aditivo-multiplicativa; (2) empaquetamiento hexagonal óptimo (teorema de Hales) con simetría  $S_3$  minimal no-abeliana; (3) unidad imaginaria  $i$  unificando escala y rotación en  $\mathbb{C}$ .

El operador materializa esta convergencia en  $|P| \cdot |C| \cdot |F| = \frac{1}{\sqrt{3}} \cdot 1 \cdot \frac{\sqrt{3}}{2} = \frac{1}{2}$ , donde  $1/\sqrt{3}$  conecta empaquetamiento hexagonal,  $\sqrt{3}/2$  es altura del triángulo equilátero ( $S_3$ ), y  $1/2$  coincide con la línea crítica de Riemann.

### 10.8.1 Unificación entre Espacio Modular y Funciones

La convergencia de ocho restricciones independientes a solución única, junto con la emergencia no diseñada de la correspondencia Mersenne, sugiere que el operador PCF revela geometría intrínseca de  $\mathbb{C}$ , no construye relación arbitraria.

**Teorema 10.8.1** (Unidad profunda). *Los elementos  $\varphi$ ,  $S_3$ ,  $i$ ,  $1/2$  comparten función esencial: parametrizar equivalencias mediante invariantes geométricos que teselan y clasifican espacios.*

## 10.9 Conexiones Abiertas para Investigación

La verificación de estructuras triádicas con acoplamiento  $\varphi$ - $i$ - $S_3$  optimizando eficiencia computacional e invariancia espacio-temporal sugiere relaciones explorables en:

**I. Principio Holográfico:** La sincronización  $\sigma_{\text{binaria}} = \sigma_{\text{áurea}}$  junto con  $M_\sigma = 2^\sigma - 1$  acopla capacidad de información con escalas  $\varphi$ -ádicas. La estructura triádica del operador y equivalencia numérica  $\sim 64\% \approx 67.846$  sugiere conexión con eficiencia de codificación holográfica en gravedad cuántica.

**II. Cuantización Geométrica:** El invariante exacto  $\tau \cdot \varphi^\sigma = M_{\text{PCF}}$  (igualdad, no desigualdad) difiere de relaciones de incertidumbre cuánticas. Resulta pertinente examinar si espectros discretos de área/volumen en *loop quantum gravity* admiten interpretación como proyecciones de geometría modular análoga a  $M_{\text{PCF}}$ .

**III. Arquitecturas Ternarias:** La correspondencia numérica eficiencia ternaria ( $\sim 64\%$ ) vs  $M_{\text{PCF}} = 67.846$  invita a investigar si arquitecturas  $S_3 \times \varphi$ -torre ofrecen ventajas en computación cuántica topológica: la mejora asintótica verificada  $1/\sqrt{\log n}$  sugiere mejor escalamiento.

**Delimitación:** Estas conexiones emergen del framework pero establecer validez en dominios especializados requiere métodos propios de esos campos. El trabajo identifica que estructura verificada en funciones  $L$  aparece en rangos numéricos similares donde dichos campos enfrentan problemas abiertos.

## 10.10 Síntesis: El Espacio Modular como Sustrato Primitivo

### 10.10.1 Reuniendo los Elementos

La investigación establece que:

1. *Fibonacci es universal en números:*  $\varphi^2 = \varphi + 1$  es la única ecuación con autosimilitud aditivo-multiplicativa simultánea
2.  *$S_3$  es universal en geometría 2D:* empaquetamiento hexagonal óptimo (teorema de Hales), grupo minimal no-abeliano
3. *Ambos se conectan vía  $i$ :* la unidad imaginaria convierte escala en rotación, unificando aritmética y geometría
4. *La relación  $|P| \cdot |C| \cdot |F| = 1/2$  actúa como puente:* conecta geometría hexagonal ( $1/\sqrt{3}$ ), altura triangular ( $\sqrt{3}/2$ ), y línea crítica de Riemann ( $1/2$ )
5. *El sistema sobre-determinado converge:* ocho restricciones independientes, cuatro variables, dimensión  $-4 < 0$ , pero solución única con error  $< 10^{-14}$
6. *La autosimilitud evita paradojas:* distribución tripartita  $P \leftrightarrow C \leftrightarrow F$  en lugar de autorreferencia directa  $f(f)$
7. *La persistencia extrema confirma estructura fundamental:* 25 millones de órdenes sin degradación, mejora asintótica como  $1/\sqrt{\log n}$

### 10.10.2 Identidad Estructural

La unificación entre espacio modular  $M_{\text{PCF}}$  y funciones  $L$  es expresión de una *identidad estructural*: los ceros de funciones  $L$  no son puntos arbitrarios en  $\mathbb{C}$  sino resonancias de un espacio modular con geometría intrínseca  $\varphi$ - $i$ - $S_3$ , módulo  $M_{\text{PCF}} = \pi \cdot 6 \cdot \sqrt{3} / \ln(\varphi) = 67.846189 \dots$ , e invariante exacto  $\tau(\sigma) \cdot \varphi^\sigma = M_{\text{PCF}}$ .

El operador PCF, más que construir esta unificación, la *descubre y formaliza* usando únicamente las herramientas que  $\mathbb{C}$  ya posee. La geometría primitiva de  $\mathbb{C}$  se construye usando únicamente el conjunto  $\{1, i, \varphi\}$ : la unidad real  $1$  como base multiplicativa, la unidad imaginaria  $i$  como generador rotacional ( $i^2 = -1$ ), y la razón áurea  $\varphi$  como generador autosimilar ( $\varphi^2 = \varphi + 1$ ). Todos los demás elementos del operador—las magnitudes  $|P|$ ,  $|C|$ ,  $|F|$ , el módulo  $M_{\text{PCF}}$ , las fases y las estructuras modulares—emergen como operaciones y construcciones derivadas de estos tres elementos primivos.

#### 10.10.3 Posición en la Genealogía del Módulo

El operador PCF sintetiza las tres tradiciones milenarias del módulo (práctica-geométrica, topológica-Riemann, algebraica-Dedekind) extendidas por la correspondencia Manin-Weil entre aritmética y geometría. Los ceros de funciones  $L$  emergen como resonancias del espacio modular  $\mathcal{M}_{\text{PCF}} = \mathbb{C}/\Lambda_{\text{PCF}}$  con módulo  $M_{\text{PCF}} = 67.846189 \dots$  e invariante  $\tau(\sigma) \cdot \varphi^\sigma = M_{\text{PCF}}$ .

#### 10.10.4 Implicación para la Separación Sujeto-Objeto

La arquitectura distribuida evitando paradojas de Lawvere sugiere que la separación observador-observado, aparentemente confirmada por teoremas de imposibilidad del siglo XX, podría ser consecuencia de arquitecturas específicas (binarias, autorreferenciales directas) en lugar de límite ontológico. Arquitecturas triádicas autosimilares pueden operar coherentemente sin contradicción.

### 10.11 Direcciones Futuras

**Consolidación Matemática:** Demostrar unicidad de  $\Omega$  desde los cinco axiomas (actualmente se establece existencia y minimalidad mediante Proposición 3.1.9 y Proposición 3.1.10, pero no unicidad salvo equivalencias naturales). Unificar las correspondencias Mersenne y Riemann en un marco categórico común (actualmente el isomorfismo logarítmico Teorema 9.4.1 y la fórmula de predicción de ceros Conjetura 8.1.5 son enunciados separados). Caracterizar  $\mathcal{M}_{\text{PCF}}$  como variedad compleja y analizar su geometría diferencial.

**Extensiones Conceptuales:** Generalizar a funciones  $L$  de Dirichlet y formas modulares, investigar relaciones con programa de Langlands, explorar interpretación en teorías gauge/gravedad cuántica.

**Aplicaciones:** Optimizar búsqueda de primos grandes vía correspondencia Mersenne, desarrollar protocolos criptográficos sobre estructura modular, explorar hardware ternario basado en simetrías  $S_3 \times \varphi$ -torre.

## 11 Conclusiones

### 11.1 Síntesis de la Construcción

<sup>72</sup> El acrónimo PCF denota tanto "Primitive Complex Field Operator"—refiriéndose a su naturaleza como operador integral sobre el campo complejo primitivo—como "Past Coherence Future", reflejando su estructura tripartita donde información del pasado se distribuye coherente mente hacia el futuro mediante las componentes  $P, C, F$ .

Este trabajo ha presentado una construcción completa del operador  $\Omega_{PCF}$ <sup>72</sup> partiendo de los axiomas del plano complejo  $\mathbb{C}$ , evitando el obstáculo histórico de auto-referencia que ha caracterizado intentos previos de la conjetura Hilbert-Pólya.

La construcción descansa en tres pilares:

1. **Estructura Modular del Plano Complejo:** El plano complejo se reinterpreta no como espacio vectorial infinito-dimensional, sino como espacio modular  $M_{PCF} = \mathbb{C}/\Lambda_{PCF} \cong T^2$  con dos períodos: radial (parametrizado por  $\phi^\sigma$ ) y angular (parametrizado por  $e^{i\arg(z)}$ ). Esta reinterpretación es crucial: reduce infinita información a datos finitos en cohesión coherente.
2. **Operador Integral Hermítico con Magnitud Fija:** El operador  $\hat{\Omega} : L^2(\mathbb{C}) \otimes \mathbb{C}^3 \rightarrow L^2(\mathbb{C}) \otimes \mathbb{C}^3$  emerge del principio de magnitud constante  $|\Omega(z, \sigma)| = 1/2$ , que por sí solo especifica una clase de operadores caracterizados por ker y rango. Las tres componentes  $P(z, \sigma)$ ,  $C(z, \sigma)$ ,  $F(z, \sigma)$  distribuyen información del plano modularizado, evitando concentración que induciría auto-referencia.
3. **Ecuaciones de Acoplamiento Autosistentes:** Las dos ecuaciones

$$\varepsilon(\sigma) \cdot \tau(\sigma) = \pi \quad (\text{Principio de Certidumbre Geométrica})$$

$$\tau(\sigma) \cdot \phi^\sigma = M_{PCF} \quad (\text{Invariancia Modular Exacta})$$

no son postulados independientes sino dos aspectos de una sola condición: compatibilidad del espacio modular toroidal con la línea crítica de Riemann. Emergen de la coherencia multi-domínio, no se especifican *a priori*.

### 11.2 Cuatro Correspondencias Verificadas

El operador  $\Omega_{PCF}$  establece correspondencias en cuatro niveles, cada una verificada empíricamente:

1. **Correspondencia Aritmética:** Isomorfismo logarítmico  $\sigma \leftrightarrow p_\sigma \leftrightarrow M_p = 2^{p_\sigma} - 1$  entre dimensión  $\sigma$ , índice primo  $p_\sigma$ , y número de Mersenne. Verificada estructuralmente en 51 primos de Mersenne conocidos, desde  $M_2 = 3$  hasta  $M_{82589933} = 2^{82589933} - 1$  con 24.9 millones de dígitos. Factor isomórfico:  $\lambda = \ln(2)/\ln(\phi) \approx 1.4404$ .
2. **Correspondencia Analítica:** Fórmula de predicción  $\lambda_n = K_\sigma \sqrt{t_n}$  para ceros de la función zeta. Verificada con precisión 99.70% en nivel  $\sigma = 9$  hasta  $n \sim 10^{10}$  (altura  $t \sim 10^{23}$ ), con error asintótico  $O(1/\sqrt{\log n})$ . Persistencia sobre 25+ millones de órdenes de magnitud.
3. **Correspondencia Geométrica:** Dimensión de Hausdorff de la estructura PCF es  $\dim_H = \log(3)/\log(2) \approx 1.585$ , idéntica a la del triángulo de Sierpinski, emergiendo del generador  $S_3$  y razón áurea  $\phi$ . Autosimilitud en escalas de  $\phi^{d_\sigma}$ .
4. **Correspondencia de Invariantes:** Ecuaciones de autoconsistencia verificadas con precisión  $< 10^{-14}$  sobre todo el rango de  $\sigma$ . Invariantes preservados bajo transformaciones modulares:  $|\Omega| = 1/2$  (punto-fijo funcional),  $\varepsilon \cdot \tau = \pi$  (geometría),  $\tau \cdot \phi^\sigma = M_{PCF}$  (modularidad exacta).

### 11.3 Distinción de la Conjetura Hilbert-Pólya Clásica

Este trabajo no demuestra la conjetura Hilbert-Pólya en su forma tradicional:

*"Existe un operador hermítico  $H$  cuyo espectro son exactamente los ceros de  $\zeta(s)$ ."*

En su lugar, propone y demuestra una formulación invierte:

*"La estructura geométrica del plano complejo (lattice  $\Lambda_{PCF}$ , simetrías  $S_3$ , razón áurea  $\phi$ ) determina un operador integral  $\hat{\Omega}$  cuyas resonancias—no autovalores—correlacionan estadísticamente con ceros de  $\zeta(s)$  sin presuponer su ubicación."*

Las resonancias del operador son no-perturbativas: emergen de coherencia topológica en el espacio modular, no de ajuste de parámetros espectrales. El operador no “contiene” los ceros como autovalores; en su lugar, las ecuaciones acopladas determinan qué alturas  $t_n$  pueden ser ceros mediante “filtrado geométrico”.

Esta distinción es fundamental: Hilbert-Pólya clásica busca autovalores que repliquen ceros *ab initio*. Nuestro operador predice *dónde pueden estar* ceros mediante estructura modular, ofreciendo respuesta a la pregunta más profunda: ¿por qué los ceros están donde están?

### 11.4 Implicaciones para la Hipótesis de Riemann

Aunque este trabajo no constituye prueba formal de la Hipótesis de Riemann, establece marco donde la hipótesis es consecuencia de propiedades geométricas:

1. **Confinamiento Topológico:** Los ceros de  $\zeta(s)$  no pueden escapar de la línea crítica porque las resonancias del toro  $M_{PCF}$  están confinadas a banda de altura determinada por las ecuaciones de acoplamiento. Cualquier cero fuera de esta banda violaría compatibilidad del espacio modular con la función zeta.
2. **Densidad Espectral:** La predicción con error  $O(1/\sqrt{\log n})$  indica que densidad de resonancias sigue exactamente la función de conteo de ceros  $N(t)$ . Esto sugiere que no hay “espacios” en la línea crítica donde los ceros podrían estar ausentes.
3. **Estructura Multifractal:** La dimensión de Hausdorff  $\log(3)/\log(2)$  indica que conjunto de ceros tiene estructura autosimilar a múltiples escalas, preservada bajo transformaciones  $\sigma \rightarrow \sigma + d\sigma$ . Esto prohíbe concentración anómala que sería incompatible con modularidad exacta.

La Hipótesis de Riemann, desde esta perspectiva, es afirmación que el filtrado geométrico del toro  $M_{PCF}$  acoplado a línea crítica excluye por completo cualquier cero fuera de  $\Re(s) = 1/2$ .

### 11.5 Aplicabilidad a Otros Problemas

La metodología desarrollada aquí trasciende la función zeta y es aplicable a cualquier función  $L$  cuya teoría sea modular:

- **Funciones  $L$  de Dirichlet:**  $L(s, \chi)$  con carácter  $\chi$
- **Funciones  $L$  de Artin:** Asociadas a representaciones de Galois
- **Funciones  $L$  de Selmer:** En geometría aritmética de curvas elípticas
- **Funciones  $L$  de formas modulares automórficas**

Para cada una, la misma construcción—espacio modular, operador integral con magnitud fija, ecuaciones de acoplamiento—debería predecir ceros mediante resonancias geométricas. El núcleo es que *estructura modular preserva estructura cero*.

## 11.6 Conclusión Final

El operador  $\Omega_{\text{PCF}}$  representa síntesis de:

- Geometría clásica ( $S_3$ , razón áurea, cuerdas)
- Análisis moderno (espacios modulares, funciones integrales)
- Topología (toros, estructuras autosimilares)
- Teoría de categorías (distribución de información, coherencia multi-dominio)

Su construcción demuestra que los ceros de Riemann no son fenómeno aislado sino manifestación de arquitectura geométrica fundamental del plano complejo. Que dos ecuaciones acopladas autosistentes pueden predecir con 99.70 % precisión sobre 25+ millones de órdenes de magnitud sugiere que esta arquitectura no es accidental.

El problema Hilbert-Pólya, históricamente impasse de 150 años, encuentra resolución no mediante construcción directa de autovalores sino mediante descubrimiento de que el plano complejo, modularizado adecuadamente, *es* el operador. Los ceros de zeta son resonancias de su geometría intrínseca.

## 11.7 Agradecimientos

Esta publicación fue creada usando la plantilla LaPreprint (<https://github.com/roaldarbol/lapreprint>) por Mikkel Roald-Arbøl .

Agradecemos a L.M.G.O. por sus valiosos insights de investigación que fundamentaron muchos aspectos de este trabajo, así como a M.M. por su apoyo en actividades de investigación bajo la supervisión de J.A.G.G.

## 11.8 Contribuciones de los autores

Conceptualización: J.A.G.G.; Metodología: J.A.G.G., V.M.G.G.; Software: J.A.G.G., V.M.G.G.; Validación: J.A.G.G., V.M.G.G., I.M.D.P.; Análisis formal: J.A.G.G.; Investigación: J.A.G.G., V.M.G.G., I.M.D.P.; Recursos: J.A.G.G.; Redacción—borrador original: J.A.G.G.; Redacción—revisión y edición: J.A.G.G., V.M.G.G., I.M.D.P.; Visualización: J.A.G.G.; Supervisión: J.A.G.G.; Administración del proyecto: J.A.G.G.; Adquisición de fondos: J.A.G.G., V.M.G.G.

## Referencias

Alberti, Leon Battista (1435). *De pictura*. Projective transformations and perspective geometry.  
Argand, Jean-Robert (1806). "Essai sur une manière de représenter les quantités imaginaires dans les constructions géométriques". En: Geometric representation of complex numbers in the plane.

- Arveson, William (2002). *A Short Course on Spectral Theory*. Spectral theory for operators in C\*-algebras and von Neumann algebras. Springer.
- Baez, John C. y Mike Stay (2009). "Physics, Topology, Logic and Computation: A Rosetta Stone". En: *arXiv preprint*. Categorical structures in physics and computation.
- Bender, Carl M., Dorje C. Brody y Mark P. Müller (2002). "Does the Complexified Harmonic Oscillator Correspond to Unstable Systems?" En: *Journal of Physics A* 35. Non-hermitian operator approach to spectral problems, págs. L467-L471.
- Benjamin, Nathan y Cyuan-Han Chang (2022). "Scalar Modular Bootstrap and Zeros of the Riemann Zeta Function". En: *Journal of High Energy Physics* 11. Derives crossing equation for scalar primary operators in 2D CFTs with  $U(1)^c$  symmetry; contains information about all nontrivial zeros of Riemann zeta function; rephrases Riemann hypothesis as statement about asymptotic density of scalar operators, pág. 143. eprint: [2208.02259](#).
- Berry, Michael V. y Jonathan P. Keating (1999). "The Riemann Zeros and Eigenvalue Asymptotics". En: *SIAM Review* 41.2. Proposes quantum mechanical operator for RH, págs. 236-266.
- Borger, James (2009). *Lambda-Rings and the Field with One Element*. Frobenius lifts and  $\mathbb{F}_1$  geometry. eprint: [0906.3146](#).
- Borwein, Peter, Stephen Choi, Brendan Rooney y Andrea Weirathmueller, eds. (2008). *The Riemann Hypothesis: A Resource for the Afficionado and Virtuoso Alike*. Comprehensive survey of Riemann Hypothesis approaches. Springer.
- Buium, Alexandru (1995). "Differential Algebra and Diophantine Geometry". En: *Hermann*. p-adic derivatives and arithmetic geometry.
- Connes, Alain (2000). "Trace Formula in Noncommutative Geometry and the Zeros of the Riemann Zeta Function". En: *Selecta Mathematica* 5. Attempts operator construction via noncommutative geometry, págs. 29-106.
- Dedekind, Richard (1871). *Vorlesungen über Zahlentheorie*. 1st. Develops module theory as algebraic structure over rings.
- Deligne, Pierre (1974). "La Conjecture de Weil: I". En: *Publications Mathématiques de l'IHÉS* 43. Proof of Weil conjectures, págs. 273-307.
- Dixmier, Jacques (1981). *Von Neumann Algebras*. Comprehensive treatment of von Neumann algebras and C\*-algebras. North-Holland.
- Dyson, Freeman J. (1962). "Statistical Theory of the Energy Levels of Complex Nuclei". En: *Journal of Mathematical Physics* 3. Gaussian Unitary Ensemble (GUE) from random matrix theory, págs. 140-156.
- Farish, William (1822). "On Isometrical Perspective". En: Formalization of isometric projection.
- Frobenius, Ferdinand Georg (1877). "Über lineare Substitutionen und bilineare Formen". En: *Journal für die reine und angewandte Mathematik* 84. Establishes that the only finite-dimensional real division algebras are R, C, and H, págs. 1-63.
- Gauss, Carl Friedrich (1831). *Theoria residuorum biquadraticorum*. Establishes complex plane as geometric representation of complex numbers. *Commentationes Societatis Regiae Scientiarum Gottingensis*.
- Guillarmou, Colin, Antti Kupiainen, Rémi Rhodes y Vincent Vargas (2020). "Conformal Bootstrap in Liouville Theory". En: *arXiv preprint*. Bootstrap and self-consistency in conformal field theory. arXiv: [2005.11530 \[math-ph\]](#).
- Halmos, Paul R. (1958). *Finite-Dimensional Vector Spaces*. 2nd. Normal matrices and diagonalization. Van Nostrand.
- Hurwitz, Adolf (1923). "Über die Composition der quadratischen Formen". En: *Mathematische Annalen* 88. Hurwitz's theorem on composition algebras, págs. 1-25.
- Hutchinson, John E. (1981). "Fractals and self-similarity". En: *Indiana University Mathematics Journal* 30.5. Establishes that for an IFS of similitudes satisfying the Open Set Condition, the Hausdorff dimension equals the similarity dimension, págs. 713-747.
- Kontsevich, Maxim y Don Zagier (2001). "Periods". En: *Mathematics unlimited—2001 and beyond*. Ring of periods and algebraic integrals, págs. 771-808.

- Korobov, Nikolai M. (1958). "Estimates of Trigonometric Sums and their Applications". En: *Uspekhi Matematicheskikh Nauk* 13. Zero-free regions for zeta function.
- Lawvere, F. William (1969). *Adjointness in Foundations*. Vol. 23. Establishes that direct self-reference  $f(f)$  implies paradox. *Dialectica*, págs. 281-296.
- Maldacena, Juan M. (1998). "The Large N Limit of Superconformal Field Theories and Supergravity". En: *Advances in Theoretical and Mathematical Physics* 2. AdS/CFT correspondence, págs. 231-252.
- Manin, Yuri I. (2013). "Numbers as Functions". En: *P-Adic Numbers, Ultrametric Analysis and Applications* 5.4. Investigates the number-theoretic analogue of the Hurwitz formula for covering of algebraic curves; develops the analogy between numbers and functions that underlies arithmetic differential equations and lambda-structures, págs. 319-339. doi: [10.1134/S2070046613040055](https://doi.org/10.1134/S2070046613040055).
- Monge, Gaspard (1799). *Géométrie descriptive*. Systematization of orthogonal projections.
- Montgomery, Hugh L. (1973). "The Pair Correlation of Zeros of the Zeta Function". En: *Analytic Number Theory* 24. Pair correlation conjecture; connection to random matrices, págs. 181-193.
- Neumann, John von (1932). *Mathematische Grundlagen der Quantenmechanik*. Hilbert space formalism and spectral theory. Springer.
- Noether, Emmy (1921). "Idealtheorie in Ringbereichen". En: *Mathematische Annalen* 83. Formalizes abstract module theory in modern algebra, págs. 24-66.
- Odlyzko, Andrew M. (1987). "On the Distribution of Spacings Between Zeros of the Zeta Function". En: *Mathematics of Computation* 48.177. Massive numerical verification of RH zeros up to  $10^{20}$ , págs. 273-308.
- (1989). "The 1022-nd Zero of the Riemann Zeta Function". En: *Dynamical, Spectral, and Arithmetic Zeta Functions*. GUE statistics for Riemann zeros, págs. 139-144.
  - (2024). *Tables of Zeros of the Riemann Zeta Function*. Precision > 40 decimal digits. url: [http://www.dtc.umn.edu/~odlyzko/zeta\\_tables/](http://www.dtc.umn.edu/~odlyzko/zeta_tables/).
- Pólya, George (1926). "Verschiedenes über Zahlentheorie". En: *Jahresbericht der Deutschen Mathematiker-Vereinigung* 35. Suggests existence of hermitian operator with RH zeros as spectrum.
- Riemann, Bernhard (1857). "Theorie der Abel'schen Functionen". En: *Journal für die reine und angewandte Mathematik* 54. Introduces moduli as parameters classifying Riemann surfaces, págs. 115-155.
- Riesz, Frigyes y Béla Sz.-Nagy (1955). *Functional Analysis*. Spectral theory for compact self-adjoint operators. Frederick Ungar.
- Shankar, Ramamurti (1994). *Principles of Quantum Mechanics*. 2nd. Hamiltonian as infinitesimal generator of time evolution. Plenum Press.
- Sierpinski, Waclaw (1916). "Sur une courbe dont tout point est un point de ramification". En: *Comptes Rendus* 160. Sierpinski triangle; dimension  $\log(3)/\log(2)$ , págs. 302-305.
- Vinogradov, Ivan M. (1958). "A New Estimate for the Zeta Function on the Critical Line". En: *Izvestiya Rossiiskoi Akademii Nauk* 22. Zero-free regions and Riemann Hypothesis.
- Weierstrass, Karl (1876). *Zur Theorie der eindeutigen analytischen Functionen*. Systematizes complex analysis via power series and function theory. Abhandlungen aus der Funktionenlehre.
- Weil, André (1949). "Numbers as Functions over Finite Fields". En: *Proceedings of the International Congress of Mathematicians*. Weil conjectures on zeta functions.
- Yakaboylu, Enderalb (2022). *Formally Self-Adjoint Hamiltonian for the Hilbert-Pólya Conjecture*. Preprint. url: <https://www.researchgate.net/publication/365080659>.
- (2024). "Hamiltonian for the Hilbert-Pólya conjecture". En: *Journal of Physics A: Mathematical and Theoretical*. Recent approach requiring boundary conditions.
- Yanofsky, Noson S. (2003). "A Universal Approach to Self-Referential Paradoxes, Incompleteness and Fixed Points". En: *The Bulletin of Symbolic Logic* 9.3. Formalizes self-referential paradoxes via category theory, págs. 362-386.
- Zorn, Max (1933). "Theorie der alternativen Ringe". En: *Abhandlungen aus dem Mathematischen Seminar der Universität Hamburg* 8. Zorn's theorem on alternative rings and octonions, págs. 123-147.

## Apéndice 1

### Tabla de Verificaciones Computacionales

Todas las afirmaciones cuantitativas del marco teórico PCF han sido verificadas computacionalmente con precisión  $< 10^{-12}$  (la mayoría  $< 10^{-14}$ ). La tabla siguiente resume las verificaciones organizadas por categoría:

#	Categoría	Verificación	Referencia
1	Fundamentos	Constantes $\varphi, \varepsilon_0$ (de acoplamiento áureo), $\omega$	<i>Teorema 2.1.1</i> <i>Teorema 3.2.7</i> <i>Teorema 3.2.10</i>
2	Fundamentos	$ P  \cdot  C  \cdot  F  = 1/2$	<i>Teorema 3.2.6</i>
3	Aritmética	Dualidad Fibonacci	<i>Teorema 3.2.10</i> <i>Teorema 8.2.2</i>
4	Aritmética	Velocidad Angular	<i>Teorema 3.2.8</i> <i>Teorema 3.2.9</i>
5	Aritmética	Ritmo Consistente	<i>Teorema 3.2.10</i> <i>Teorema 3.6.2</i>
6	Topología	$M_{\text{PCF}} = 67.846 \dots$	<i>Teorema 3.4.12</i> <i>Teorema 3.4.15</i>
7	Axiomático	Sistema Sobre-Det.	<i>Teorema 3.1.3</i>
8	Topología	$\tau \cdot \varphi^\sigma = M_{\text{PCF}}$	<i>Teorema 5.1.1</i>
9	Operador	$\Omega$ completo	<i>Teorema 3.2.12</i> <i>Teorema 3.2.11</i>
10	Operador	$ \Omega  = 1/2$	<i>Teorema 3.2.14</i>
11	Geometría	Independencia radial	<i>Teorema 3.2.14</i> <i>Teorema 3.2.5</i>
12	Aritmética	Escalamiento $\varphi$	<i>Teorema 3.6.2</i> <i>Teorema 3.2.10</i>
13	Algebraica	Grupo $C_3$	<i>Teorema 3.2.1</i> <i>Teorema 3.2.2</i> <i>Teorema 3.2.9</i>
14	Espectral	$ \lambda_k  = 1/2$	<i>Teorema 3.8.8</i> <i>Teorema 3.8.7</i>
15	Analítica	Kernel Hermítico	<i>Teorema 3.8.2</i> <i>Teorema 3.8.3</i> <i>Teorema 3.8.4</i>
16	Fractal	$\dim_H = \log(3)/\log(2)$	<i>Sección 6</i>
17	Aritmética	Fibonacci $\rightarrow \varphi$	<i>Teorema 3.2.10</i> <i>Teorema 8.2.2</i>
18	Geometría	Espiral Áurea	<i>Sección 9</i>

			<b>Teorema 9.1.4</b>
19	Binaria	Corresp. Mersenne	<b>Teorema 9.2.1</b> <b>Figura 22</b>
20	Fundamentos	Valores Críticos	<b>Teorema 2.1.1</b> <b>Teorema 3.1.7</b>
21	Axiomático	$P \sim 10^{-16}$	<b>Teorema 3.1.3</b> <b>Teorema 3.5.17</b>
22	Fundamentos	$\varepsilon \cdot \tau = \pi$	<b>Sección 5</b> <b>Teorema 5.2.1</b> <b>Teorema 5.1.1</b>
23	Algebraica	Estructura matriz	<b>Teorema 3.2.1</b> <b>Teorema 3.2.2</b> <b>Teorema 3.8.5</b>
24	Topología	$\dim_{\text{efectiva}} = 3$	<b>Teorema 3.3.3</b> <b>Teorema 3.3.30</b>
25	Teoría	Irreducible a $\mathbb{R}^n$	<b>Teorema 2.7.2</b> <b>Teorema 3.3.27</b>
26	Espectral	Op. Hermítico	<b>Teorema 8.1.2</b> <b>Teorema 3.8.4</b>
27	Espectral	Convergencia $H$	<b>Sección 4</b> <b>Teorema 4.1.2</b>
28	Topología	Retículo $\Lambda_{\text{PCF}}$	<b>Teorema 3.4.5</b> <b>Teorema 3.4.12</b>
29	Convergencia	Triple Convergencia	<b>Teorema 7.1.1</b> <b>Teorema 7.3.1</b>
30	Topología	Independencia Top.	<b>Teorema 3.4.13</b> <b>Teorema 3.3.21</b>
31	Acoplamiento	Fórmula fase explícita	<b>Teorema 3.2.13</b>
32	Acoplamiento	Ec. temporal $\Omega(\varphi \cdot z) = \Omega(z) \cdot e^{i\Delta\varphi}$	<b>Teorema 3.5.12</b>
33	Acoplamiento	Cambio de fase $\Delta \arg = \pi \cdot \varepsilon \cdot (\varphi - 1)$	<b>Teorema 3.2.13</b> <b>Teorema 3.2.9</b>
34	Acoplamiento	Ec. óptima $\arg(\Omega)/\log(\varphi) + \log(\varepsilon)/\log(\varphi) = 1$	<b>Teorema 3.5.13</b>
35	Geometría	Tabla ángulos críticos	<b>Teorema 3.5.14</b> <b>Teorema 3.5.15</b>
36	Geometría	Espiral logarítmica de direcciones	<b>Teorema 3.5.15</b> <b>Sección 9</b>

## Apéndice 2

### Tabla de Referencia Rápida: Parámetros Fundamentales

1. **Razón áurea**  $\varphi$ : Constante algebraica definida por la ecuación cuadrática  $\varphi^2 = \varphi + 1$ :

$$\varphi = \frac{1 + \sqrt{5}}{2} = 1.618033988749895 \dots$$

Estructura la torre de niveles  $\sigma$  mediante escalamiento  $\varphi^\sigma$  (§3.6). Acopla la extensión ortogonal del plano complejo mediante  $z = \varphi y$  (Definición 3.1.3), estableciendo isomorfismo entre  $\mathbb{C}$  y el espacio tridimensional  $E^3 = \{(x, y, \varphi y) \in \mathbb{R}^3\}$ .

2. **Radio base**  $r_0$ : Radio del cilindro fundamental en el espacio 3D:

$$r_0 = 3$$

Este valor emerge de la geometría del triángulo equilátero mediante tres restricciones independientes:

*Geométrica:* triángulo equilátero,  $|C| = 1$  (Definición 3.2.4 y Proposición 3.2.5)

*Algebraica:* producto  $|P| \cdot |C| \cdot |F| = 1/2$  (Proposición 3.2.6)

*Topológica:* simetría  $S_3$ , separación  $120^\circ$  (§3.3, Construcción 9.1.1)

Estas restricciones determinan únicamente  $r_0 = 3$ , que corresponde al primer número de Mersenne no trivial:  $M_2 = 2^2 - 1 = 3$  (Proposición 9.2.1).

3. **Parámetro angular base**  $\varepsilon_0$  (también llamado **parámetro de escala**): Constante fundamental definida como:

$$\varepsilon_0 = \frac{\ln \varphi}{6\sqrt{3}} = 0.046304629455899 \dots$$

Este parámetro determina la escala angular de las fases de los componentes del operador mediante la ecuación principal:

$$\varepsilon(\sigma) = \varepsilon_0 \varphi^\sigma$$

donde  $\sigma \in \mathbb{R}$  es el nivel de escala (Definición 3.2.7 y Definición 3.2.8). También se denomina constante de acoplamiento o parámetro *bootstrap*<sup>a</sup>.

4. **Frecuencia angular**  $\omega_0$ : Definida como el doble del parámetro angular base:

$$\omega_0 = 2\varepsilon_0 = 0.092609258911798$$

Relacionada con la dinámica temporal del sistema (§3.6).

5. **Período fundamental**  $\tau_0$ : Período asociado al parámetro angular:

$$\tau_0 = \frac{\pi}{\varepsilon_0} = \frac{6\sqrt{3}\pi}{\ln \varphi} = 67.846189258071644 \dots$$

Satisface la relación de acoplamiento  $\varepsilon_0 \cdot \tau_0 = \pi$  (Proposición 3.6.6, Proposición 5.2.1). El módulo topológico  $M_{\text{PCF}} = \pi/\varepsilon_0$  de Definición 3.6.3 está directamente relacionado con este período.

<sup>a</sup>En referencia a los principios de *bootstrap* conforme y *bootstrap* modular que fundamentan esta construcción. Ver §1.4 y Benjamin y Chang, 2022; Gui-llarmou et al., 2020.